

ŠPECIFIKÁCIE LATITUDE INTEGRATION IDCO A HL7

LATITUDE™ NXT

LATITUDE NXT Systém Monitorovania Pacienta

Outdated version. Do not use.
Version überholt. Nicht verwenden.
Version obsolète. Ne pas utiliser.
Versión obsoleta. No utilizar.
Versione obsoleta. Non utilizzare.
Verouderde versie. Niet gebruiken.
Föråldrad version. Använd ej.
Παλιά έκδοση. Μην την χρησιμοποιείτε.
Versão obsoleta. Não utilize.
Forældet version. Må ikke anvendes.
Zastaralá verzia. Nepoužívať.
Utdatert versjon. Skal ikke brukes.
Zastaraná verzia. Nepoužívať.
Elavult verzió. Ne használja!
Wersja nieaktualna. Nie używać.

Outdated version. Do not use.
Version überholt. Nicht verwenden.
Version obsolète. Ne pas utiliser.
Versión obsoleta. No utilizar.
Versione obsoleta. Non utilizzare.
Verouderde versie. Niet gebruiken.
Föråldrad version. Använd ej.
Παλιά έκδοση. Μην την χρησιμοποιείτε.
Versão obsoleta. Não utilize.
Forældet version. Må ikke anvendes.
Zastaralá verze. Nepoužívat.
Utdatert versjon. Skal ikke brukes.
Zastaraná verzia. Nepoužívať.
Elavult verzió. Ne használja!
Wersja nieaktualna. Nie używać.

Tento dokument obsahuje časti IDCO i HL7 pre systém Latitude NXT.

POZNÁMKY: Predpokladáme, že čitatelia tohto dokumentu poznajú terminológiu HL7 a IDCO, syntax špecifikácií, typy údajov, štruktúry hlásení a sémantiku správ IDCO. Viac informácií nájdete na nasledujúcich stránkach:

- www.hl7.org – správy HL7
- www.ihe.net – správy IDCO
- http://ihe.net/Technical_Framework/index.cfm#pcd – PCD-09 Technical Framework (pozostáva zo zväzkov 1, 2 a 3)
- <http://standards.ieee.org/findstds/standard/11073-10103-2012.html> – nomenklatúra IEEE IDCO

Outdated version. Do not use.
Version überholt. Nicht verwenden.
Version obsolete. Ne pas utiliser.
Versión obsoleta. No utilizar.
Verouderde versie. Non utilizzare.
Föråldrad version. Använd ej.
Παλιά έκδοση. Μην την χρησιμοποιείτε.
Versão obsoleta. Não utilize.
Forældet version. Må ikke anvendes.
Zastaralá verzia. Nepoužívať.
Utdatert versjon. Skal ikke brukes.
Zastaraná verzia. Nepoužívať.
Elavult verzió. Ne használja!
Wersja nieaktualna. Nie używać.

Outdated version. Do not use.
Version überholt. Nicht verwenden.
Version obsolète. Ne pas utiliser.
Versión obsoleta. No utilizar.
Versione obsoleta. Non utilizzate.
Verouderde versie. Niet gebruiken.
Föråldrad version. Använd ej.
Παλιά έκδοση. Μην την χρησιμοποιείτε.
Versão obsoleta. Não utilize.
Forældet version. Må ikke anvendes.
Zastaralá verze. Nepoužívat.
Utdatert versjon. Skal ikke brukes.
Zastaraná verzia. Nepoužívať.
Elavult verzió. Ne használja!
Wersja nieaktualna. Nie używać.

OBSAH

PREHĽAD.....	1-1
KAPITOLA 1	
Prehľad IDCO	1-2
ŠPECIFIKÁCIE HLÁSENÍ LATITUDE IDCO.....	2-1
KAPITOLA 2	
Špecifikácie hlásení Latitude IDCO.....	2-2
Štruktúra segmentu.....	2-2
Štruktúra segmentu MSH.....	2-2
Štruktúra segmentu PID	2-2
Štandardný identifikátor pacienta IDCO (prvý identifikátor v zozname)	2-2
ID pacienta Latitude (druhý identifikátor v zozname)	2-2
Štruktúra segmentu PV1.....	2-3
Štruktúra segmentu PV2.....	2-3
Štruktúra segmentu OBR.....	2-3
Štruktúra segmentu OBX.....	2-3
Parametre výstupu.....	2-4
Štruktúra segmentu NTE	2-4
Správy	2-5
Prezentujúca správa EGM	2-5
Kombinovaná kontrolná správa	2-5
Správa záznamov arytmií.....	2-5
Správa starostlivosti pri zlyhávaní srdca.....	2-5
Názvy správ v hlásení.....	2-5
Základné pojmy	2-5
KONVERZIA ÚDAJOV IMPLANTOVANÉHO ZARIADENIA DO HLÁSENÍ IDCO	3-1
KAPITOLA 3	
Stav batérie	3-2
SET_BRADY_SENSOR_TYPE.....	3-2
Mapovanie epizódy	3-2
Mapovanie počítadiel	3-4
Mapovanie konfigurácie elektródy	3-4
Obmedzenia systému.....	3-5
Definície výstrah a varovaní	3-6
Správy	3-6

PRÍKLAD SÚBOROV IDCO	4-1
KAPITOLA 4	
Príklad súborov IDCO.....	4-2
Ukážkové Hlásenie 1 – Zariadenie S S-ICD	4-2
Ukážkové Hlásenie 2 – Iné Zariadenia (Bez S-ICD)	4-4
PREHĽAD.....	5-1
KAPITOLA 5	
Prehľad HL7	5-2
ŠPECIFIKÁCIE HLÁSENÍ LATITUDE HL7	6-1
KAPITOLA 6	
Špecifikácie hlásení Latitude HL7	6-2
Štruktúra segmentu MSH.....	6-2
Štruktúra segmentu PID	6-4
Štruktúra segmentu NTE	6-5
Štruktúra segmentu PV1.....	6-6
Štruktúra segmentu PV2.....	6-6
Štruktúra segmentu OBR.....	6-7
ID skupiny observačnej správy.....	6-8
Štruktúra segmentu OBX.....	6-9
Štruktúra segmentu ZUX.....	6-10
DEFINÍCIE POJMOV LATITUDE HL7	7-1
KAPITOLA 7	
Definície pojmov Latitude HL7.....	7-2
Pojmy OBX používané v skupine OBR–1 (Údaje poslednej interogácie).....	7-2
Pojmy OBX používané v skupine OBR–2 (Dátum implantácie).....	7-9
Pojmy OBX používané v skupine OBR–3 (Údaje posledného testu elektród v ambulancii)	7-10
Pojmy OBX používané v skupine OBR–4 (Informácie o elektródach).....	7-10
PRÍKLAD SÚBORU HL7.....	8-1
KAPITOLA 8	
Príklad súboru HL7	8-2
Ukážkové Hlásenie 1 – Zariadenie S S-ICD	8-2
Ukážkové Hlásenie 2 – Iné Zariadenia (Bez S-ICD)	8-3
SYMBOLY NA ŠTÍTKOCH	A-1
PRÍLOHA A	

PREHL'AD

KAPITOLA 1

Táto kapitola obsahuje nasledujúce témy:

- "Prehľad IDCO" na strane 1-2

Outdated version. Do not use.
Version überholt. Nicht verwenden.
Version obsolète. Ne pas utiliser.
Versión obsoleta. No utilizar.
Versione obsoleta. Non utilizzare.
Verouderde versie. Niet gebruiken.
Föråldrad version. Använd ej.
Παλιά έκδοση. Μην την χρησιμοποιείτε.
Versão obsoleta. Não utilize.
Förældet version. Må ikke anvendes.
Zastaralá verze. Nepoužívat.
Utdatert versjon. Skal ikke brukes.
Zastaraná verzia. Nepoužívať.
Elavult verzió. Ne használja!
Wersja nieaktualna. Nie używać.

PREHĽAD IDCO

Diaľkový systém monitorovania pacienta Boston Scientific LATITUDE generuje hlásenia Implantabilné zariadenie – srdce – observácia (IDCO) v súlade so špecifikáciami a definíciami uvádzanými v tomto dokumente. Hlásenia sú kompatibilné s profilom Integrating the Healthcare Enterprise (IHE) Patient Care Device (PCD) Technical Framework IDCO. Tieto hlásenia slúžia na prenos údajov pacienta do systému na elektronické zdravotnícke záznamy (EMR) alebo do klinického informačného systému (CIS).

Tento dokument je určený používateľom produktu Boston Scientific (BSC) LATITUDE, ktorí (1) integrujú hlásenia IDCO do systému EMR a (2) používajú systémy EMR alebo CIS na sledovanie a správu údajov pacienta. Prvá časť tohto dokumentu („Špecifikácia hlásenia LATITUDE IDCO“) je primárne určená technickému personálu, ktorý bude zaisťovať integráciu hlásení. Druhá časť je primárne určená klinickým pracovníkom, vysvetľuje verziu Boston Scientific údajov v správe.

POZNÁMKY: Predpokladáme, že čitatelia tejto časti poznajú terminológiu HL7 a IDCO, syntax špecifikácií, typy údajov, štruktúry hlásení a sémantiku správ IDCO. Viac informácií nájdete na nasledujúcich stránkach:

- www.hl7.org – správy HL7
- www.ihe.net – správy IDCO
- http://ihe.net/Technical_Framework/index.cfm#pcd – PCD-09 Technical Framework (pozostáva zo zväzkov 1, 2 a 3)
- <http://standards.ieee.org/findstds/standard/11073-10103-2012.html> – nomenklatúra IEEE IDCO

ŠPECIFIKÁCIE HLÁSENÍ LATITUDE IDCO

KAPITOLA 2

Táto kapitola obsahuje nasledujúce témy:

- “Špecifikácie hlásení Latitude IDCO” na strane 2-2
- “Štruktúra segmentu” na strane 2-2
- “Štruktúra segmentu MSH” na strane 2-2
- “Štruktúra segmentu PID” na strane 2-2
- “Štruktúra segmentu PV1” na strane 2-3
- “Štruktúra segmentu PV2” na strane 2-3
- “Štruktúra segmentu OBR” na strane 2-3
- “Štruktúra segmentu OBX” na strane 2-3
- “Parametre výstupu” na strane 2-4
- “Štruktúra segmentu NTE” na strane 2-4
- “Správy” na strane 2-5
- “Základné pojmy” na strane 2-5

ŠPECIFIKÁCIE HLÁSENÍ LATITUDE IDCO

Hlásenie LATITUDE IDCO je hlásenie PCD-09 podľa normy IHE PCD Technical Framework Revision 3.0 z 11. októbra 2013. Podľa technického rámca je toto hlásenie štandardným hlásením HL7 v2.6 s nevyžiadanými príkazmi a observáciami. Obsahuje observácie implantovaného zariadenia a je kódované na základe nomenklatúry ISO/IEEE 11073-10103:2014 IDC. Tento medzinárodný štandard popisuje univerzálny model interoperability zdravotníckych elektronických údajov.

Pojmy v úvodzovkách v stĺpcoch s hodnotami uvádzané v nasledujúcich tabuľkách predstavujú pevne stanovené hodnoty, ktoré budú mať vždy zobrazený charakter. Pojmy bez úvodzoviek sú príklady alebo popisy hodnôt.

ŠTRUKTÚRA SEGMENTU

Všetky údaje sa odosielajú podľa štandardu PCD-09. Informácie v tejto časti definujú výstup BSC v hláseniach IDCO. Nie sú vyčerpávajúce a ich cieľom takisto nie je širšie definovať nomenklatúru IDCO.

ŠTRUKTÚRA SEGMENTU MSH

Segment MSH obsahuje informácie o odosielateľovi a príjemcovi správy, type hlásenia, časovú známku atď. Jedná sa o prvý segment správy IDCO.

NÁZOV PRVKU	SEQ	SUB SEQ	HODNOTA
Odosielajúca aplikácia	3		"LATITUDE"
Odosielajúce pracovisko	4		"BOSTON SCIENTIFIC"
Príjmajúce pracovisko	6		Názov klinického pracoviska LATITUDE
Znakový súbor	18		"UNICODE UTF-8"

ŠTRUKTÚRA SEGMENTU PID

Segment PID obsahuje informácie identifikátora pacienta ako meno, kódy ID, PSC atď. Tieto informácie slúžia na priradenie pacientov.

Systém LATITUDE umožňuje klinickému pracovisku (voliteľne) pridať svoje vlastné ID pacienta. Voliteľné ID pacienta je uvedené v exportovanom hlásení IDCO. Ak toto ID pacienta definované klinickým pracoviskom použijete, bude uvedené v zozname identifikátorov pacienta (sekvencia 3) ako text nasledujúci po znaku vlnovky (~).

Štandardný identifikátor pacienta IDCO (prvý identifikátor v zozname)

NÁZOV PRVKU	SEQ	SUB SEQ	HODNOTA
Identifikátor pacienta	3		
Priradenie právomocí	3	4	"BSX"

ID pacienta Latitude (druhý identifikátor v zozname)

NÁZOV PRVKU	SEQ	SUB SEQ	HODNOTA
Zoznam identifikátorov pacienta	3		
Číslo ID	3	1	ID pacienta LATITUDE

Priradenie právomocí	3	4	Názov klinického pracoviska LATITUDE
Kód typu identifikátora	3	5	"U"

Príklad:

PID|1|model:N119/serial:123456^^^BSX^U~{LATITUDE Patient ID} ^^^{LATITUDE
Clinic Name}^U||PatientLastName^PatientFirstName ^^^^^^|19550116|U|...

ŠTRUKTÚRA SEGMENTU PV1

Segment PV1 (návšteva pacienta) obsahuje informácie o ošetrojúcom lekárovi pacienta.

NÁZOV PRVKU	SEQ	SUB SEQ	HODNOTA
Trieda pacienta	2		"R"

ŠTRUKTÚRA SEGMENTU PV2

Segment PV2 (návšteva pacienta 2) obsahuje informácie o pacientovej skupine LATITUDE.

NÁZOV PRVKU	SEQ	SUB SEQ	HODNOTA
Názov organizácie (skupiny)	23	1	Názov skupiny LATITUDE Príklad: Kardiológia
Číslo ID (pacientova primárna alebo sekundárna skupina)		3	1 Pozri poznámku a

a. Ak je súbor HL7 asociovaný s primárnou skupinou LATITUDE, bude táto hodnota „1“. Ak je asociovaný so sekundárnou skupinou LATITUDE, bude hodnota „2“.

ŠTRUKTÚRA SEGMENTU OBR

Segmenty OBR sú hlavičky časti pre individuálne segmenty interogačných informácií OBX. Obsahujú údaje ako časové známky, identifikátor správy a unikátny identifikátor vygenerovaný systémom.

NÁZOV PRVKU	SEQ	SUB SEQ	PRÍKLAD HODNOTY
Univerzálny identifikátor služieb	4		
Identifikátor		1	754053
Text		2	Pozri poznámku a
Č. dátumu/času observácie	7		20060429080005+0000 Pozri poznámku b
Stav výsledku	25		"F" Pozri poznámku c

- Text univerzálneho identifikátora služieb bude mať formu MDC_IDC_ENUM_SESS_TYPE_{session type} (e.g., MDC_IDC_ENUM_SESS_TYPE_RemoteScheduled).
- Dátum/čas observácie bude zapísaný ako časová známka informujúca, kedy prebehla interogácia implantovaného zariadenia. Časová známka bude zodpovedať časovej zóne nastavenej pre pacienta.
- Stav výsledku bude „F“ (finálne výsledky).

ŠTRUKTÚRA SEGMENTU OBX

Segmenty OBX obsahujú údaje získané pri poslednej interogácii zariadenia.

NÁZOV PRVKU	SEQ	SUB SEQ	HODNOTA
Stav výsledku observácie	11		"F" Pozri poznámku a
Dátum/čas observácie	14		20060317170000+0000 Pozri poznámku b

- a. Stav výsledku bude „F“ (finálne výsledky).
b. Dátum merania bude zahrnutý, ak sa líši od dátumu observácie v OBR.

PARAMETRE VÝSTUPU

- Reťazce budú odosielané v jazyku nakonfigurovanom pre klinické pracovisko v systéme LATITUDE.
- Odosielané numerické hodnoty budú vždy používať ako rádový oddeľovač bodku „.“ (tzn. desatinnú bodku).

ŠTRUKTÚRA SEGMENTU NTE

- Zariadenia S-ICD
 - Ak je v zariadení aktívny režim, v ktorom nie sú nastavenia relevantné (napr. režim MRI), prvé NTE bude obsahovať informácie o aktuálnom stave zariadenia. Príklad:


```
NTE|1||Beeper is currently Disabled.\.br\\.br\The Device is in MRI Protection Mode.\.br\Start time: Sep 04, 2015 00:45 CDT.\.br\Scheduled time-out: Sep 04, 2015 06:45 CDT.\.br\After MRI Protection mode is exited, Therapy will be ON. (Zvuková signalizácia je aktuálne deaktivovaná. Zariadenie je v režime MRI Protection Mode. Čas spustenia: 4. 9. 2015 00:45 CDT. Plánované vypršanie časového limitu: 4. 9. 2015 06:45 CDT. Po ukončení režimu MRI Protection Mode sa liečba zapne.)
```
 - Ak má zariadenie aktívny režim, v ktorom sú nastavenia relevantné, prvý NTE bude obsahovať informácie o nastavení vo formáte *štítok:hodnota* s jednotlivými nastaveniami oddelenými riadkami (.br). Príklad:


```
NTE|1||Sensing Configuration: Primary.\.br\Gain Setting: 2X.\.br\Post Shock Pacing: ON (Konfigurácia snímania: primárna. Nastavenie zosilnenia: 2x. Stimulácia po výboji: zapnutá).
```
 - Ak sú k dispozícii informácie o stave zariadenia, všetky údaje stavu zariadenia budú v druhom NTE. Príklad:


```
NTE|2||Device requires immediate attention.\.br\\.br\Contact Boston Scientific – BD.\.br\\.br\Americas: 1.800.CARDIAC (227.3422) or +1.651.582.4000.\.br\Europe, Middle East, Africa: +32 2 416 7222.\.br\Asia Pacific: +61 2 8063 8299 (Zariadenie vyžaduje okamžitú pozornosť. Kontaktujte spoločnosť Boston Scientific – BD. Amerika: 1.800 CARDIAC (227.3422) alebo +1.651.582.400. Európa, blízky východ, Afrika: +32 2 416 722. Ázia, pacifik: +61 2 8063 8299)
```
- Všetky ostatné zariadenia
 - Každá aktivovaná výstraha bude mať svoje NTE.
 - Ak sa v systéme aktivuje varovanie, varovnému NTE bude predchádzať jeden alebo viac varovných NTE. Jedno varovné NTE bude obsahovať jedno alebo viac varovaní.

SPRÁVY

Prezentujúca správa EGM

Ak je prezentujúca správa EGM k dispozícii v údajovej časti z PG, bude pripojená k hláseniu vo formáte PDF a spojená s príslušnou epizódou APMRT pomocou skupinového ID (OBX-4) epizódy APMRT.

Kombinovaná kontrolná správa

Kombinovaná kontrolná správa sa k hláseniu pripája ako PDF v samostatnom OBX.

Správa záznamov arytmií

Správa záznamov arytmií je pripojená k správe vo formáte PDF ako samostatný OBX.

Správa starostlivosti pri zlyhávaní srdca

Správa starostlivosti pri zlyhávaní srdca sa k hláseniu pripája ako PDF v samostatnom OBX.

Názvy správ v hlásení

Každý segment OBX bude obsahovať názov správy v OBX-3.5. Príklad:

```
OBX|51|ED|18750-0^Cardiac Electrophysiology Report^LN^Combined Follow-up Report||Application^PDF^^Base64^{base 64 encoded PDF here}|...
```

ZÁKLADNÉ POJMY

V nasledujúcej tabuľke nájdete zoznam nomenklatúrnych pojmov, ktoré môžu byť súčasťou hlásenia BSC IDCO.

REFERENCE IDPREPEND MDC_IDC	Názov obrazovky
DEV	Implantabilné srdcové zariadenie
_TYPE	Typ implantabilného srdcového zariadenia
_MODEL	Model implantabilného srdcového zariadenia
_SERIAL	Výrobné číslo implantabilného srdcového zariadenia
_MFG	Výrobca implantabilného srdcového zariadenia
_IMPLANT_DT	Dátum implantácie implantabilného srdcového zariadenia
ELEKTRÓDA	Vlastnosti implantabilnej elektródy
_MODEL	Model implantabilnej elektródy
_SERIAL	Výrobné číslo implantabilnej elektródy
_MFG	Výrobca implantabilnej elektródy
_IMPLANT_DT	Dátum implantácie implantabilnej elektródy
_POLARITY_TYPE	Typ polarita implantabilnej elektródy
_LOCATION	Poloha implantabilnej elektródy
_LOCATION_DETAIL_1	Detail 1 implantabilnej elektródy
SESS	Interogačná relácia

_DTM	Dátum a čas interogačnej relácie
_TYPE	Typ interogačnej relácie
_CLINIC_NAME	Názov klinického pracoviska
MSMT	Merania
_BATTERY	Merania batérie
_DTM	Dátum a čas meraní batérie
_STATUS	Battery Status
_REMAINING_LONGEVITY	Zostávajúca životnosť batérie
_REMAINING_PERCENTAGE	Zostávajúca percentuálna časť energie batérie
_CAP	Merania kondenzátora
_CHARGE_DTM	Dátum a čas posledného nabitia kondenzátora
_CHARGE_TIME	Čas nabitia kondenzátora
_CHARGE_TYPE	Typ nabitia kondenzátora
_CHARGE_ENERGY	Energia nabíjania
LEADCHNL[CHAMBER]	Merania kanálu elektródy
DTM[STRTEND]	Dátum a čas meraní kanálu elektródy
_LEAD_CHANNEL_STATUS	Stav kanálu elektródy
_SENSING	Merania snímania kanálu elektródy
_INTR_AMPL_[MMM]	Vlastná amplitúda snímania kanálu elektródy
_POLARITY	Polarita snímania kanálu elektródy
_PACING_THRESHOLD	Merania stimulačného prahu kanálu elektródy
_AMPLITUDE	Amplitúda stimulačného prahu kanálu elektródy
_PULSEWIDTH	Šírka impulzu stimulačného prahu kanálu elektródy
_MEASUREMENT_METHOD	Metóda merania stimulačného prahu kanálu elektródy
_POLARITY	Polarita stimulačného prahu kanálu elektródy
_IMPEDANCE	Merania impedancie kanálu elektródy
_VALUE	Hodnota impedancie kanálu elektródy
_POLARITY	Polarita impedancie kanálu elektródy
_LEADHVCHNL	Merania vysokonapäťového kanálu elektródy
DTM[STRTEND]	Dátum a čas vysokonapäťového kanálu elektródy
_IMPEDANCE	Impedancia vysokonapäťového kanálu elektródy
_MEASUREMENT_TYPE	Typ merania vysokonapäťového kanálu elektródy
_STATUS	Stav vysokonapäťového kanálu elektródy

SET	Nastavenia
_CRT	Nastavenia CRT
_LVRV_DELAY	Omeškanie CRT LV (LĽK) – RV (PK)
_PACED_CHAMBERS	Komory stimulované v priebehu stimulácie CRT
LEADCHNL[CHAMBER]	Nastavenia kanálu elektródy
_SENSING	Snímanie nastavenia kanálu elektródy
_SENSITIVITY	Citlivosť snímania nastavenia kanálu elektródy
_POLARITY	Polarita snímania nastavenia kanálu elektródy
_ANODE_LOCATION_[1..3]	Poloha anódy snímania nastavenia kanálu elektródy
_ANODE_ELECTRODE_[1..3]	Anódová koncovka snímania nastavenia kanálu elektródy
_CATHODE_LOCATION_[1..3]	Poloha katódy snímania nastavenia kanálu elektródy
_CATHODE_ELECTRODE_[1..3]	Katódová koncovka snímania nastavenia kanálu elektródy
_ADAPTATION_MODE	Režim adaptácie snímania nastavenia kanálu elektródy
PACING	Stimulácia nastavenia kanálu elektródy
_AMPLITUDE	Amplítúda stimulácie nastavenia kanálu elektródy
_PULSEWIDTH	Šírka impulzu stimulácie nastavenia kanálu elektródy
_POLARITY	Polarita stimulácie nastavenia kanálu elektródy
_ANODE_LOCATION_[1..3]	Poloha anódy stimulácie nastavenia kanálu elektródy
_ANODE_ELECTRODE_[1..3]	Anódová koncovka stimulácie nastavenia kanálu elektródy
_CATHODE_LOCATION_[1..3]	Poloha katódy stimulácie nastavenia kanálu elektródy
_CATHODE_ELECTRODE_[1..3]	Katódová koncovka stimulácie nastavenia kanálu elektródy
_CAPTURE_MODE	Režim zachytenia stimulácie nastavenia kanálu elektródy
_BRADY	Nastavenia Brady
_MODE	Režim nastavenia Brady (kód NBG)
_LOWRATE	Spodný limit frekvencie nastavenia Brady
_SENSOR_TYPE	Typ senzora nastavenia Brady
_MAX_TRACKING_RATE	Maximálna sledovacia frekvencia nastavenia Brady
_MAX_SENSOR_RATE	Maximálna frekvencia senzora nastavenia Brady

_SAV_DELAY_[HIGHLOW]	Omeškanie SAV nastavenia Brady
_PAV_DELAY_[HIGHLOW]	Omeškanie PAV nastavenia Brady
_AT_MODE_SWITCH_MODE	Režim prepnutia režimu AT nastavenia Brady
_AT_MODE_SWITCH_RATE	Frekvencia prepnutia režimu AT nastavenia Brady
_TACHYTHERAPY	Nastavenia liečby Tachy
_VSTAT	Komorový stav nastavenia liečby Tachy
_ZONE	Nastavenia zóny
_TYPE	Kategória typu nastavenia zóny
_VENDOR_TYPE	Kategória typu predajcu nastavenia zóny
_STATUS	Stav nastavenia zóny
_DETECTION_INTERVAL	Interval detekcie nastavenia zóny
_DETECTION_DETAILS	Údaje detekcie
_TYPE_ATP_[1..10]	Typ ATP nastavenia zóny
_NUM_ATP_SEQS_[1..10]	Počet nastavení zóny sekvencií ATP
_SHOCK_ENERGY_[1..10]	Energia výboja nastavenia zóny
_NUM_SHOCKS_[1..10]	Počet nastavení zóny výbojov
STAT	Štatistika
DTM[STRTEEND]	Dátum a čas štatistiky
_BRADY	Štatistika Brady
DTM[STRTEEND]	Dátum a čas štatistiky Brady
_RA_PERCENT_PACED	Percento stimulácie RA (PP) štatistiky Brady
_RV_PERCENT_PACED	Percento stimulácie RV štatistiky Brady
_AT	Štatistika predsieňovej tachykardie
DTM[STRTEEND]	Dátum a čas štatistiky predsieňovej tachykardie
_BURDEN_PERCENT	Percentuálny pomer záťaže AT/AF štatistiky predsieňovej tachykardie
_CRT	Štatistika CRT
DTM[STRTEEND]	Dátum a čas štatistiky CRT
_LV_PERCENT_PACED	Percento stimulácie LV (LK) štatistiky CRT
_TACHYTHERAPY	Štatistika liečby tachy
_SHOCKS_DELIVERED_RECENT	Nedávno aplikované výboje
_RECENT_DTM_[STRTEEND]	Nedávny dátum a čas
_SHOCKS_DELIVERED_TOTAL	Aplikované výboje celkom

_TOTAL_DTM_[STRTEEND]	Dátum a čas celkom
_SHOCKS_ABORTED_RECENT	Nedávne výboje zrušené
_SHOCKS_ABORTED_TOTAL	Zrušené výboje celkom
_ATP_DELIVERED_RECENT	Nedávno aplikované ATP
_ATP_DELIVERED_TOTAL	Aplikované ATP celkom
_EPISODE	Štatistika epizódy
_TYPE	Kategória typu štatistiky epizódy
_TYPE_INDUCED	Indukovaný typ štatistiky epizódy
_VENDOR_TYPE	Kategória typu predajcu štatistiky epizódy
_RECENT_COUNT	Nedávny počet štatistiky epizódy
_RECENT_COUNT_DTM_[STRTEEND]	Nedávny dátum a čas štatistiky epizódy
_TOTAL COUNT	Celkový počet
_TOTAL_COUNT_DTM_[STRTEEND]	Dátum a čas celkom
EPISODE	Epizóda
_ID	Identifikátor epizódy
_DTM	Dátum a čas epizódy
_TYPE	Kategória typu epizódy
_TYPE_INDUCED	Indukovaná vlajka štatistiky epizódy
_VENDOR_TYPE	Kategória typu predajcu epizódy
_ATRIAL_INTERVAL_AT_DETECTION	Predsieňový interval detekcie epizódy
_VENTRICULAR_INTERVAL_AT_DETECTION	Komorový interval detekcie epizódy
_DETECTION_THERAPY_DETAILS	Detekcia epizódy a detaily liečby
_DURATION	Trvanie epizódy

Outdated version. Do not use.
Version überholt. Nicht verwenden.
Version obsolète. Ne pas utiliser.
Versión obsoleta. No utilizar.
Versione obsoleta. Non utilizzare.
Verouderde versie. Niet gebruiken.
Föråldrad version. Använd ej.
Παλιά έκδοση. Μην την χρησιμοποιείτε.
Versão obsoleta. Não utilize.
Forældet version. Må ikke anvendes.
Zastaralá verze. Nepoužívat.
Utdatert versjon. Skal ikke brukes.
Zastaraná verzia. Nepoužívať.
Elavult verzió. Ne használja!
Wersja nieaktualna. Nie używać.

KONVERZIA ÚDAJOV IMPLANTOVANÉHO ZARIADENIA DO HLÁSENÍ IDCO

KAPITOLA 3

Táto kapitola obsahuje nasledujúce témy:

- “Stav batérie” na strane 3-2
- “SET_BRADY_SENSOR_TYPE” na strane 3-2
- “Mapovanie epizódy” na strane 3-2
- “Mapovanie počítadiel” na strane 3-4
- “Mapovanie konfigurácie elektródy” na strane 3-4
- “Obmedzenia systému” na strane 3-5
- “Definície výstrah a varovaní” na strane 3-6
- “Správy” na strane 3-6

STAV BATÉRIE

Vymenovania parametrov batérie sa do stavu batérie BSC prenášajú nasledujúcim spôsobom:

STAV BATÉRIE BSC (zariadenia S-ICD)	STAV BATÉRIE BSC (všetky ostatné zariadenia)	STAV BATÉRIE IDCO
>10 % zostáva do ERI	BOL	BOS
<=10 % zostáva do ERI	OY	MOS
ERI	ERI	RRT
EOL	EOL	EOS

Keď vstúpi implantované zariadenie do obmedzenej telemetrie, jeho stav batérie môže byť ERI alebo EOL. Oba stavy batérie povedú k rovnakému hláseniu: ENUM_BATTERY_STATUS_RRT (ERI) v MSMT_BATTERY_STATUS s časovou značkou ERI v MSMT_BATTERY_DTM. Tento stav sa týka výhradne obmedzenej telemetrie, nie zariadení S-ICD.

SET_BRADY_SENSOR_TYPE

Typ senzora bude odoslaný podľa nasledujúcej tabuľky.

HODNOTA ODOSLANÁ K PREMENNEJ SET_BRADY_SENSOR_TYPE NA ZÁKLADE NASTAVENIA IMPLANTOVANÉHO ZARIADENIA	NASTAVENIE IMPLANTOVANÉHO ZARIADENIA
"Accelerometer"	Iba akcelerometer
"Minute Ventilation"	Iba MV
"Accelerometer + MV"	Akcelerometer a MV

Vyššie uvedené hodnoty budú odoslané iba za predpokladu, že senzor môže riadiť frekvenciu (tzn. neodôšľu sa, ak je senzor v stave Iba monitorovanie).

Vyššie uvedené hodnoty budú odoslané, ak je možné frekvenciu riadiť v normálnom režime Brady alebo v ATR (tzn. hodnota neodráža iba normálny režim Brady).

Nezabúdajte, že parameter "ATR Only" (Len ATR) sa môže v správach nachádzať, keď je režim ATR v režime s frekvenčnou adaptáciou a normálny režim Brady frekvenčnú adaptáciu nepoužíva. V tomto prípade bude text (napr. "Accelerometer" (Akcelerometer)) aj tak odoslaný v režime ATR. Používateľ môže zhodnotiť režim Brady a režim ATR a určiť, že frekvenčná adaptácia prebieha iba u ATR.

MAPOVANIE EPIZÓDY

Epizódy, počítačľá atď. budú odosielané vo vzťahu k informáciám v interogácii. Rovnaké informácie budú odoslané na začiatku a v nasledujúcom opakovanom odoslaní, aj keď medzi tým prebehli interogácie. Nezabúdajte, že výstup EMR nebude vždy zodpovedať informáciám zobrazeným v správe Quick Notes, keďže Quick Notes zobrazujú epizódy, výstrahy a počítačľá od posledného resetovania. Epizódy sú reprezentované kombináciou normatívnych typov a typov špecifických pre predajcu. Niektoré typy epizód Boston Scientific nie je možné v súčasnej nomenklatúre IDCO unikátne označiť.

ID EPIZÓDY BSC	TYP EPIZÓDY BSC	NORMATÍVNY TYP EPIZÓDY IDCO	TYP EPIZÓDY IDCO ŠPECIFICKÝ PRE PREDAJCU
V-x	VF	VF	BSX-Zone_VF
V-x	VT	VT	BSX-Epis_VT
V-x	VT (V>A)	VT	BSX-Epis_VT
V-x	Tachy	Ak je elektróda v zariadeniach SSI v: <ul style="list-style-type: none"> • V – VT • A – AT/AF • Nešpecifikované – VT 	Pozri poznámku a
V-x	NonSust	Ak je elektróda v zariadeniach SSI v: <ul style="list-style-type: none"> • V – VT • A – AT/AF • Nešpecifikované – VT 	Ak A, prázdne ostatní BSX-Epis_NSVT
V-x	SVT (V<A)	SVT	BSX-Zone_SVT
V-x	VT-1	VT	BSX-Epis_VT-1
RMS-x	RMS	Iná	BSX-Epis_RMS
RYTHMIQ™-x	RYTHMIQ™	Iná	BSX-Epis_RMS
ATR-x	ATR	ATAF	BSX-Epis_ATR
PMT-x	PMT	Iná	BSX-Epis_PMT
SBR-x	SBR	Iná	Pozri poznámku a
PTM-x	PTM	Aktivovaná pacientom	BSX-Epis_PTM
V-x	Cmd V	Iná	Pozri poznámku a
V-x	NonSustV	VT	BSX-Epis_NSVT
APMRT-x	APM RT	Periodické EGM	BSX-Epis_APMRT
RVAT-x	RV Auto	Iná	Pozri poznámku a
RAAT-x	RA Auto	Iná	Pozri poznámku a
LVAT-x	LV Auto	Iná	Pozri poznámku a
MRI-x	MRI	Iná	Pozri poznámku a
<episode number>	Treated	VF	BSX-Zone_VF
<episode number>	Untreated	Iná	Pozri poznámku a
<episode number>	AF	ATAF	Pozri poznámku a

a. Typ epizódy podľa dodávateľa OBX bude uvedený v hlásení s prázdnu hodnotou observácie.

MAPOVANIE POČÍTADIEL

Niektoré počítadlá sa pred odoslaním do hlásenia sčítavajú. Príčinou je fakt, že všetky počítadlá Boston Scientific nie je v súčasnosti možné vyjadriť v nomenklatúre IDCO: Odosielané hodnoty počítadiel informujú o stave od posledného resetovania.

POČÍTADLO EPIZÓD BSC	ŠTATISTICKÝ NORMATÍVNY TYP EPIZÓDY IDCO	ŠTATISTICKÝ TYP EPIZÓDY IDCO ŠPECIFICKÝ PRE PREDAJCU
Treated	VF	BSX-Epis_VF
Untreated	Iná	Pozri poznámku a
VT (V>A)	VT	BSX-Epis_VT
Tachy	VT	BSX-Epis_VT
NonSust	VT	BSX-Epis_NSVT
NonSustV	VT	BSX-Epis_NSVT
SVT (V ≤ A)	SVT	BSX-Epis_SVT
ATR	AT/AF	BSX-Epis_ATR
MRI	Iná	Pozri poznámku a
VF	VF	BSX-Epis_VF
VT	VT	BSX-Epis_VT
VT-1	VT	BSX-Epis_VT-1
Cmd	Iná	Pozri poznámku a
No Therapy Programmed	Monitor	Pozri poznámku a
Other Untreated	Iná	Pozri poznámku a
RMS	Iná	BSX-Epis_RMS
RYTHMIQ™	Iná	BSX-Epis_RMS
PMT	Iná	BSX-Epis_PMT
SBR	Iná	Pozri poznámku a
PTM	Aktivovaná pacientom	BSX-Epis_PTM
APM RT	Periodické EGM	BSX-Epis_APMRT
RA Auto	Iná	Pozri poznámku a
RV Auto	Iná	Pozri poznámku a
LV Auto	Iná	Pozri poznámku a

a. Stav počítadla podľa dodávateľa OBX bude uvedený v hlásení s prázdnu hodnotou observácie.

MAPOVANIE KONFIGURÁCIE ELEKTRÓDY

V nasledujúcej tabuľke je popísaná definícia elektród s viacerými pólmi v štandardoch IDCO a BSC. Táto tabuľka nepredstavuje vyčerpávajúci zoznam, iba vymenováva informácie, ktoré nemusia byť zjavné.

Definície používané spoločnosťou BSC sú navrhnuté, aby odpovedali programátoru/nahrávaciemu zariadeniu/monitoru (PRM) a internetovej stránke LATITUDE.

NÁZOV ELEKTRÓDY BSC	POLOHA ELEKTRÓDY IDCO	NÁZOV ELEKTRÓDY IDCO
Zariadenie	Iná	Zariadenie
LVTip1	LV (LK)	Špička
LVRing2	LV (LK)	Ring1
LVRing3	LV (LK)	Ring2
LVRing4	LV (LK)	Ring3

MDC_IDC_ENUM_ELECTRODE_LOCATION (poloha stimulačnej/snímačnej anódy/katódy) v súčasnosti vo vymenovaní nezahŕňa kapsu (tzn. zariadenie). Poloha bude odoslaná ako „iná“ a pól elektródy ako „zariadenie“.

Stav „skontrolujte elektródu“ informuje o možnom probléme s elektródou. Ak však tento stav aktívny nie je, elektróda ešte nemusí fungovať správne. Systém odosiela stav „skontrolujte elektródu“, ak sa aktivuje ktorýkoľvek z nasledujúcich stavových indikátorov:

- Zariadenia S-ICD
 - Vysoká impedancia pólu elektródy
- Všetky ostatné zariadenia
 - Bezpečnostný spínač elektródy
 - Impedancia mimo rozsah
 - Amplitúda mimo rozsah
 - Nízka impedancia výboja
 - Vysoká impedancia výboja
 - Vysoké napätie pri nabíjaní

Pri MSMT_LEADCHNL_[CHAMBER] (tzn. meranie kanálu elektródy ako vlastná amplitúda, impedancia elektródy, stimulačný prah) je podľa aktuálnej nomenklatúry IDCO u všetkých meraní možné len jedno rozmedzie časovej známky (tzn. každé meranie nemá svoje vlastné rozmedzie). Ak sa časy merania líšia, systém odošle rozmedzie časovej známky (tzn. MIN, MAX) zahŕňajúce časy všetkých meraní. Odosielané hodnoty budú zodpovedať hodnote IDCO MEAN podľa nomenklatúry IDCO. Hodnoty sú však samostatnými meraniami, nejedná sa o priemerné hodnoty za rozmedzie časovej známky.

OBMEDZENIA SYSTÉMU

- Výstup špecifický pre Tachy a pre komory má maximálnu možnú presnosť. V niektorých prípadoch však dôležitosť odosielenia údajov a skutočnosť, že štandard IDCO nie je schopný uvádzať niektoré parametre, vedú k odoslaniu údajov. Napríklad: informácie zóny VT sa odosielaajú, ako keby zariadenia Brady mali zónu VT.
- U zariadení bez automatického stimulačného prahu (funkcia Autothreshold) sa odosiela posledné meranie prahu v ambulancii.
- Správne nahlasovanie údajov z implantovaného zariadenia a oznamovanie výstrah systémom LATITUDE NXT závisí od toho, či sú hodiny implantovaného zariadenia správne nastavené pomocou Programátora/nahrávacieho zariadenia/monitora (PRM). Správne nahlasovanie môže byť po správnom naprogramovaní hodín implantovaného zariadenia na

určitý čas naďalej ovplyvnené v závislosti od množstva údajov prijatých s nesprávnou informáciou o čase a časovej odchýlky hodín implantovaného zariadenia.

- Reťazce budú odosielané v jazyku nakonfigurovanom pre klinické pracovisko v systéme LATITUDE.

DEFINÍCIE VÝSTRAH A VAROVANÍ

Varovné a výstražné hlásenia sú do hlásenia zaradené ako poznámky, ktoré sa na EMR zobrazia môžu, ale nemusia. Varovanie alebo výstraha budú súčasťou hlásenia, ak údaje načítané z PG viedli k spusteniu tohto varovania alebo výstrahy.

SPRÁVY

Presenting EGM Report

Ak je prezentujúca správa EGM k dispozícii v údajovej časti z PG, bude pripojená k hláseniu vo formáte PDF a spojená s príslušnou epizódou APMRT pomocou skupinového ID (OBX-4) epizódy APMRT.

Kombinovaná kontrolná správa

Kombinovaná kontrolná správa sa k hláseniu pripája ako PDF.

Správa záznamov arytmií

Správa záznamov arytmií je pripojená k správe vo formáte PDF ako samostatný OBX.

Správa starostlivosti pri zlyhávaní srdca

Správa starostlivosti pri zlyhávaní srdca sa k hláseniu pripája ako PDF v samostatnom OBX.

PRÍKLAD SÚBOROV IDCO

KAPITOLA 4

Táto kapitola obsahuje nasledujúce témy:

- “Príklad súborov IDCO” na strane 4-2
- “Ukážkové Hlásenie 1 – Zariadenie S S-ICD” na strane 4-2
- “Ukážkové Hlásenie 2 – Iné Zariadenia (Bez S-ICD)” na strane 4-4

Outdated version. Do not use.
Version überholt. Nicht verwenden.
Version obsolète. Ne pas utiliser.
Versión obsoleta. No utilizar.
Versione obsoleta. Non utilizzate.
Verouderde versie. Niet gebruiken.
Föråldrad version. Använd ej.
Παλιά έκδοση. Μην την χρησιμοποιείτε.
Versão obsoleta. Não utilize.
Forældet version. Må ikke anvendes.
Zastaralá verzia. Nepoužívať.
Utdatert versjon. Skal ikke brukes.
Zastaraná verzia. Nepoužívať.
Elavult verzió. Ne használja!
Wersja nieaktualna. Nie używać.

PRÍKLAD SÚBOROV IDCO

Nasledujúci príklad súborov IDCO ukazuje, ako by mohli vyzerat' hlásenia LATITUDE IDCO. Uvádžeme iba dva príklady, možných výsledkov je veľa. Údaje v týchto ukázkových hláseniach sú hypotetické. Neobsahuje všetky pojmy LATITUDE IDCO.

UKÁŽKOVÉ HLÁSENIE 1 – ZARIADENIE S S-ICD

```
MSH|^~\&|LATITUDE|BOSTON SCIENTIFIC||Test Clinic|201502091852+0000||  
ORU^R01^ORU_R01|1000000134|P|2.6|||||UNICODE UTF-8|en^English||IHE_  
PCD_009^IHE_PCD^1.3.6.1.4.1.19376.1.6.1.9.1^ISO  
PID|1||model:A209/serial:100564^^^BSX^U~PID_001^^^Test Clinic^U||  
Smith^Joe||20150101|U  
PV1|1|R  
PV2|||||||||||||||||Test Clinic group^^1  
OBR|1||1000000013|754052^MDC_IDC_ENUM_SESS_TYPE_RemoteDeviceInitiated  
^MDC||201501261012-0600|||||F  
NTE|1||Sensing Configuration: Alternate\br\Gain Setting: 1X\br\  
Post Shock Pacing: ON  
NTE|2||Jan 26, 2015 10:07 CST - Yellow Alert - Untreated episode.  
NTE|3||Jan 26, 2015 10:04 CST - Yellow Alert - Shock therapy  
delivered to convert arrhythmia (treated episode).  
OBX|1|CWE|720897^MDC_IDC_DEV_TYPE^MDC||753666^MDC_IDC_ENUM_DEV_  
TYPE_ICD^MDC|||||F  
OBX|2|ST|720898^MDC_IDC_DEV_MODEL^MDC||A209D|||||F  
OBX|3|ST|720899^MDC_IDC_DEV_SERIAL^MDC||100564|||||F  
OBX|4|CWE|720900^MDC_IDC_DEV_MFG^MDC||753732^MDC_IDC_ENUM_MFG_  
BSX^MDC|||||F  
OBX|5|DTM|720901^MDC_IDC_DEV_IMPLANT_DT^MDC||20150126|||||F  
OBX|6|DTM|721025^MDC_IDC_SESS_DTM^MDC||201501261012-0600|||||F  
OBX|7|CWE|721026^MDC_IDC_SESS_TYPE^MDC||  
754052^MDC_IDC_ENUM_SESS_TYPE_RemoteDeviceInitiated^MDC|||||F  
OBX|8|ST|721033^MDC_IDC_SESS_CLINIC_NAME^MDC||Test Clinic|||||F  
OBX|9|DTM|721216^MDC_IDC_MSMT_BATTERY_DTM^MDC||201501261012-0600  
|||||F  
OBX|10|CWE|721280^MDC_IDC_MSMT_BATTERY_STATUS^MDC||754113^MDC_IDC_  
_ENUM_BATTERY_STATUS_BOS^MDC|||||F  
OBX|11|NM|721536^MDC_IDC_MSMT_BATTERY_REMAINING_PERCENTAGE^MDC||98  
|||||F  
OBX|12|ST|739536^MDC_IDC_EPISODE_ID^MDC||1|002|||||F  
OBX|13|DTM|739552^MDC_IDC_EPISODE_DTM^MDC||1|201501261007-0600|||||F  
OBX|14|CWE|739568^MDC_IDC_EPISODE_TYPE^MDC||1|754888^MDC_IDC_ENUM_  
EPISODE_TYPE_Epis_Other^MDC|||||F  
OBX|15|CWE|739600^MDC_IDC_EPISODE_VENDOR_TYPE^MDC||1|||||F  
OBX|16|CWE|739584^MDC_IDC_EPISODE_TYPE_INDUCED^MDC||1|755330^MDC_IDC_  
_ENUM_EPISODE_TYPE_INDUCED_NO^MDC|||||F  
OBX|17|NM|739712^MDC_IDC_EPISODE_DURATION^MDC||1|39|s|||||F  
OBX|18|ST|739680^MDC_IDC_EPISODE_DETECTION_THERAPY_DETAILS^MDC||1|  
Untreated Episode|||||F  
OBX|19|ST|739536^MDC_IDC_EPISODE_ID^MDC||2|001|||||F  
OBX|20|DTM|739552^MDC_IDC_EPISODE_DTM^MDC||2|201501261004-0600|||||F  
OBX|21|CWE|739568^MDC_IDC_EPISODE_TYPE^MDC||2|754881^MDC_IDC_ENUM_  
EPISODE_TYPE_Epis_VF^MDC|||||F  
OBX|22|CWE|739600^MDC_IDC_EPISODE_VENDOR_TYPE^MDC||2|771073^MDC_IDC_  
ENUM_EPISODE_VENDOR_TYPE_BSX-Epis_VF^MDC|||||F  
OBX|23|CWE|739584^MDC_IDC_EPISODE_TYPE_INDUCED^MDC||2|755330^MDC_IDC_  
ENUM_EPISODE_TYPE_INDUCED_NO^MDC|||||F  
OBX|24|NM|739712^MDC_IDC_EPISODE_DURATION^MDC||2|43|s|||||F  
OBX|25|ST|739680^MDC_IDC_EPISODE_DETECTION_THERAPY_DETAILS^MDC||2|
```

Treated Episode: Shock Impedance=77 Ohms, Final Shock Polarity=REV|||||F
OBX|26|CWE|731520^MDC_IDC_SET_TACHYTHERAPY_VSTAT^MDC||754817^MDC_IDC_ENUM_THERAPY_STATUS_On^MDC|||||F
OBX|27|CWE|731648^MDC_IDC_SET_ZONE_TYPE^MDC|1|754945^MDC_IDC_ENUM_ZONE_TYPE_Zone_VF^MDC|||||F
OBX|28|CWE|731712^MDC_IDC_SET_ZONE_VENDOR_TYPE^MDC|1|771139^MDC_IDC_ENUM_ZONE_VENDOR_TYPE_BSX-Zone_VF^MDC|||||F
OBX|29|CWE|731776^MDC_IDC_SET_ZONE_STATUS^MDC|1|755009^MDC_IDC_ENUM_ZONE_STATUS_Active^MDC|||||F
OBX|30|NM|731840^MDC_IDC_SET_ZONE_DETECTION_INTERVAL^MDC|1|273|ms|||||F
OBX|31|NM|732225^MDC_IDC_SET_ZONE_SHOCK_ENERGY_1^MDC|1|80|J|||||F
OBX|32|CWE|731648^MDC_IDC_SET_ZONE_TYPE^MDC|1|754946^MDC_IDC_ENUM_ZONE_TYPE_Zone_VT^MDC|||||F
OBX|33|CWE|731712^MDC_IDC_SET_ZONE_VENDOR_TYPE^MDC|2|771137^MDC_IDC_ENUM_ZONE_VENDOR_TYPE_BSX-Zone_VT^MDC|||||F
OBX|34|CWE|731776^MDC_IDC_SET_ZONE_STATUS^MDC|2|755009^MDC_IDC_ENUM_ZONE_STATUS_Active^MDC|||||F
OBX|35|NM|731840^MDC_IDC_SET_ZONE_DETECTION_INTERVAL^MDC|2|300|ms|||||F
OBX|36|ST|732032^MDC_IDC_SET_ZONE_DETECTION_DETAILS^MDC|2|SMART Charge: 204.69 s (133 intervals)|||||F
OBX|37|NM|732225^MDC_IDC_SET_ZONE_SHOCK_ENERGY_1^MDC|2|80|J|||||F
OBX|38|CWE|737952^MDC_IDC_STAT_EPISODE_TYPE^MDC|1|754888^MDC_IDC_ENUM_EPISODE_TYPE_Epis_Other^MDC|||||F
OBX|39|CWE|737984^MDC_IDC_STAT_EPISODE_VENDOR_TYPE^MDC|1|||||F
OBX|40|NM|738000^MDC_IDC_STAT_EPISODE_RECENT_COUNT^MDC|1|1|||||F
OBX|41|DTM|738017^MDC_IDC_STAT_EPISODE_RECENT_COUNT_DTM_START^MDC|1|20150126|||||F
OBX|42|DTM|738018^MDC_IDC_STAT_EPISODE_RECENT_COUNT_DTM_END^MDC|1|20150126|||||F
OBX|43|NM|738032^MDC_IDC_STAT_EPISODE_TOTAL_COUNT^MDC|1|1|||||F
OBX|44|DTM|738049^MDC_IDC_STAT_EPISODE_TOTAL_COUNT_DTM_START^MDC|1|20150126|||||F
OBX|45|DTM|738050^MDC_IDC_STAT_EPISODE_TOTAL_COUNT_DTM_END^MDC|1|20150126|||||F
OBX|46|CWE|737952^MDC_IDC_STAT_EPISODE_TYPE^MDC|2|754881^MDC_IDC_ENUM_EPISODE_TYPE_Epis_VF^MDC|||||F
OBX|47|CWE|737984^MDC_IDC_STAT_EPISODE_VENDOR_TYPE^MDC|2|771073^MDC_IDC_ENUM_EPISODE_VENDOR_TYPE_BSX-Epis_VF^MDC|||||F
OBX|48|NM|738000^MDC_IDC_STAT_EPISODE_RECENT_COUNT^MDC|2|1|||||F
OBX|49|DTM|738017^MDC_IDC_STAT_EPISODE_RECENT_COUNT_DTM_START^MDC|2|20150126|||||F
OBX|50|DTM|738018^MDC_IDC_STAT_EPISODE_RECENT_COUNT_DTM_END^MDC|2|20150126|||||F
OBX|51|NM|738032^MDC_IDC_STAT_EPISODE_TOTAL_COUNT^MDC|2|1|||||F
OBX|52|DTM|738049^MDC_IDC_STAT_EPISODE_TOTAL_COUNT_DTM_START^MDC|2|20150126|||||F
OBX|53|DTM|738050^MDC_IDC_STAT_EPISODE_TOTAL_COUNT_DTM_END^MDC|2|20150126|||||F
OBX|54|DTM|737937^MDC_IDC_STAT_TACHYTHERAPY_RECENT_DTM_START^MDC||20150126|||||F
OBX|55|DTM|737938^MDC_IDC_STAT_TACHYTHERAPY_RECENT_DTM_END^MDC||20150126|||||F
OBX|56|NM|737824^MDC_IDC_STAT_TACHYTHERAPY_SHOCKS_DELIVERED_RECENT^MDC||1|||||F
OBX|57|DTM|737921^MDC_IDC_STAT_TACHYTHERAPY_TOTAL_DTM_START^MDC||20150126|||||F
OBX|58|DTM|737922^MDC_IDC_STAT_TACHYTHERAPY_TOTAL_DTM_END^MDC||20150126|||||F
OBX|59|NM|737840^MDC_IDC_STAT_TACHYTHERAPY_SHOCKS_DELIVERED_TOTAL^MDC

```
|||||F
OBX|60|ST|720961^MDC_IDC_LEAD_MODEL^MDC|1|1030|||||F
OBX|61|ST|720962^MDC_IDC_LEAD_SERIAL^MDC|1|A123456|||||F
OBX|62|CWE|720963^MDC_IDC_LEAD_MFG^MDC|1|753732^MDC_IDC_ENUM_MFG_BSX^MDC
|||||F
OBX|63|CWE|720966^MDC_IDC_LEAD_LOCATION^MDC|1|753861^MDC_IDC_ENUM_LEAD_
LOCATION_CHAMBER_
OTHER^MDC|||||F
OBX|64|CWE|720967^MDC_IDC_LEAD_LOCATION_DETAIL_1^MDC|1|753944^MDC_IDC_
ENUM_LEAD_LOCATION_
DETAIL_Subcutaneous^MDC|||||F
OBX|65|ED|18750-0^Cardiac Electrophysiology Report^LN^^Summary Report
||Application^PDF^^Base64^
{encoded PDF here}|||||F|||201501261012-0600
OBX|66|ED|18750-0^Cardiac Electrophysiology Report^LN^^Arrhythmia Logbook
Report||Application^
PDF^^Base64^{encoded PDF here}|||||F|||201501261012-0600
OBX|67|ED|18750-0^Cardiac Electrophysiology Report^LN^^Presenting
S-ECG Report||Application^
PDF^^Base64^{encoded PDF here}|||||F|||201501261012-0600
```

UKÁŽKOVÉ HLÁSENIE 2 – INÉ ZARIADENIA (BEZ S-ICD)

```
MSH|^~\&|LATITUDE|BOSTON SCIENTIFIC||TestClinic|201305092136+0000||ORU^R01^ORU_R01
|0|P|2.6|||||UNICODE UTF-8|en^English||IHE_PCD_009^IHE_PCD
^1.3.6.1.4.1.19376.1.6.1.9.1^ISO
PID|1||model:N119;serial:900141^^^BSX^U||testLastName^testName^^^^^T
~testAuxName^testAuxFName^^^^^P||19680215|U
PV1|1|R
PV2|||||N|||||TestDeviceGroup^^1
OBR|1||1000000916|754054^MDC_IDC_ENUM_SESS_TYPE_RemotePatientInitiated
^MDC||201001151330-0500|||||F
NTE|1||Feb 02, 2012 00:00 - Yellow Alert - Atrial Arrhythmia Burden of at least 3.0 hours
in a 24 hour period.
NTE|2||Feb 02, 2012 00:00 - Yellow Alert - Atrial Arrhythmia Burden of at least 3.0 hours
in a 24 hour period between Jan 11, 2010 23:00 and Jan 12, 2010 00:00.
NTE|3||Feb 02, 2012 00:00 - Yellow Alert - Cardiac Resynchronization Therapy pacing of
< 1%. Pacing was 2% between Jan 11, 2010 23:00 and Jan 12, 2010 00:00.
NTE|4||Feb 02, 2012 00:00 - Yellow Alert - Right ventricular pacing of > 1%. Pacing was
2% between Jan 11, 2010 23:00 and Jan 12, 2010 00:00.
NTE|5||Feb 02, 2012 00:00 - Yellow Alert - Patient triggered event stored.
NTE|6||Feb 02, 2012 00:00 - Yellow Alert - Weight gain of at least 5 lb. in a week or at
least 2 lb. average over a two or more day period.
NTE|7||Feb 02, 2012 00:00 - Yellow Alert - Weight loss of at least 5 lb. in a week or at
least 2 lb. average over a two or more day period.
NTE|8||Feb 02, 2012 00:00 - Yellow Alert - Explant indicator reached on Jan 12, 2010
00:00. Schedule replacement of this device.
NTE|9||Feb 02, 2012 00:00 - Yellow Alert - Voltage was too low for projected remaining
capacity.
NTE|10||Feb 02, 2012 00:00 - Red Alert - Remote monitoring disabled on Jan 12, 2010 00:00
due to limited battery capacity (Explant indicator reached on Feb 12, 2010 00:00).
NTE|11||Feb 02, 2012 00:00 - Yellow Alert - Therapy history corruption detected.
Previously stored therapy history data has been deleted.
NTE|12||Feb 02, 2012 00:00 - Red Alert - Possible device malfunction (Fault Code 1011).
NTE|13||Feb 02, 2012 00:00 - Red Alert - Possible device malfunction (Fault Code 1007).
NTE|14||Feb 02, 2012 00:00 - Red Alert - Possible device malfunction (Fault Code 1009).
NTE|15||Feb 02, 2012 00:00 - Red Alert - Device is in Safety Mode. For patient protection
the device has been switched to Safety Mode.
NTE|16||Feb 02, 2012 00:00 - Yellow Alert - Right ventricular automatic threshold
```

detected as > programmed amplitude or suspended.

NTE|17||Feb 02, 2012 00:00 - Yellow Alert - Atrial automatic threshold detected as > programmed amplitude or suspended.

NTE|18||Feb 02, 2012 00:00 - Red Alert - Shock lead impedance out of range.

NTE|19||Feb 02, 2012 00:00 - Red Alert - Low shock lead impedance detected when attempting to deliver a shock.

NTE|20||Feb 02, 2012 00:00 - Red Alert - High shock lead impedance detected when attempting to deliver a shock.

NTE|21||Feb 02, 2012 00:00 - Red Alert - High voltage detected on shock lead during charge.

NTE|22||Feb 02, 2012 00:00 - Red Alert - Electrocautery Protection is active.

NTE|23||Feb 02, 2012 00:00 - Yellow Alert - VT Episode occurred (V>A).

NTE|24||Feb 02, 2012 00:00 - Yellow Alert - Device Brady Mode is Off. Brady therapy will not be delivered.

NTE|25||Feb 02, 2012 00:00 - Yellow Alert - Left ventricular pacing lead impedance out of range.

NTE|26||Feb 02, 2012 00:00 - Yellow Alert - Atrial pacing lead impedance out of range.

NTE|27||Feb 02, 2012 00:00 - Yellow Alert - Right ventricular intrinsic amplitude out of range.

NTE|28||Feb 02, 2012 00:00 - Yellow Alert - Intrinsic amplitude out of range.

NTE|29||Feb 02, 2012 00:00 - Yellow Alert - Left ventricular intrinsic amplitude out of range.

NTE|30||Feb 02, 2012 00:00 - Yellow Alert - Atrial intrinsic amplitude out of range.

NTE|31||Feb 02, 2012 00:00 - Red Alert - Right ventricular pacing lead impedance out of range.

NTE|32||Feb 02, 2012 00:00 - Red Alert - Pacing lead impedance out of range.

NTE|33||Feb 02, 2012 00:00 - Yellow Alert - Ventricular shock therapy delivered to convert arrhythmia.

NTE|34||Feb 02, 2012 00:00 - Yellow Alert - Accelerated ventricular arrhythmia episode.

NTE|35||Feb 02, 2012 00:00 - Red Alert - V-Tachy mode set to value other than Monitor + Therapy.

NTE|36||Feb 02, 2012 00:00 - Red Alert - Lead Check notification due to abrupt change in right ventricular pacing lead impedance in the past 7 days.

NTE|37||Feb 02, 2012 00:00 - Red Alert - Lead Check notification due to episode with potential right ventricular non-physiologic signal.

NTE|38||Feb 02, 2012 00:00 - Yellow Alert - Left ventricular automatic threshold detected as > programmed amplitude or suspended.

OBX|1|ST|739536^MDC_IDC_EPISODE_ID^MDC|1|MRI-16|||||F

OBX|2|DTM|739552^MDC_IDC_EPISODE_DTM^MDC|1|200101020304|||||F

OBX|3|CWE|739568^MDC_IDC_EPISODE_TYPE^MDC|1|754888
 ^MDC_IDC_ENUM_EPISODE_TYPE_Epis_Other^MDC|||||F

OBX|4|CWE|739600^MDC_IDC_EPISODE_VENDOR_TYPE^MDC|1|||||F

OBX|5|NM|739712^MDC_IDC_EPISODE_DURATION^MDC|1|100|s|||||F

OBX|6|ST|739680^MDC_IDC_EPISODE_DETECTION_THERAPY_DETAILS
 ^MDC|1|MRI Protection Mode|||||F

OBX|7|ST|739536^MDC_IDC_EPISODE_ID^MDC|2|LVAT-15|||||F

OBX|8|DTM|739552^MDC_IDC_EPISODE_DTM^MDC|2|200101020304|||||F

OBX|9|CWE|739568^MDC_IDC_EPISODE_TYPE^MDC|2|754888
 ^MDC_IDC_ENUM_EPISODE_TYPE_Epis_Other^MDC|||||F

OBX|10|CWE|739600^MDC_IDC_EPISODE_VENDOR_TYPE^MDC|2|||||F

OBX|11|NM|739712^MDC_IDC_EPISODE_DURATION^MDC|2|100|s|||||F

OBX|12|ST|739680^MDC_IDC_EPISODE_DETECTION_THERAPY_DETAILS^MDC|2|LV Auto|||||F

OBX|13|ST|739536^MDC_IDC_EPISODE_ID^MDC|3|RVAT-14|||||F

OBX|14|DTM|739552^MDC_IDC_EPISODE_DTM^MDC|3|200101020304|||||F

OBX|15|CWE|739568^MDC_IDC_EPISODE_TYPE^MDC|3|754888
 ^MDC_IDC_ENUM_EPISODE_TYPE_Epis_Other^MDC|||||F

OBX|16|CWE|739600^MDC_IDC_EPISODE_VENDOR_TYPE^MDC|3|||||F

OBX|17|NM|739712^MDC_IDC_EPISODE_DURATION^MDC|3|100|s|||||F

OBX|18|ST|739680^MDC_IDC_EPISODE_DETECTION_THERAPY_DETAILS^MDC|3|RV Auto|||||F

```
OBX|19|ST|739536^MDC_IDC_EPISODE_ID^MDC|4|APM-13|||||F
OBX|20|DTM|739552^MDC_IDC_EPISODE_DTM^MDC|4|200101020304|||||F
OBX|21|CWE|739568^MDC_IDC_EPISODE_TYPE^MDC|4|754886
^MDC_IDC_ENUM_EPISODE_TYPE_Epis_PeriodicEGM^MDC|||||F
OBX|22|CWE|739600^MDC_IDC_EPISODE_VENDOR_TYPE^MDC|4|771085
^MDC_IDC_ENUM_EPISODE_VENDOR_TYPE_BSX-Epis_APMRT^MDC|||||F
OBX|23|ST|739680^MDC_IDC_EPISODE_DETECTION_THERAPY_DETAILS^MDC|4|Presenting EGM|||||F
OBX|24|ST|739536^MDC_IDC_EPISODE_ID^MDC|5|PTM-12|||||F
OBX|25|DTM|739552^MDC_IDC_EPISODE_DTM^MDC|5|200101020304|||||F
OBX|26|CWE|739568^MDC_IDC_EPISODE_TYPE^MDC|5|754887
^MDC_IDC_ENUM_EPISODE_TYPE_Epis_PatientActivated^MDC|||||F
OBX|27|CWE|739600^MDC_IDC_EPISODE_VENDOR_TYPE^MDC|5|771080
^MDC_IDC_ENUM_EPISODE_VENDOR_TYPE_BSX-Epis_PTM^MDC|||||F
OBX|28|NM|739648^MDC_IDC_EPISODE_VENTRICULAR_INTERVAL_AT_DETECTION
^MDC|5|30000|ms|||||F
OBX|29|NM|739712^MDC_IDC_EPISODE_DURATION^MDC|5|100|s|||||F
OBX|30|ST|739680^MDC_IDC_EPISODE_DETECTION_THERAPY_DETAILS^MDC|5|PTM|||||F
OBX|31|ST|739536^MDC_IDC_EPISODE_ID^MDC|6|RAAT-11|||||F
OBX|32|DTM|739552^MDC_IDC_EPISODE_DTM^MDC|6|200101020304|||||F
OBX|33|CWE|739568^MDC_IDC_EPISODE_TYPE^MDC|6|754888
^MDC_IDC_ENUM_EPISODE_TYPE_Epis_Other^MDC|||||F
OBX|34|CWE|739600^MDC_IDC_EPISODE_VENDOR_TYPE^MDC|6|771084
^MDC_IDC_ENUM_EPISODE_VENDOR_TYPE_BSX-Epis_RMS^MDC|||||F
OBX|35|NM|739712^MDC_IDC_EPISODE_DURATION^MDC|6|100|s|||||F
OBX|36|ST|739680^MDC_IDC_EPISODE_DETECTION_THERAPY_DETAILS^MDC|6|RA Auto|||||F
OBX|37|ST|739536^MDC_IDC_EPISODE_ID^MDC|7|RYTHMIQ-10|||||F
OBX|38|DTM|739552^MDC_IDC_EPISODE_DTM^MDC|7|200101020304|||||F
OBX|39|CWE|739568^MDC_IDC_EPISODE_TYPE^MDC|7|754888
^MDC_IDC_ENUM_EPISODE_TYPE_Epis_Other^MDC|||||F
OBX|40|CWE|739600^MDC_IDC_EPISODE_VENDOR_TYPE^MDC|7|771084
^MDC_IDC_ENUM_EPISODE_VENDOR_TYPE_BSX-Epis_RMS^MDC|||||F
OBX|41|NM|739648
^MDC_IDC_EPISODE_VENTRICULAR_INTERVAL_AT_DETECTION^MDC|7|30000|ms|||||F
OBX|42|NM|739712^MDC_IDC_EPISODE_DURATION^MDC|7|100|s|||||F
OBX|43|ST|739680^MDC_IDC_EPISODE_DETECTION_THERAPY_DETAILS^MDC|7|RYTHMIQ|||||F
OBX|44|ST|739536^MDC_IDC_EPISODE_ID^MDC|8|RMS-9|||||F
OBX|45|DTM|739552^MDC_IDC_EPISODE_DTM^MDC|8|200101020304|||||F
OBX|46|CWE|739568^MDC_IDC_EPISODE_TYPE
^MDC|8|754888^MDC_IDC_ENUM_EPISODE_TYPE_Epis_Other^MDC|||||F
OBX|47|CWE|739600^MDC_IDC_EPISODE_VENDOR_TYPE^MDC|8|771084
^MDC_IDC_ENUM_EPISODE_VENDOR_TYPE_BSX-Epis_RMS^MDC|||||F
OBX|48|NM|739648
^MDC_IDC_EPISODE_VENTRICULAR_INTERVAL_AT_DETECTION^MDC|8|30000|ms|||||F
OBX|49|NM|739712^MDC_IDC_EPISODE_DURATION^MDC|8|100|s|||||F
OBX|50|ST|739680^MDC_IDC_EPISODE_DETECTION_THERAPY_DETAILS^MDC|8|RMS|||||F
OBX|51|ST|739536^MDC_IDC_EPISODE_ID^MDC|9|V-8|||||F
OBX|52|DTM|739552^MDC_IDC_EPISODE_DTM^MDC|9|200101020304|||||F
OBX|53|CWE|739568^MDC_IDC_EPISODE_TYPE
^MDC|9|754881^MDC_IDC_ENUM_EPISODE_TYPE_Epis_VF^MDC|||||F
OBX|54|CWE|739600^MDC_IDC_EPISODE_VENDOR_TYPE
^MDC|9|771073^MDC_IDC_ENUM_EPISODE_VENDOR_TYPE_BSX-Epis_VF^MDC|||||F
OBX|55|CWE|739584^MDC_IDC_EPISODE_TYPE_INDUCED^MDC|9|755329
^MDC_IDC_ENUM_EPISODE_TYPE_INDUCED_YES^MDC|||||F
OBX|56|NM|739648
^MDC_IDC_EPISODE_VENTRICULAR_INTERVAL_AT_DETECTION^MDC|9|30000|ms|||||F
OBX|57|NM|739712^MDC_IDC_EPISODE_DURATION^MDC|9|100|s|||||F
OBX|58|ST|739680
^MDC_IDC_EPISODE_DETECTION_THERAPY_DETAILS^MDC|9|VF ATPx1, 0.1J, 0.2J, 31Jx2|||||F
OBX|59|ST|739536^MDC_IDC_EPISODE_ID^MDC|10|PMT-7|||||F
OBX|60|DTM|739552^MDC_IDC_EPISODE_DTM^MDC|10|200101020304|||||F
```

OBX|61|CWE|739568^MDC_IDC_EPISODE_TYPE^MDC|10|754888
^MDC_IDC_ENUM_EPISODE_TYPE_Epis_Other^MDC|||||F
OBX|62|CWE|739600^MDC_IDC_EPISODE_VENDOR_TYPE^MDC|10|771079
^MDC_IDC_ENUM_EPISODE_VENDOR_TYPE_BSX-Epis_PMT^MDC|||||F
OBX|63|NM|739648^MDC_IDC_EPISODE_VENTRICULAR_INTERVAL_AT_DETECTION
^MDC|10|30000|ms|||||F
OBX|64|NM|739712^MDC_IDC_EPISODE_DURATION^MDC|10|100|s|||||F
OBX|65|ST|739680^MDC_IDC_EPISODE_DETECTION_THERAPY_DETAILS^MDC|10|PMT|||||F
OBX|66|ST|739536^MDC_IDC_EPISODE_ID^MDC|11|V-6|||||F
OBX|67|DTM|739552^MDC_IDC_EPISODE_DTM^MDC|11|200101020304|||||F
OBX|68|CWE|739568^MDC_IDC_EPISODE_TYPE^MDC|11|754882
^MDC_IDC_ENUM_EPISODE_TYPE_Epis_VT^MDC|||||F
OBX|69|CWE|739600^MDC_IDC_EPISODE_VENDOR_TYPE^MDC|11|771075
^MDC_IDC_ENUM_EPISODE_VENDOR_TYPE_BSX-Epis_VT-1^MDC|||||F
OBX|70|CWE|739584^MDC_IDC_EPISODE_TYPE_INDUCED^MDC|11|755329
^MDC_IDC_ENUM_EPISODE_TYPE_INDUCED_YES^MDC|||||F
OBX|71|NM|739648^MDC_IDC_EPISODE_VENTRICULAR_INTERVAL_AT_DETECTION
^MDC|11|30000|ms|||||F
OBX|72|NM|739712^MDC_IDC_EPISODE_DURATION^MDC|11|100|s|||||F
OBX|73|ST|739680^MDC_IDC_EPISODE_DETECTION_THERAPY_DETAILS
^MDC|11|VT-1 ATPx1, 0.1J, 0.2J, 31Jx2|||||F
OBX|74|ST|739536^MDC_IDC_EPISODE_ID^MDC|12|ATR-5|||||F
OBX|75|DTM|739552^MDC_IDC_EPISODE_DTM^MDC|12|200101020304|||||F
OBX|76|CWE|739568^MDC_IDC_EPISODE_TYPE^MDC|12|754883
^MDC_IDC_ENUM_EPISODE_TYPE_Epis_ATAF^MDC|||||F
OBX|77|CWE|739600^MDC_IDC_EPISODE_VENDOR_TYPE^MDC|12|771078
^MDC_IDC_ENUM_EPISODE_VENDOR_TYPE_BSX-Epis_ATR^MDC|||||F
OBX|78|NM|739616^MDC_IDC_EPISODE_ATRIAL_INTERVAL_AT_DETECTION^MDC|12|20000|ms|||||F
OBX|79|NM|739712^MDC_IDC_EPISODE_DURATION^MDC|12|100|s|||||F
OBX|80|ST|739680^MDC_IDC_EPISODE_DETECTION_THERAPY_DETAILS^MDC|12|ATR|||||F
OBX|81|ST|739536^MDC_IDC_EPISODE_ID^MDC|13|V-4|||||F
OBX|82|DTM|739552^MDC_IDC_EPISODE_DTM^MDC|13|200101020304|||||F
OBX|83|CWE|739568^MDC_IDC_EPISODE_TYPE^MDC|13|754882
^MDC_IDC_ENUM_EPISODE_TYPE_Epis_VT^MDC|||||F
OBX|84|CWE|739600^MDC_IDC_EPISODE_VENDOR_TYPE^MDC|13|771077
^MDC_IDC_ENUM_EPISODE_VENDOR_TYPE_BSX-Epis_NSVT^MDC|||||F
OBX|85|CWE|739584^MDC_IDC_EPISODE_TYPE_INDUCED^MDC|13|755329
^MDC_IDC_ENUM_EPISODE_TYPE_INDUCED_YES^MDC|||||F
OBX|86|NM|739648^MDC_IDC_EPISODE_VENTRICULAR_INTERVAL_AT_DETECTION
^MDC|13|30000|ms|||||F
OBX|87|NM|739712^MDC_IDC_EPISODE_DURATION^MDC|13|100|s|||||F
OBX|88|ST|739680^MDC_IDC_EPISODE_DETECTION_THERAPY_DETAILS^MDC|13|NonSustV|||||F
OBX|89|ST|739536^MDC_IDC_EPISODE_ID^MDC|14|V-3|||||F
OBX|90|DTM|739552^MDC_IDC_EPISODE_DTM^MDC|14|200101020304|||||F
OBX|91|CWE|739568^MDC_IDC_EPISODE_TYPE^MDC|14|754882
^MDC_IDC_ENUM_EPISODE_TYPE_Epis_VT^MDC|||||F
OBX|92|CWE|739600^MDC_IDC_EPISODE_VENDOR_TYPE^MDC|14|771074
^MDC_IDC_ENUM_EPISODE_VENDOR_TYPE_BSX-Epis_VT^MDC|||||F
OBX|93|CWE|739584^MDC_IDC_EPISODE_TYPE_INDUCED^MDC|14|755329
^MDC_IDC_ENUM_EPISODE_TYPE_INDUCED_YES^MDC|||||F
OBX|94|NM|739648^MDC_IDC_EPISODE_VENTRICULAR_INTERVAL_AT_DETECTION
^MDC|14|30000|ms|||||F
OBX|95|NM|739712^MDC_IDC_EPISODE_DURATION^MDC|14|100|s|||||F
OBX|96|ST|739680^MDC_IDC_EPISODE_DETECTION_THERAPY_DETAILS
^MDC|14|VT ATPx1, 0.1J, 0.2J, 31Jx2|||||F
OBX|97|ST|739536^MDC_IDC_EPISODE_ID^MDC|15|SBR-2|||||F
OBX|98|DTM|739552^MDC_IDC_EPISODE_DTM^MDC|15|200101020304|||||F
OBX|99|CWE|739568^MDC_IDC_EPISODE_TYPE^MDC|15|754888
^MDC_IDC_ENUM_EPISODE_TYPE_Epis_Other^MDC|||||F

OBX|100|CWE|739600^MDC_IDC_EPISODE_VENDOR_TYPE^MDC|15|||||F
OBX|101|NM|739616^MDC_IDC_EPISODE_ATRIAL_INTERVAL_AT_DETECTION^MDC|15|20000|ms|||||F
OBX|102|NM|739712^MDC_IDC_EPISODE_DURATION^MDC|15|100|s|||||F
OBX|103|ST|739680^MDC_IDC_EPISODE_DETECTION_THERAPY_DETAILS^MDC|15|SBR|||||F
OBX|104|ST|739536^MDC_IDC_EPISODE_ID^MDC|16|V-1|||||F
OBX|105|DTM|739552^MDC_IDC_EPISODE_DTM^MDC|16|200101020304|||||F
OBX|106|CWE|739568^MDC_IDC_EPISODE_TYPE^MDC|16|754888
^MDC_IDC_ENUM_EPISODE_TYPE_Epis_Other^MDC|||||F
OBX|107|CWE|739600^MDC_IDC_EPISODE_VENDOR_TYPE^MDC|16|||||F
OBX|108|CWE|739584^MDC_IDC_EPISODE_TYPE_INDUCED^MDC|16|755329
^MDC_IDC_ENUM_EPISODE_TYPE_INDUCED_YES^MDC|||||F
OBX|109|NM|739648^MDC_IDC_EPISODE_VENTRICULAR_INTERVAL_AT_DETECTION
^MDC|16|30000|ms|||||F
OBX|110|NM|739712^MDC_IDC_EPISODE_DURATION^MDC|16|100|s|||||F
OBX|111|ST|739680^MDC_IDC_EPISODE_DETECTION_THERAPY_DETAILS
^MDC|16|Cmd V Therapy Delivered|||||F
OBX|112|ED|18750-0^Cardiac Electrophysiology Report^LN||Application^PDF^
^Base64^{encoded PDF included here}|||||F||201001151330-0500
OBX|113|ED|18750-0^Cardiac Electrophysiology Report^LN|4|Application^PDF^
^Base64^{encoded PDF included here}|||||F||201001151330-0500
OBX|114|CWE|720897^MDC_IDC_DEV_TYPE^MDC||753665^MDC_IDC_ENUM_DEV_TYPE_IPG^MDC|||||F
OBX|115|ST|720898^MDC_IDC_DEV_MODEL^MDC||N119|||||F
OBX|116|ST|720899^MDC_IDC_DEV_SERIAL^MDC||900141|||||F
OBX|117|CWE|720900^MDC_IDC_DEV_MFG^MDC||753732^MDC_IDC_ENUM_MFG_BSX^MDC|||||F
OBX|118|DTM|720901^MDC_IDC_DEV_IMPLANT_DT^MDC||20120513|||||F
OBX|119|ST|720961^MDC_IDC_LEAD_MODEL^MDC|1|12345|||||F
OBX|120|ST|720962^MDC_IDC_LEAD_SERIAL^MDC|1|6789|||||F
OBX|121|CWE|720963^MDC_IDC_LEAD_MFG^MDC|1|753731^MDC_IDC_ENUM_MFG_BIO^MDC|||||F
OBX|122|CWE|720965^MDC_IDC_LEAD_POLARITY_TYPE^MDC|1|753793
^MDC_IDC_ENUM_LEAD_POLARITY_TYPE_UNI^MDC|||||F
OBX|123|DTM|720964^MDC_IDC_LEAD_IMPLANT_DT^MDC|1|201205|||||F
OBX|124|CWE|720966^MDC_IDC_LEAD_LOCATION^MDC|1|753858
^MDC_IDC_ENUM_LEAD_LOCATION_CHAMBER_LV^MDC|||||F
OBX|125|CWE|720967^MDC_IDC_LEAD_LOCATION_DETAIL_1
^MDC|1|753922^MDC_IDC_ENUM_LEAD_LOCATION_DETAIL_Apex^MDC|||||F
OBX|126|CWE|720968^MDC_IDC_LEAD_LOCATION_DETAIL_2^MDC|1|753925
^MDC_IDC_ENUM_LEAD_LOCATION_DETAIL_VenaCava^MDC|||||F
OBX|127|ST|720961^MDC_IDC_LEAD_MODEL^MDC|2|12345|||||F
OBX|128|ST|720962^MDC_IDC_LEAD_SERIAL^MDC|2|6789|||||F
OBX|129|CWE|720963^MDC_IDC_LEAD_MFG^MDC|2|753731^MDC_IDC_ENUM_MFG_BIO^MDC|||||F
OBX|130|CWE|720965^MDC_IDC_LEAD_POLARITY_TYPE^MDC|2|753793
^MDC_IDC_ENUM_LEAD_POLARITY_TYPE_UNI^MDC|||||F
OBX|131|DTM|720964^MDC_IDC_LEAD_IMPLANT_DT^MDC|2|201205|||||F
OBX|132|CWE|720966^MDC_IDC_LEAD_LOCATION^MDC|2|753858
^MDC_IDC_ENUM_LEAD_LOCATION_CHAMBER_LV^MDC|||||F
OBX|133|CWE|720967^MDC_IDC_LEAD_LOCATION_DETAIL_1^MDC|2|753922
^MDC_IDC_ENUM_LEAD_LOCATION_DETAIL_Apex^MDC|||||F
OBX|134|CWE|720968^MDC_IDC_LEAD_LOCATION_DETAIL_2^MDC|2|753925
^MDC_IDC_ENUM_LEAD_LOCATION_DETAIL_VenaCava^MDC|||||F
OBX|135|ST|720961^MDC_IDC_LEAD_MODEL^MDC|3|12345|||||F
OBX|136|ST|720962^MDC_IDC_LEAD_SERIAL^MDC|3|6789|||||F
OBX|137|CWE|720963^MDC_IDC_LEAD_MFG^MDC|3|753731^MDC_IDC_ENUM_MFG_BIO^MDC|||||F
OBX|138|CWE|720965^MDC_IDC_LEAD_POLARITY_TYPE^MDC|3|753793
^MDC_IDC_ENUM_LEAD_POLARITY_TYPE_UNI^MDC|||||F
OBX|139|DTM|720964^MDC_IDC_LEAD_IMPLANT_DT^MDC|3|201205|||||F
OBX|140|CWE|720966^MDC_IDC_LEAD_LOCATION^MDC|3|753858
^MDC_IDC_ENUM_LEAD_LOCATION_CHAMBER_LV^MDC|||||F
OBX|141|CWE|720967^MDC_IDC_LEAD_LOCATION_DETAIL_1^MDC|3|753922
^MDC_IDC_ENUM_LEAD_LOCATION_DETAIL_Apex^MDC|||||F

OBX|142|CWE|720968^MDC_IDC_LEAD_LOCATION_DETAIL_2^MDC|3|753925
 ^MDC_IDC_ENUM_LEAD_LOCATION_DETAIL_VenaCava^MDC|||||F
 OBX|143|ST|720961^MDC_IDC_LEAD_MODEL^MDC|4|12345|||||F
 OBX|144|ST|720962^MDC_IDC_LEAD_SERIAL^MDC|4|6789|||||F
 OBX|145|CWE|720963^MDC_IDC_LEAD_MFG^MDC|4|753731^MDC_IDC_ENUM_MFG_BIO^MDC|||||F
 OBX|146|CWE|720965^MDC_IDC_LEAD_POLARITY_TYPE^MDC|4|753793
 ^MDC_IDC_ENUM_LEAD_POLARITY_TYPE_UNI^MDC|||||F
 OBX|147|DTM|720964^MDC_IDC_LEAD_IMPLANT_DT^MDC|4|201205|||||F
 OBX|148|CWE|720966^MDC_IDC_LEAD_LOCATION^MDC|4|753858
 ^MDC_IDC_ENUM_LEAD_LOCATION_CHAMBER_LV^MDC|||||F
 OBX|149|CWE|720967^MDC_IDC_LEAD_LOCATION_DETAIL_1^MDC|4|753922
 ^MDC_IDC_ENUM_LEAD_LOCATION_DETAIL_Apex^MDC|||||F
 OBX|150|CWE|720968^MDC_IDC_LEAD_LOCATION_DETAIL_2^MDC|4|753925
 ^MDC_IDC_ENUM_LEAD_LOCATION_DETAIL_VenaCava^MDC|||||F
 OBX|151|ST|720961^MDC_IDC_LEAD_MODEL^MDC|5|12345|||||F
 OBX|152|ST|720962^MDC_IDC_LEAD_SERIAL^MDC|5|6789|||||F
 OBX|153|CWE|720963^MDC_IDC_LEAD_MFG^MDC|5|753731^MDC_IDC_ENUM_MFG_BIO^MDC|||||F
 OBX|154|CWE|720965^MDC_IDC_LEAD_POLARITY_TYPE^MDC|5|753793
 ^MDC_IDC_ENUM_LEAD_POLARITY_TYPE_UNI^MDC|||||F
 OBX|155|DTM|720964^MDC_IDC_LEAD_IMPLANT_DT^MDC|5|201205|||||F
 OBX|156|CWE|720966^MDC_IDC_LEAD_LOCATION^MDC|5|753858
 ^MDC_IDC_ENUM_LEAD_LOCATION_CHAMBER_LV^MDC|||||F
 OBX|157|CWE|720967^MDC_IDC_LEAD_LOCATION_DETAIL_1^MDC|5|753922
 ^MDC_IDC_ENUM_LEAD_LOCATION_DETAIL_Apex^MDC|||||F
 OBX|158|CWE|720968^MDC_IDC_LEAD_LOCATION_DETAIL_2^MDC|5|753925
 ^MDC_IDC_ENUM_LEAD_LOCATION_DETAIL_VenaCava^MDC|||||F
 OBX|159|ST|720961^MDC_IDC_LEAD_MODEL^MDC|6|12345|||||F
 OBX|160|ST|720962^MDC_IDC_LEAD_SERIAL^MDC|6|6789|||||F
 OBX|161|CWE|720963^MDC_IDC_LEAD_MFG^MDC|6|753731^MDC_IDC_ENUM_MFG_BIO^MDC|||||F
 OBX|162|CWE|720965^MDC_IDC_LEAD_POLARITY_TYPE^MDC|6|753793
 ^MDC_IDC_ENUM_LEAD_POLARITY_TYPE_UNI^MDC|||||F
 OBX|163|DTM|720964^MDC_IDC_LEAD_IMPLANT_DT^MDC|6|201205|||||F
 OBX|164|CWE|720966^MDC_IDC_LEAD_LOCATION^MDC|6|753858
 ^MDC_IDC_ENUM_LEAD_LOCATION_CHAMBER_LV^MDC|||||F
 OBX|165|CWE|720967^MDC_IDC_LEAD_LOCATION_DETAIL_1^MDC|6|753922
 ^MDC_IDC_ENUM_LEAD_LOCATION_DETAIL_Apex^MDC|||||F
 OBX|166|CWE|720968^MDC_IDC_LEAD_LOCATION_DETAIL_2^MDC|6|753925
 ^MDC_IDC_ENUM_LEAD_LOCATION_DETAIL_VenaCava^MDC|||||F
 OBX|167|DTM|721025^MDC_IDC_SESS_DTM^MDC||201001021310-0600|||||F
 OBX|168|CWE|721026^MDC_IDC_SESS_TYPE^MDC||754052
 ^MDC_IDC_ENUM_SESS_TYPE_RemoteDeviceInitiated^MDC|||||F
 OBX|169|ST|721033^MDC_IDC_SESS_CLINIC_NAME
 ^MDC||abcdefghijklmnopqrstuvwxyzabcdefghijklmnopqrstuvwxyz|||||F
 OBX|170|DTM|721216^MDC_IDC_MSMT_BATTERY_DTM^MDC||201205221755+0000|||||F
 OBX|171|CWE|721280^MDC_IDC_MSMT_BATTERY_STATUS^MDC||754113
 ^MDC_IDC_ENUM_BATTERY_STATUS_BOS^MDC|||||F
 OBX|172|NM|721472^MDC_IDC_MSMT_BATTERY_REMAINING_LONGEVITY^MDC||132|mo||>|||F
 OBX|173|NM|721536^MDC_IDC_MSMT_BATTERY_REMAINING_PERCENTAGE^MDC||100|%|||F
 OBX|174|DTM|721664^MDC_IDC_MSMT_CAP_CHARGE_DTM^MDC||201205221755|||||F
 OBX|175|NM|721728^MDC_IDC_MSMT_CAP_CHARGE_TIME^MDC||3.0|s|||F
 OBX|176|CWE|721856^MDC_IDC_MSMT_CAP_CHARGE_TYPE^MDC||754178
 ^MDC_IDC_ENUM_CHARGE_TYPE_Reformation^MDC|||||F
 OBX|177|DTM|721921^MDC_IDC_MSMT_LEADCHNL_RA_DTM_START^MDC||20121211|||||F
 OBX|178|DTM|721922^MDC_IDC_MSMT_LEADCHNL_RA_DTM_END^MDC||20121211|||||F
 OBX|179|CWE|721984^MDC_IDC_MSMT_LEADCHNL_RA_LEAD_CHANNEL_STATUS^MDC||754241
 ^MDC_IDC_ENUM_CHANNEL_STATUS_CheckLead^MDC|||||F
 OBX|180|NM|722051
 ^MDC_IDC_MSMT_LEADCHNL_RA_SENSING_INTR_AMPL_MEAN^MDC||mV||NAV|||F||20121211
 OBX|181|DTM|721925^MDC_IDC_MSMT_LEADCHNL_RV_DTM_START^MDC||19990102|||||F

OBX|182|DTM|721926^MDC_IDC_MSMT_LEADCHNL_RV_DTM_END^MDC||20121211|||||F
OBX|183|CWE|721985^MDC_IDC_MSMT_LEADCHNL_RV_LEAD_CHANNEL_STATUS^MDC||754241
^MDC_IDC_ENUM_CHANNEL_STATUS_CheckLead^MDC|||||F
OBX|184|NM|722055
^MDC_IDC_MSMT_LEADCHNL_RV_SENSING_INTR_AMPL_MEAN^MDC||0.1|mV||<|||F|||20121211
OBX|185|DTM|721933^MDC_IDC_MSMT_LEADCHNL_LV_DTM_START^MDC||19990102|||||F
OBX|186|DTM|721934^MDC_IDC_MSMT_LEADCHNL_LV_DTM_END^MDC||20121211|||||F
OBX|187|CWE|721987^MDC_IDC_MSMT_LEADCHNL_LV_LEAD_CHANNEL_STATUS^MDC||754241
^MDC_IDC_ENUM_CHANNEL_STATUS_CheckLead^MDC|||||F
OBX|188|NM|722063^MDC_IDC_MSMT_LEADCHNL_LV_SENSING_INTR_AMPL_MEAN
^MDC||25.0|mV||>|||F|||20121211
OBX|189|CWE|722112^MDC_IDC_MSMT_LEADCHNL_RA_SENSING_POLARITY^MDC||754305
^MDC_IDC_ENUM_POLARITY_UNI^MDC|||||F
OBX|190|CWE|722113^MDC_IDC_MSMT_LEADCHNL_RV_SENSING_POLARITY^MDC||754306
^MDC_IDC_ENUM_POLARITY_BI^MDC|||||F
OBX|191|CWE|722115^MDC_IDC_MSMT_LEADCHNL_LV_SENSING_POLARITY^MDC|||||OFF|||F
OBX|192|NM|722176^MDC_IDC_MSMT_LEADCHNL_RA_PACING_THRESHOLD_AMPLITUDE
^MDC||V||NAV|||F|||20121211
OBX|193|NM|722177^MDC_IDC_MSMT_LEADCHNL_RV_PACING_THRESHOLD_AMPLITUDE
^MDC||3.0|V||>|||F|||20121211
OBX|194|NM|722179^MDC_IDC_MSMT_LEADCHNL_LV_PACING_THRESHOLD_AMPLITUDE
^MDC||0.0|V|||F|||20121210
OBX|195|NM|722240^MDC_IDC_MSMT_LEADCHNL_RA_PACING_THRESHOLD_PULSEWIDTH
^MDC||ms||NAV|||F|||19990102
OBX|196|NM|722241^MDC_IDC_MSMT_LEADCHNL_RV_PACING_THRESHOLD_PULSEWIDTH
^MDC||0.4|ms|||F|||19990102
OBX|197|NM|722243^MDC_IDC_MSMT_LEADCHNL_LV_PACING_THRESHOLD_PULSEWIDTH
^MDC||0.4|ms|||F|||19990102
OBX|198|CWE|722304^MDC_IDC_MSMT_LEADCHNL_RA_PACING_THRESHOLD_MEASUREMENT_METHOD
^MDC||754369^MDC_IDC_ENUM_MEASUREMENT_METHOD_ProgrammerManual^MDC|||||F
OBX|199|CWE|722305^MDC_IDC_MSMT_LEADCHNL_RV_PACING_THRESHOLD_MEASUREMENT_METHOD
^MDC||754369^MDC_IDC_ENUM_MEASUREMENT_METHOD_ProgrammerManual^MDC|||||F
OBX|200|CWE|722307^MDC_IDC_MSMT_LEADCHNL_LV_PACING_THRESHOLD_MEASUREMENT_METHOD
^MDC||754369^MDC_IDC_ENUM_MEASUREMENT_METHOD_ProgrammerManual^MDC|||||F
OBX|201|CWE|722368^MDC_IDC_MSMT_LEADCHNL_RA_PACING_THRESHOLD_POLARITY^MDC||754305
^MDC_IDC_ENUM_POLARITY_UNI^MDC|||||F
OBX|202|CWE|722369^MDC_IDC_MSMT_LEADCHNL_RV_PACING_THRESHOLD_POLARITY^MDC||754306
^MDC_IDC_ENUM_POLARITY_BI^MDC|||||F
OBX|203|CWE|722371^MDC_IDC_MSMT_LEADCHNL_LV_PACING_THRESHOLD_POLARITY^MDC||754306
^MDC_IDC_ENUM_POLARITY_BI^MDC|||||F
OBX|204|NM|722432^MDC_IDC_MSMT_LEADCHNL_RA_IMPEDANCE_VALUE
^MDC||200|ohms||<|||F|||20121211
OBX|205|NM|722433^MDC_IDC_MSMT_LEADCHNL_RV_IMPEDANCE_VALUE
^MDC||2000|ohms||>|||F|||20121211
OBX|206|NM|722435^MDC_IDC_MSMT_LEADCHNL_LV_IMPEDANCE_VALUE
^MDC||201|ohms|||||F|||20121209
OBX|207|CWE|722496^MDC_IDC_MSMT_LEADCHNL_RA_IMPEDANCE_POLARITY^MDC||754305
^MDC_IDC_ENUM_POLARITY_UNI^MDC|||||F
OBX|208|CWE|722497^MDC_IDC_MSMT_LEADCHNL_RV_IMPEDANCE_POLARITY^MDC||754305
^MDC_IDC_ENUM_POLARITY_UNI^MDC|||||F
OBX|209|CWE|722499^MDC_IDC_MSMT_LEADCHNL_LV_IMPEDANCE_POLARITY^MDC||754306
^MDC_IDC_ENUM_POLARITY_BI^MDC|||||F
OBX|210|DTM|722560^MDC_IDC_MSMT_LEADHVCHNL_DTM_START^MDC||1|20121109|||||F
OBX|211|NM|722624^MDC_IDC_MSMT_LEADHVCHNL_IMPEDANCE^MDC||1|ohms||NAV|||F
OBX|212|CWE|722688^MDC_IDC_MSMT_LEADHVCHNL_MEASUREMENT_TYPE
^MDC||1|754433^MDC_IDC_ENUM_HVCHNL_MEASUREMENT_TYPE_LowVoltage^MDC|||||F
OBX|213|CWE|722752^MDC_IDC_MSMT_LEADHVCHNL_STATUS^MDC||1|754241
^MDC_IDC_ENUM_CHANNEL_STATUS_CheckLead^MDC|||||F
OBX|214|NM|729344^MDC_IDC_SET_CRT_LVRV_DELAY^MDC||-100|ms|||||F

OBX|215|CWE|729408^MDC_IDC_SET CRT_PACED_CHAMBERS^MDC||755265
 ^MDC_IDC_ENUM CRT_PACED_CHAMBERS_RV_Only^MDC|||||F
 OBX|216|NM|729536^MDC_IDC_SET_LEADCHNL_RA_SENSING_SENSITIVITY^MDC||0.5|mV|||||F
 OBX|217|NM|729537^MDC_IDC_SET_LEADCHNL_RV_SENSING_SENSITIVITY^MDC||0.9|mV|||||F
 OBX|218|NM|729539^MDC_IDC_SET_LEADCHNL_LV_SENSING_SENSITIVITY^MDC||1.0|mV|||||F
 OBX|219|CWE|729600^MDC_IDC_SET_LEADCHNL_RA_SENSING_POLARITY^MDC|||||OFF|||F
 OBX|220|CWE|729601^MDC_IDC_SET_LEADCHNL_RV_SENSING_POLARITY^MDC||754305
 ^MDC_IDC_ENUM_POLARITY_UNI^MDC|||||F
 OBX|221|CWE|729676^MDC_IDC_SET_LEADCHNL_LV_SENSING_ANODE_LOCATION^MDC||754498
 ^MDC_IDC_ENUM ELECTRODE_LOCATION_RV^MDC|||||F
 OBX|222|CWE|729740^MDC_IDC_SET_LEADCHNL_LV_SENSING_ANODE ELECTRODE^MDC|||||OFF|||F
 OBX|223|CWE|729804^MDC_IDC_SET_LEADCHNL_LV_SENSING_CATHODE_LOCATION^MDC|||||OFF|||F
 OBX|224|CWE|729868^MDC_IDC_SET_LEADCHNL_LV_SENSING_CATHODE ELECTRODE
 ^MDC||754561^MDC_IDC_ENUM ELECTRODE_NAME_Tip^MDC|||||F
 OBX|225|CWE|729920^MDC_IDC_SET_LEADCHNL_RA_SENSING_ADAPTATION_MODE^MDC||754625
 ^MDC_IDC_ENUM_SENSING_ADAPTATION_MODE_AdaptiveSensing^MDC|||||F
 OBX|226|CWE|729921^MDC_IDC_SET_LEADCHNL_RV_SENSING_ADAPTATION_MODE^MDC||754625
 ^MDC_IDC_ENUM_SENSING_ADAPTATION_MODE_AdaptiveSensing^MDC|||||F
 OBX|227|CWE|729923^MDC_IDC_SET_LEADCHNL_LV_SENSING_ADAPTATION_MODE^MDC||754626
 ^MDC_IDC_ENUM_SENSING_ADAPTATION_MODE_FixedSensing^MDC|||||F
 OBX|228|NM|729984^MDC_IDC_SET_LEADCHNL_RA_PACING_AMPLITUDE^MDC||5.1|V|||||F
 OBX|229|NM|729985^MDC_IDC_SET_LEADCHNL_RV_PACING_AMPLITUDE^MDC||5.0|V|||||F
 OBX|230|NM|729987^MDC_IDC_SET_LEADCHNL_LV_PACING_AMPLITUDE^MDC||2.8|V|||||F
 OBX|231|NM|730048^MDC_IDC_SET_LEADCHNL_RA_PACING_PULSEWIDTH^MDC||100.0|ms|||||F
 OBX|232|NM|730049^MDC_IDC_SET_LEADCHNL_RV_PACING_PULSEWIDTH^MDC||200.0|ms|||||F
 OBX|233|NM|730051^MDC_IDC_SET_LEADCHNL_LV_PACING_PULSEWIDTH^MDC||300.0|ms|||||F
 OBX|234|CWE|730112^MDC_IDC_SET_LEADCHNL_RA_PACING_POLARITY^MDC||754305
 ^MDC_IDC_ENUM_POLARITY_UNI^MDC|||||F
 OBX|235|CWE|730113^MDC_IDC_SET_LEADCHNL_RV_PACING_POLARITY^MDC||754305
 ^MDC_IDC_ENUM_POLARITY_UNI^MDC|||||F
 OBX|236|CWE|730188^MDC_IDC_SET_LEADCHNL_LV_PACING_ANODE_LOCATION^MDC||754498
 ^MDC_IDC_ENUM ELECTRODE_LOCATION_RV^MDC|||||F
 OBX|237|CWE|730252^MDC_IDC_SET_LEADCHNL_LV_PACING_ANODE ELECTRODE^MDC||754564
 ^MDC_IDC_ENUM ELECTRODE_NAME_Ring2^MDC|||||F
 OBX|238|CWE|730316^MDC_IDC_SET_LEADCHNL_LV_PACING_CATHODE_LOCATION^MDC||754500
 ^MDC_IDC_ENUM ELECTRODE_LOCATION_LV^MDC|||||F
 OBX|239|CWE|730380^MDC_IDC_SET_LEADCHNL_LV_PACING_CATHODE ELECTRODE^MDC||754566
 ^MDC_IDC_ENUM ELECTRODE_NAME_Ring4^MDC|||||F
 OBX|240|CWE|730432^MDC_IDC_SET_LEADCHNL_RA_PACING_CAPTURE_MODE^MDC||754690
 ^MDC_IDC_ENUM_PACING_CAPTURE_MODE_FixedPacing^MDC|||||F
 OBX|241|CWE|730433^MDC_IDC_SET_LEADCHNL_RV_PACING_CAPTURE_MODE^MDC||754691
 ^MDC_IDC_ENUM_PACING_CAPTURE_MODE_MonitorCapture^MDC|||||F
 OBX|242|CWE|730435^MDC_IDC_SET_LEADCHNL_LV_PACING_CAPTURE_MODE^MDC||754690
 ^MDC_IDC_ENUM_PACING_CAPTURE_MODE_FixedPacing^MDC|||||F
 OBX|243|CWE|730752^MDC_IDC_SET_BRADY_MODE^MDC||754760^MDC_IDC_ENUM_BRADY_MODE_DDD
 ^MDC|||||F
 OBX|244|NM|730880^MDC_IDC_SET_BRADY_LOWRATE^MDC||100|{beats}/min|||||F
 OBX|245|ST|731072^MDC_IDC_SET_BRADY_SENSOR_TYPE^MDC||Accelerometer + MV|||||F
 OBX|246|NM|731136^MDC_IDC_SET_BRADY_MAX_TRACKING_RATE^MDC||130|{beats}/min|||||F
 OBX|247|NM|731200^MDC_IDC_SET_BRADY_MAX_SENSOR_RATE^MDC||180|{beats}/min|||||F
 OBX|248|NM|731265^MDC_IDC_SET_BRADY_SAV_DELAY_HIGH^MDC||102|ms|||||F
 OBX|249|NM|731266^MDC_IDC_SET_BRADY_SAV_DELAY_LOW^MDC||101|ms|||||F
 OBX|250|NM|731329^MDC_IDC_SET_BRADY_PAV_DELAY_HIGH^MDC||104|ms|||||F
 OBX|251|NM|731330^MDC_IDC_SET_BRADY_PAV_DELAY_LOW^MDC||103|ms|||||F
 OBX|252|CWE|731392^MDC_IDC_SET_BRADY_AT_MODE_SWITCH_MODE^MDC||754763
 ^MDC_IDC_ENUM_BRADY_MODE_DDIR^MDC|||||F
 OBX|253|NM|731456^MDC_IDC_SET_BRADY_AT_MODE_SWITCH_RATE^MDC||130|{beats}/min|||||F
 OBX|254|CWE|731520^MDC_IDC_SET_TACHYTHERAPY_VSTAT^MDC||754817
 ^MDC_IDC_ENUM_THERAPY_STATUS_On^MDC|||||F

OBX|255|CWE|731648^MDC_IDC_SET_ZONE_TYPE^MDC|1|754945^MDC_IDC_ENUM_ZONE_TYPE_Zone_VF
^MDC|||||F

OBX|256|CWE|731712^MDC_IDC_SET_ZONE_VENDOR_TYPE^MDC|1|771139
^MDC_IDC_ENUM_ZONE_VENDOR_TYPE_BSX-Zone_VF^MDC|||||F

OBX|257|CWE|731776^MDC_IDC_SET_ZONE_STATUS^MDC|1|755009
^MDC_IDC_ENUM_ZONE_STATUS_Active^MDC|||||F

OBX|258|NM|731840^MDC_IDC_SET_ZONE_DETECTION_INTERVAL^MDC|1|462|ms|||||F

OBX|259|CWE|732097^MDC_IDC_SET_ZONE_TYPE_ATP_1^MDC|1|755073
^MDC_IDC_ENUM_ATP_TYPE_Burst^MDC|||||F

OBX|260|NM|732161^MDC_IDC_SET_ZONE_NUM_ATP_SEQS_1^MDC|1|1|||||F

OBX|261|NM|732225^MDC_IDC_SET_ZONE_SHOCK_ENERGY_1^MDC|1|21.1|J|||||F

OBX|262|NM|732289^MDC_IDC_SET_ZONE_NUM_SHOCKS_1^MDC|1|1|||||F

OBX|263|NM|732226^MDC_IDC_SET_ZONE_SHOCK_ENERGY_2^MDC|1|31.1|J|||||F

OBX|264|NM|732290^MDC_IDC_SET_ZONE_NUM_SHOCKS_2^MDC|1|1|||||F

OBX|265|NM|732227^MDC_IDC_SET_ZONE_SHOCK_ENERGY_3^MDC|1|41.1|J|||||F

OBX|266|NM|732291^MDC_IDC_SET_ZONE_NUM_SHOCKS_3^MDC|1|6|||||F

OBX|267|CWE|731648^MDC_IDC_SET_ZONE_TYPE^MDC|2|754946^MDC_IDC_ENUM_ZONE_TYPE_Zone_VT
^MDC|||||F

OBX|268|CWE|731712^MDC_IDC_SET_ZONE_VENDOR_TYPE^MDC|2|771137
^MDC_IDC_ENUM_ZONE_VENDOR_TYPE_BSX-Zone_VT^MDC|||||F

OBX|269|CWE|731776^MDC_IDC_SET_ZONE_STATUS^MDC|2|755009
^MDC_IDC_ENUM_ZONE_STATUS_Active^MDC|||||F

OBX|270|NM|731840^MDC_IDC_SET_ZONE_DETECTION_INTERVAL^MDC|2|463|ms|||||F

OBX|271|CWE|732097^MDC_IDC_SET_ZONE_TYPE_ATP_1^MDC|2|755073
^MDC_IDC_ENUM_ATP_TYPE_Burst^MDC|||||F

OBX|272|NM|732161^MDC_IDC_SET_ZONE_NUM_ATP_SEQS_1^MDC|2|2|||||F

OBX|273|CWE|732098^MDC_IDC_SET_ZONE_TYPE_ATP_2^MDC|2|755074
^MDC_IDC_ENUM_ATP_TYPE_Ramp^MDC|||||F

OBX|274|NM|732162^MDC_IDC_SET_ZONE_NUM_ATP_SEQS_2^MDC|2|3|||||F

OBX|275|NM|732225^MDC_IDC_SET_ZONE_SHOCK_ENERGY_1^MDC|2|22.2|J|||||F

OBX|276|NM|732289^MDC_IDC_SET_ZONE_NUM_SHOCKS_1^MDC|2|1|||||F

OBX|277|NM|732226^MDC_IDC_SET_ZONE_SHOCK_ENERGY_2^MDC|2|32.2|J|||||F

OBX|278|NM|732290^MDC_IDC_SET_ZONE_NUM_SHOCKS_2^MDC|2|1|||||F

OBX|279|NM|732227^MDC_IDC_SET_ZONE_SHOCK_ENERGY_3^MDC|2|42.2|J|||||F

OBX|280|NM|732291^MDC_IDC_SET_ZONE_NUM_SHOCKS_3^MDC|2|3|||||F

OBX|281|CWE|731648^MDC_IDC_SET_ZONE_TYPE^MDC|3|754946^MDC_IDC_ENUM_ZONE_TYPE_Zone_VT
^MDC|||||F

OBX|282|CWE|731712^MDC_IDC_SET_ZONE_VENDOR_TYPE^MDC|3|771138
^MDC_IDC_ENUM_ZONE_VENDOR_TYPE_BSX-Zone_VT-1^MDC|1|1|F

OBX|283|CWE|731776^MDC_IDC_SET_ZONE_STATUS^MDC|3|755009
^MDC_IDC_ENUM_ZONE_STATUS_Active^MDC|||||F

OBX|284|NM|731840^MDC_IDC_SET_ZONE_DETECTION_INTERVAL^MDC|3|465|ms|||||F

OBX|285|CWE|732097^MDC_IDC_SET_ZONE_TYPE_ATP_1^MDC|3|755074
^MDC_IDC_ENUM_ATP_TYPE_Ramp^MDC|||||F

OBX|286|NM|732161^MDC_IDC_SET_ZONE_NUM_ATP_SEQS_1^MDC|3|4|||||F

OBX|287|CWE|732098^MDC_IDC_SET_ZONE_TYPE_ATP_2^MDC|3|755076
^MDC_IDC_ENUM_ATP_TYPE_RampScan^MDC|||||F

OBX|288|NM|732162^MDC_IDC_SET_ZONE_NUM_ATP_SEQS_2^MDC|3|5|||||F

OBX|289|NM|732225^MDC_IDC_SET_ZONE_SHOCK_ENERGY_1^MDC|3|23.2|J|||||F

OBX|290|NM|732289^MDC_IDC_SET_ZONE_NUM_SHOCKS_1^MDC|3|1|||||F

OBX|291|NM|732226^MDC_IDC_SET_ZONE_SHOCK_ENERGY_2^MDC|3|33.2|J|||||F

OBX|292|NM|732290^MDC_IDC_SET_ZONE_NUM_SHOCKS_2^MDC|3|1|||||F

OBX|293|NM|732227^MDC_IDC_SET_ZONE_SHOCK_ENERGY_3^MDC|3|43.2|J|||||F

OBX|294|NM|732291^MDC_IDC_SET_ZONE_NUM_SHOCKS_3^MDC|3|2|||||F

OBX|295|DTM|737489^MDC_IDC_STAT_DTM_START^MDC||20120522|||||F

OBX|296|DTM|737490^MDC_IDC_STAT_DTM_END^MDC||20120522|||||F

OBX|297|DTM|737505^MDC_IDC_STAT_BRADY_DTM_START^MDC||20120522|||||F

OBX|298|DTM|737506^MDC_IDC_STAT_BRADY_DTM_END^MDC||20120522|||||F

OBX|299|NM|737520^MDC_IDC_STAT_BRADY_RA_PERCENT_PACED^MDC||0|%|||||F

OBX|300|NM|737536^MDC_IDC_STAT_BRADY_RV_PERCENT_PACED^MDC||0|%|||||F
OBX|301|DTM|737777^MDC_IDC_STAT_CRT_DTM_START^MDC||20120522|||||F
OBX|302|DTM|737778^MDC_IDC_STAT_CRT_DTM_END^MDC||20120522|||||F
OBX|303|NM|737792^MDC_IDC_STAT_CRT_LV_PERCENT_PACED^MDC||0|%|||||F
OBX|304|CWE|737952^MDC_IDC_STAT_EPISODE_TYPE^MDC|1|754882
^MDC_IDC_ENUM_EPISODE_TYPE_Epis_VT^MDC|||||F
OBX|305|CWE|737984^MDC_IDC_STAT_EPISODE_VENDOR_TYPE^MDC|1|771077
^MDC_IDC_ENUM_EPISODE_VENDOR_TYPE_BSX-Epis_NSVT^MDC|||||F
OBX|306|NM|738000^MDC_IDC_STAT_EPISODE_RECENT_COUNT^MDC|1|0|||||F
OBX|307|DTM|738017^MDC_IDC_STAT_EPISODE_RECENT_COUNT_DTM_START^MDC|1|20120522|||||F
OBX|308|DTM|738018^MDC_IDC_STAT_EPISODE_RECENT_COUNT_DTM_END^MDC|1|20120522|||||F
OBX|309|CWE|737952^MDC_IDC_STAT_EPISODE_TYPE^MDC|1|754882
^MDC_IDC_ENUM_EPISODE_TYPE_Epis_VT^MDC|||||F
OBX|310|CWE|737984^MDC_IDC_STAT_EPISODE_VENDOR_TYPE^MDC|1|||||F
OBX|311|NM|738000^MDC_IDC_STAT_EPISODE_RECENT_COUNT^MDC|1|0|||||F
OBX|312|DTM|738017^MDC_IDC_STAT_EPISODE_RECENT_COUNT_DTM_START^MDC|1|20120522|||||F
OBX|313|DTM|738018^MDC_IDC_STAT_EPISODE_RECENT_COUNT_DTM_END^MDC|1|20120522|||||F
OBX|314|CWE|737952^MDC_IDC_STAT_EPISODE_TYPE^MDC|2|754884
^MDC_IDC_ENUM_EPISODE_TYPE_Epis_SVT^MDC|||||F
OBX|315|CWE|737984^MDC_IDC_STAT_EPISODE_VENDOR_TYPE^MDC|2|771076
MDC_IDC_ENUM_EPISODE_VENDOR_TYPE_BSX-Epis_SVT^MDC|||||F
OBX|316|NM|738000^MDC_IDC_STAT_EPISODE_RECENT_COUNT^MDC|2|0|||||F
OBX|317|DTM|738017^MDC_IDC_STAT_EPISODE_RECENT_COUNT_DTM_START^MDC|2|20120522|||||F
OBX|318|DTM|738018^MDC_IDC_STAT_EPISODE_RECENT_COUNT_DTM_END^MDC|2|20120522|||||F
OBX|319|CWE|737952^MDC_IDC_STAT_EPISODE_TYPE^MDC|4|754883
^MDC_IDC_ENUM_EPISODE_TYPE_Epis_ATA^MDC|||||F
OBX|320|CWE|737984^MDC_IDC_STAT_EPISODE_VENDOR_TYPE^MDC|4|771078
^MDC_IDC_ENUM_EPISODE_VENDOR_TYPE_BSX-Epis_ATR^MDC|||||F
OBX|321|NM|738000^MDC_IDC_STAT_EPISODE_RECENT_COUNT^MDC|4|0|||||F
OBX|322|DTM|738017^MDC_IDC_STAT_EPISODE_RECENT_COUNT_DTM_START^MDC|4|20120522|||||F
OBX|323|DTM|738018^MDC_IDC_STAT_EPISODE_RECENT_COUNT_DTM_END^MDC|4|20120522|||||F
OBX|324|CWE|737952^MDC_IDC_STAT_EPISODE_TYPE^MDC|5|754888
^MDC_IDC_ENUM_EPISODE_TYPE_Epis_Other^MDC|||||F
OBX|325|CWE|737984^MDC_IDC_STAT_EPISODE_VENDOR_TYPE^MDC|5|771077
^MDC_IDC_ENUM_EPISODE_VENDOR_TYPE_BSX-Epis_VF^MDC|||||F
OBX|326|NM|738000^MDC_IDC_STAT_EPISODE_RECENT_COUNT^MDC|5|0|||||F
OBX|327|DTM|738017^MDC_IDC_STAT_EPISODE_RECENT_COUNT_DTM_START^MDC|5|20120522|||||F
OBX|328|DTM|738018^MDC_IDC_STAT_EPISODE_RECENT_COUNT_DTM_END^MDC|5|20120522|||||F
OBX|329|CWE|737952^MDC_IDC_STAT_EPISODE_TYPE^MDC|6|754881
^MDC_IDC_ENUM_EPISODE_TYPE_Epis_VF^MDC|||||F
OBX|330|CWE|737984^MDC_IDC_STAT_EPISODE_VENDOR_TYPE^MDC|6|771073
^MDC_IDC_ENUM_EPISODE_VENDOR_TYPE_BSX-Epis_VF^MDC|||||F
OBX|331|NM|738000^MDC_IDC_STAT_EPISODE_RECENT_COUNT^MDC|6|1|||||F
OBX|332|DTM|738017^MDC_IDC_STAT_EPISODE_RECENT_COUNT_DTM_START^MDC|6|20120522|||||F
OBX|333|DTM|738018^MDC_IDC_STAT_EPISODE_RECENT_COUNT_DTM_END^MDC|6|20120522|||||F
OBX|334|CWE|737952^MDC_IDC_STAT_EPISODE_TYPE^MDC|7|754882
^MDC_IDC_ENUM_EPISODE_TYPE_Epis_VT^MDC|||||F
OBX|335|CWE|737984^MDC_IDC_STAT_EPISODE_VENDOR_TYPE^MDC|7|771074
^MDC_IDC_ENUM_EPISODE_VENDOR_TYPE_BSX-Epis_VT^MDC|||||F
OBX|336|NM|738000^MDC_IDC_STAT_EPISODE_RECENT_COUNT^MDC|7|2|||||F
OBX|337|DTM|738017^MDC_IDC_STAT_EPISODE_RECENT_COUNT_DTM_START^MDC|7|20120522|||||F
OBX|338|DTM|738018^MDC_IDC_STAT_EPISODE_RECENT_COUNT_DTM_END^MDC|7|20120522|||||F
OBX|339|CWE|737952^MDC_IDC_STAT_EPISODE_TYPE^MDC|8|754882
^MDC_IDC_ENUM_EPISODE_TYPE_Epis_VT^MDC|||||F
OBX|340|CWE|737984^MDC_IDC_STAT_EPISODE_VENDOR_TYPE^MDC|8|771075
^MDC_IDC_ENUM_EPISODE_VENDOR_TYPE_BSX-Epis_VT-1^MDC|||||F
OBX|341|NM|738000^MDC_IDC_STAT_EPISODE_RECENT_COUNT^MDC|8|3|||||F
OBX|342|DTM|738017^MDC_IDC_STAT_EPISODE_RECENT_COUNT_DTM_START^MDC|8|20120522|||||F
OBX|343|DTM|738018^MDC_IDC_STAT_EPISODE_RECENT_COUNT_DTM_END^MDC|8|20120522|||||F
OBX|344|CWE|737952^MDC_IDC_STAT_EPISODE_TYPE^MDC|9|754884

```
^MDC_IDC_ENUM_EPISODE_TYPE_Epis_Monitor^MDC|||||F
OBX|345|CWE|737984^MDC_IDC_STAT_EPISODE_VENDOR_TYPE^MDC|9|||||F
OBX|346|NM|738000^MDC_IDC_STAT_EPISODE_RECENT_COUNT^MDC|9|4|||||F
OBX|347|DTM|738017^MDC_IDC_STAT_EPISODE_RECENT_COUNT_DTM_START^MDC|9|20120522|||||F
OBX|348|DTM|738018^MDC_IDC_STAT_EPISODE_RECENT_COUNT_DTM_END^MDC|9|20120522|||||F
```

Outdated version. Do not use.
Version überholt. Nicht verwenden.
Version obsolete. Ne pas utiliser.
Versión obsoleta. No utilizar.
Versione obsoleta. Non utilizzare.
Verouderde versie. Niet gebruiken.
Föråldrad version. Använd ej.
Παλιά έκδοση. Μην την χρησιμοποιείτε.
Versão obsoleta. Não utilize.
Forældet version. Må ikke anvendes.
Zastaralá verzia. Nepoužívať.
Utdatert versjon. Skal ikke brukes.
Zastaraná verzia. Nepoužívať.
Elavult verzió. Ne használja!
Wersja nieaktualna. Nie używać.

PREHLAD

KAPITOLA 5

Táto kapitola obsahuje nasledujúce témy:

- “Prehľad HL7” na strane 5-2

Outdated version. Do not use.
Version überholt. Nicht verwenden.
Version obsolète. Ne pas utiliser.
Versión obsoleta. No utilizar.
Versione obsoleta. Non utilizzare.
Verouderde versie. Niet gebruiken.
Föråldrad version. Använd ej.
Παλιά έκδοση. Μην την χρησιμοποιείτε.
Versão obsoleta. Não utilize.
Förældet version. Må ikke anvendes.
Zastaralá verze. Nepoužívat.
Utdatert versjon. Skal ikke brukes.
Zastaraná verzia. Nepoužívať.
Elavult verzió. Ne használja!
Wersja nieaktualna. Nie używać.

PREHĽAD HL7

Diaľkový systém monitorovania pacienta Boston Scientific LATITUDE generuje nevyžiadané hlásenia výsledkov observácie HL7 (ORU) v súlade so špecifikáciami a definíciami uvádzanými v tomto dokumente. Tieto hlásenia slúžia na prenos údajov pacienta do systému na elektronické zdravotnícke záznamy (EMR).

Tento dokument je určený používateľom produktu Boston Scientific LATITUDE, ktorí používajú systémy EMR na sledovanie a správu údajov pacienta.

POZNÁMKA: Predpokladáme, že čitatelia tejto časti sú oboznámení s terminológiou HL7 2.x, syntaxou špecifikácií, typmi údajov, štruktúrami hlásení a sémantikou správ ORU. Ďalšie informácie o hláseniach HL7 nájdete na stránke www.hl7.org.

Outdated version. Do not use.
Version überholt. Nicht verwenden.
Version obsolete. Ne pas utiliser.
Versión obsoleta. No utilizar.
Versione obsoleta. Non utilizzate.
Verouderde versie. Niet gebruiken.
Föråldrad version. Använd ej.
Παλιά έκδοση. Μην χρησιμοποιείτε.
Versão obsoleta. Não utilize.
Forældet version. Må ikke anvendes.
Zastaralá verzia. Nepoužívať.
Utdatert versjon. Skal ikke brukes.
Zastaraná verzia. Nepoužívať.
Elavult verzió. Ne használja!
Wersja nieaktualna. Nie używać.

ŠPECIFIKÁCIE HLÁSENÍ LATITUDE HL7

KAPITOLA 6

Táto kapitola obsahuje nasledujúce témy:

- “Špecifikácie hlásení Latitude HL7” na strane 6-2
- “Štruktúra segmentu MSH” na strane 6-2
- “Štruktúra segmentu PID” na strane 6-4
- “Štruktúra segmentu NTE” na strane 6-5
- “Štruktúra segmentu PV1” na strane 6-6
- “Štruktúra segmentu PV2” na strane 6-6
- “Štruktúra segmentu OBR” na strane 6-7
- “Štruktúra segmentu OBX” na strane 6-9
- “Štruktúra segmentu ZUX” na strane 6-10

Outdated version. Do not use.
Version überholt. Nicht verwenden.
Version obsolete. No longer use.
Versión obsoleta. No utilizar.
Versione obsoleta. Non utilizzare.
Verouderde versie. Niet gebruiken.
Föråldrad version. Använd ej.
Παλιά έκδοση. Μην την χρησιμοποιείτε.
Versão obsoleta. Não utilize.
Forældet version. Må ikke anvendes.
Zastaralá verze. Nepoužívat.
Utdatert versjon. Skal ikke brukes.
Zastaraná verzia. Nepoužívať.
Elavult verzió. Ne használja!
Wersja nieaktualna. Nie używać.

ŠPECIFIKÁCIE HLÁSENÍ LATITUDE HL7

Súbor LATITUDE HL7 vychádza zo štandardu HL7 2.3.1 pre nevyžiadané hlásenia výsledkov observácie. Tento medzinárodný štandard popisuje univerzálny model interoperability zdravotníckych elektronických údajov.

Základné koncepty hlásení LATITUDE HL7: (Znaky ASCII uvádzané v tomto dokumente ako oddeľovacie znaky slúžia iba ako príklady, môžu sa meniť.)

1. Hlásenie LATITUDE pozostáva zo segmentov
2. Prvé tri písmená segmentu slúžia ako identifikátor typu segmentu
3. Hlásenie LATITUDE bude vždy obsahovať tieto typy segmentov: MSH; PID; NTE1; PV1; OBR1; OBX (viac); ZU1; ZU2
4. Segmenty sú textové reťazce ASCII vytvorené z niekoľkých ohraničených sekvencií
5. Sekvencia je na konci ohraničená znakom | (tzn. ASCII 0x7C)
6. Lokalizácia a odkazovanie na sekvencie sú založené na ich numerickej polohe v segmente
7. Identifikátor typu segmentu sa do číslovania sekvencie nepočíta
8. S výnimkou typu segmentu MSH je prvou sekvenciou vždy číslo. To spolu s trojznakovým identifikátorom segmentu nachádzajúcim sa hneď pred ním slúži na identifikáciu segmentu (napr. NTE.1, OBR.3 a OBX.75)
9. Niektoré sekvencie môžu obsahovať subsekvencie:
 - Položky v rámci subsekvencií sú oddeľované znakom ^ (tzn. ASCII 0x5E)
 - Množstvo a maximálna dĺžka subsekvencií sú určené v definícii sekvencie
 - Prázdne subsekvencie používajú znak ^ ako zástupný symbol
 - Subsekvencia končí oddeľovačom sekvencie (|)
10. Segmenty hlásenia končia znakom LF alebo CR.

Údaje pacienta v hlásení LATITUDE sú usporiadané do štyroch observačných správ: Posledná interogácia, Implantácia, Posledný test elektród v ambulancii a Informácie o elektróde. Observačné správy pozostávajú z jedného segmentu OBR nasledovanom niekoľkými segmentmi OBX.

Hlásenie takisto obsahuje užitočné kontrolné súhrnné údaje vrátane ďalších informácií zo správy Quick Notes systému LATITUDE.

Ďalšie informácie nájdete na obrázku vľavo.

ŠTRUKTÚRA SEGMENTU MSH

Segment MSH obsahuje informácie o odosielateľovi a príjemcovi správy, type hlásenia, časovej známke atď. Predstavuje prvý segment správy ORU.

NÁZOV PRVKU	SEQ	SUB SEQ	DT	LEN	POUŽITIE	CARD	TBL #	ITEM #	PEVNÝ	PRÍKLAD HODNOTY
Oddeľovač poľa	1		ST	1	R	[1..1]		00001	Y	
Kódovacie znaky	2		ST	4	R	[1..1]		00002	Y	^~\&
Odosielajúca aplikácia	3		HD	180	R	[1..1]		00003	Y	LATITUDE
Odosielajúce pracovisko	4		HD	180	R	[1..1]		00004	Y	BOSTON SCIENTIFIC
Prijímajúce pracovisko	6		HD	180	RE	[0..1]		00006		Názov klinického pracoviska
Dátum/čas hlásenia	7		TS	26	R	[1..1]		00007		20060-51015 0057 +0000
Typ hlásenia	9		MSG	15	R	[1..1]		00009		
Kód hlásenia		1	ID	3	R	[1..1]	0076		Y	ORU
Spúšťajúca udalosť		2	ID	3	R	[1..1]	0003		Y	R01
ID kontroly správy		10	ST	20	R	[1..1]		00010		25001-44
ID spracovania		11	ID	1	R	[1..1]	0103	00011		P
ID verzie		12	ID	5	R	[1..1]	0104	00012	Y	2.3.1
Prijatý typ potvrdenia		15	ID	2	R	[1..1]	0155	00015	Y	NE
Znakový súbor		18	ID	6	R	[1..1]	0211	00692		8859/1 UNICODE Pozri poznámku a.
Hlavný jazyk		19	CE	60	R	[0..1]		00693		Pozri poznámku b.
ID jazyka		1	ID	2	R	[0..1]				EN

Názov jazyka		2	ST	50	R	[0..1]				Angličti- na
Kódo- vací systém		3	ST	6	R	[0..1]				ISO639

- a. Identifikátor znakovkej sady bude buď 8859/1, alebo UNICODE, nie však oba. Spoločnosť Boston Scientific si vyhradzuje právo na zmenu znakovkej sady používanej v hlásení HL7. Systém prijímajúci toto hlásenie HL7 by mal skontrolovať MSH.18 a identifikovať tak znakovú sadu používanú v tomto hlásení HL7.
- b. Keď je parameter Hlavný jazyk prázdny, systém predpokladá hodnotu EN^English^ISO639. V opačnom prípade bude identifikovaný jazyk hlásenia.

ŠTRUKTÚRA SEGMENTU PID

Segment PID obsahuje informácie o identifikátoroch pacienta, ako napríklad meno, kódy id, PSČ atď. Tieto informácie slúžia na priradovanie pacientov.

NÁZOV PRVKU	SEQ	SUB SEQ	DT	LEN	POUŽI- TIE	CARD	TBL #	ITEM #	PEVNÝ	PRÍ- KLAD HOD- NOTY
ID sady – PID	1		SI	1	R	[1..1]		00104	Y	1
ID pacien- ta	2		CX	20	R	[1..1]		00105		
ID		1	ST	20	R	[1..1]				42347- 93618 Pozri po- známku a.
Zoznam identifi- kátorov pacien- ta	3		CX	20	R	[1..1]		00106		
Zoznam ID		1	ST	20	R	[1..2]				42347- 93618- ~ab- c1234- 56 Pozri po- známky a, b a c.
Meno pacien- ta	5		XPN	140	R	[0..1]		00108		Pozri po- známku d.
Oslove- nie/titul		1	CM	40	RE	[0..1]				Doe
Krstné meno		2	ST	40	RE	[0..1]				John
Stredné meno alebo jeho iniciála		3	ST	40	RE	[0..1]				Jimmy
Prípona		4	ST	20	RE	[0..1]				Jr.
Repre- zentač- ný kód mena		8	ID	1	O	[0..1]	0465			

Doplnkové meno pacienta	5		XPN	140	R	[0..1]		00108		Pozri poznámku d.
Doplnkové oslovenie/titul		1	CM	40	RE	[0..1]				Smith
Doplnkové krstné meno		2	ST	40	RE	[0..1]				Jack
Doplnkové stredné meno alebo jeho iniciála		3	ST	40	RE	[0..1]				Jackie
Doplnková prípona		4	ST	20	RE	[0..1]				Sr.
Reprezentačný kód mena		8	ID	1	O	[0..1]	0465			P
Dátum narodenia	7		TS	26	RE	[0..1]		00110		19271-209
Pohlavie	8		IS	1	RE	[0..1]	0001	00111		M Pozri poznámku e.
PSČ alebo poštové číslo	11	5	ST	10	RE	[0..1]				55408

- ID pacienta (sekvencia 2) a zoznam identifikátorov pacienta (sekvencia 3) obsahujú unikátne číslo pacienta vygenerované a udržiavané systémom LATITUDE.
- Systém LATITUDE umožňuje klinickému pracovníkovi (voliteľne) pridať svoje vlastné ID pacienta. Voliteľné ID pacienta budú uvedené v exportovanom hlásení HL7. Ak tieto ID pacienta definované klinickým pracovníkom použijete, budú uvedené v zozname identifikátorov pacienta (sekvencia 3) ako text nasledujúci po znaku vlnovky (~).
- Táto tabuľka definuje všetky prvky ID pacienta používané v segmente PID. Keďže je každý záznam pacienta unikátny, hlásenia pacienta nemusia obsahovať všetky vyššie definované prvky ID pacienta.
- V relevantných situáciách bude hlásenie takisto obsahovať informácie o mene pacienta tak, ako je uvedené v tabuľke. Ideografické a fonetické mená budú uvádzané ako zoznam HL7 v sekvencii PID.5. Položky uvedené v tabuľke predstavujú maximálnu sadu informácií, ktorú je možné odoslať.
- Ak nie je pohlavie pacienta známe, systém uvedie hodnotu U.

ŠTRUKTÚRA SEGMENTU NTE

Segment NTE obsahuje výstrahy a udalosti, ku ktorým došlo u daného pacienta. Jedno hlásenie LATITUDE HL7 môže obsahovať až štyri segmenty NTE.

NÁZOV PRVKU	SEQ	SUB SEQ	DT	LEN	POUŽITIE	CARD	TBL #	ITEM #	PEVNÝ	PRÍKLAD HODNOTY
ID sady – NTE	1		SI	1	R	[1..1]		00096		1

Zdroj poznámky	2		ID	8	R	[1..1]		00097	Y	LATI- TUDE
Poznámka	3		FT	65536	R	[1..*]		00098		Pozri popis obsahu v poznámke a.

a. V každom kontrolnom hlásení zariadenia môžu byť 4 segmenty NTE. Systém používa nasledujúce ID sady a popis týchto segmentov:

- ID sady 1 – Tento segment NTE obsahuje správu pozostávajúcu zo súboru výstrah, ku ktorým došlo u daného pacienta. S daným párom pacient/lekár môže byť spojených viac výstrah. Najskôr sú uvádzané všetky červené výstrahy, po nich nasledujú žlté. Sekundárne je zoznam zoradený v každom type výstrahy od najnovších po najstaršie. Systém zobrazí maximálne 255 výstrah.
- ID sady 2 – Tento segment NTE obsahuje informácie o vylúčení záznamov pacienta LATITUDE. Nájde v ňom informácie o osobe, ktorá záznam vylúčila, a dobe, kedy k udalosti došlo.
- ID sady 3 – Tento segment NTE obsahuje správu pozostávajúcu zo súboru udalostí (uložené epizódy), ktoré sú súčasťou načítaných údajov u daného pacienta. S daným párom pacient/lekár môže byť spojených viac udalostí. Udalosti sú zoradené od najnovších po najstaršie, systém uvedie maximálne 255 udalostí. Posledný riadok tohto segmentu bude obsahovať súčty ku každému typu epizódy.
- ID sady 4 – Tento segment NTE obsahuje informácie o abnormalitách v stave zariadenia. Nájde v ňom varovanie a informácie o stave. Ak je tento segment NTE vytvorený, musí byť považovaný za hlásenie vysokej priority a príslušným spôsobom zobrazený koncovému používateľovi.

b. Všetky hlásenia LATITUDE HL7 nemusia obsahovať všetky štyri segmenty NTE.

ŠTRUKTÚRA SEGMENTU PV1

Segment PV1 (návšteva pacienta) obsahuje informácie o ošetrojúcom lekárovi pacienta.

NÁZOV PRVKU	SEQ	SUB SEQ	DT	LEN	POUŽITIE	CARD	TBL #	ITEM #	PEVNÝ	PRÍKLAD HODNOTY
ID sady – PV1	1		SI	4	R	[1..1]		00131	Y	1
Trieda pacienta	2		IS	1	R	[0..1]		00132	Y	R
Ošetrojúci lekár	7		XCN	60	RE	[1..1]		00137		
Číslo ID (ST)		1	ST	10	RE	[1..1]				JHopkins Pozri poznámku a.
Oslovenie/titul		2	CM	40	RE	[1..1]				Hopkins
Krstné meno		3	ST	40	RE	[0..1]				John
Stredné meno alebo jeho iniciála		4	ST	1	RE	[0..1]				L
prípona		5	ST	20	RE	[0..1]				Sr.

a. Číslo ID ošetrojúceho lekára je prihlasovacie meno lekára do systému LATITUDE.

b. Hlásenia nemusia obsahovať všetky vyššie uvedené prvky mena lekára.

ŠTRUKTÚRA SEGMENTU PV2

Segment PV2 (návšteva pacienta 2) obsahuje informácie o pacientovej skupine LATITUDE.

NÁZOV PRVKU	SEQ	SUB SEQ	DT	LEN	POUŽITIE	CARD	TBL #	ITEM #	PEVNÝ	PRÍKLAD HODNOTY
Názov organizácie klinického pracoviska	23		XON	90	O	[0..1]		00724	N	
Názov organizácie (skupiny)		1	ST	87	RE	[0..1]			N	Kardiológia
Číslo ID (pacientova primárna alebo sekundárna skupina)		3	NM	1	RE	[0..1]			N	1 Pozri poznámku b.

a. Segment PV2 je voliteľný, súbor HL7 ho teda nemusí obsahovať.

b. Ak je súbor HL7 asociovaný s primárnou skupinou LATITUDE, bude táto hodnota 1. Ak je asociovaný so sekundárnou skupinou LATITUDE, bude hodnota 2.

ŠTRUKTÚRA SEGMENTU OBR

Segmenty OBR sú hlavičky časti pre individuálne segmenty interogačných informácií OBX.

Obsahujú údaje ako časové známky, identifikátor správy a unikátny identifikátor vygenerovaný systémom.

NÁZOV PRVKU	SEQ	SUB SEQ	DT	LEN	POUŽITIE	CARD	TBL #	ITEM #	PEVNÝ	PRÍKLAD HODNOTY
ID sady – OBR	1		SI	4	R	[1: 1]		00237	Y	1 až 4 Pozri poznámku a
Vyplňovacie číslo príkazu	3		EI	22	R	[1: 1]		00217		
Identifikátor entity		1	ST	15	R	[1: 1]				Unikátny identifikátor Pozri poznámku b
Univerzálne ID služieb	4		CE	200	R	[1: 1]		00238		
Identifikátor		1	ST	50	R	[1: 1]				Boston-Scientific-LastInterrogation

										Pozri po- známku a
Text		2	ST	50	R	[1: 1]				Posled- ná inter- ogácia Pozri po- známku a
Č. dátumu/ času obser- vácie	7		TS	26	R	[1: 1]		00241		20060- 42908- 000 5 +0000
Č. dátumu/ času ukonče- nia obser- vácie	8		TS	26	RE	[0: 1]		00242		20060- 42908- 000 5 +0000
Zadáva- teľ príkazu	16		XCN	120	RE	[0: 1]		00226		
Číslo ID		1	ST	50	RE	[0: 1]				napr. JHop- kins, Cariolo- gy, atď. Pozri po- známku c
Pole umiesť- nováča 1	18		ST	2	R	[1: 1]		00253	Y	DR Pozri po- známku d
Opak./ stav výsled- kov Zmena – dátum/ čas +	22		TS	26	RE	[0: 1]		00255		20060- 42908- 000 5 +0000
Stav výsled- ku +	25		ID	1	R	[1: 1]	0123	00258	Y	F

- Hlásenie LATITUDE ORU obsahuje štyri segmenty OBR (observačná správa). Každý má iné ID sady a univerzálne servisné ID (pozri tabuľku vyššie). Táto OBR obsahuje niekoľko záznamov OBX s observáciami špecifickými pre kontext. Podrobnosti k špecifickým observáciám OBX nájdete v časti Štruktúra segmentu OBX tohto dokumentu.
- Systém LATITUDE vytvára unikátny identifikátor a zapíše ho ako Vypĺňovacie číslo príkazu (OBR.3) vo všetkých štyroch OBR. Identifikátor sa nezmení, ak systém observácie neodosiela ešte raz.
- Zadávatel príkazu (OBR.16) je prihlasovacie meno LATITUDE zodpovedného lekára alebo názvu skupiny pacientov.
- Pole umiestňovacia 1 (OBR.18) je hodnota používaná na identifikáciu typu odosielanej observácie. Parameter je vždy nastavený na hodnotu DR – skratku pre diagnostickú správu.

ID skupiny observačnej správy

ID sady	Názov	Popis	Univerzálny identifikátor ID služieb	Text univerzálneho ID služieb
1	Posledná interogácia	Táto OBR obsahuje observácie poslednej vzdialenej relácie monitorovania.	BostonScientific–LastInterrogation	Last Interrogation

2	Implantát	Táto OBR obsahuje observácie vytvorené v dobe implantácie PG.	BostonScientific–Implant	Implant
3	Posledný test elektród v ambulancii	Táto OBR obsahuje observácie posledného testu elektród v ambulancii.	BostonScientific–LastInOffice	Lead Test: In-Office
4	Informácie o elektródach	Táto OBR obsahuje informácie o implantovaných elektródach.	BostonScientific–Leads	Lead Information

ŠTRUKTÚRA SEGMENTU OBX

Segmenty OBX obsahujú údaje získané pri poslednej interogácii zariadenia.

NÁZOV PRVKU	SEQ	SUB SEQ	DT	LEN	POUŽITIE	CARD	TBL #	ITEM #	PEVNÝ	PRÍKLAD HODNOTY
ID sady – OBX	1		SI	4	R	[1..1]		00569		Po sebe nasledujúce celé čísla od 1
Typ hodnoty	2		ID	2	R	[1..1]	0125	00570		ST alebo NM alebo DT alebo ED Pozri poznámku a
Identifikátor observácie	3		CE	590	R	[1..1]		00571		
Identifikátor		1	ST	80	R	[1..1]				Pozri poznámku b
Text		2	ST	256	R	[1..1]				Pozri poznámku b
Názov kódovacieho systému		3	ST	20	R	[1..1]			Y	GDT LATITUDE
Hodnota observácie	5		--	4000	RE	[0..1]				Pozri poznámku c
Jednotky	6		CE	60	RE	[0..1]				
Identifikátor		1	ST	20	RE	[0..1]				Pozri poznámku d

Stav výsledku observácie	11		ID	1	R	[1..1]	0085	00579	Y	F
Dátum/čas observácie	14		TS	26	C	[0..1]		00582		20060-31717-000 0+0000 Pozri poznámku e

- Typ hodnoty (OBX.2) je formát hlásených údajov: ST – reťazec; NM – číslo; DT – dátum; ED – zapuzdrené údaje.
- Všetky hodnoty sú kódované na základe špecifických pojmov LATITUDE. Tieto pojmy sú definované v časti Definície pojmov LATITUDE HL7 tohto dokumentu.
- Hodnota observácie (OBX.5) predstavuje vlastné hlásené údaje vyjadrené vo formáte špecifikovanom v časti OBX.2. Maximálna dĺžka reťazca je 4 000, prezentujúca správa EGM vo formáte PDF môže však reťazec predĺžiť.
- OBX.6 obsahuje jednotky merania údajov uvádzaných v OBX.5 (v relevantných situáciách). Jednotky merania a desatinné body/čiarky sú lokalizované.
- Parameter Dátum/čas observácie (OBX.14) nie je prázdny, iba ak sa časová známka danej observácie líši od časovej známky uvádzanej v OBR.7. Táto hodnota je podmienená – je vyžadovaná v observačných skupinách OBR-1 a OBR-3, v skupinách OBR-2 a OBR-4 sa však nenachádza.

ŠTRUKTÚRA SEGMENTU ZUX

Segmenty Z sú upravené segmenty používané na prenos informácií špecifických pre systém LATITUDE.

NÁZOV PRVKU	SEQ	SUB SEQ	DT	LEN	POUŽITIE	CARD	TBL #	ITEM #	PEVNÝ	PRÍKLAD HODNOTY
Typ segmentu	1		ST	3	R	[1..1]			Y	ZU1 alebo ZU2 Pozri poznámku a
Hodnota	2		ST	200	R	[1..1]				URL alebo typ správy Pozri poznámku a

- Dva segmenty Z sú:
 - ZU1 – Hodnota obsahuje reťazec URL umožňujúca používateľovi systému prepojiť pacienta v systéme LATITUDE. Ex. <https://www.test.bostonscientific.com/access/physician/patientDetails?id=987654321>
 - ZU2 – Hodnota obsahuje popis a verziu hlásenia LATITUDE. Ex. Verzia 6 súhrnnej správy zariadenia

DEFINÍCIE POJMOV LATITUDE HL7

KAPITOLA 7

Táto kapitola obsahuje nasledujúce témy:

- “Definície pojmov Latitude HL7” na strane 7-2
- “Pojmy OBX používané v skupine OBR–1 (Údaje poslednej interogácie)” na strane 7-2
- “Pojmy OBX používané v skupine OBR–2 (Dátum implantácie)” na strane 7-9
- “Pojmy OBX používané v skupine OBR–3 (Údaje posledného testu elektród v ambulancii)” na strane 7-10
- “Pojmy OBX používané v skupine OBR–4 (Informácie o elektródach)” na strane 7-10

Outdated version. Do not use.
Version überholt. Nicht verwenden.
Version obsolète. Nicht utiliser.
Versión obsoleta. Ne pas utilizar.
Versione obsoleta. No utilizar.
Verouderde versie. Non utilizzare.
Föråldrad version. Använd ej.
Παλιά έκδοση. Μην την χρησιμοποιείτε.
Versão obsoleta. Não utilize.
Forældet version. Må ikke anvendes.
Zastaralá verze. Nepoužívat.
Utdatert versjon. Skal ikke brukes.
Zastaraná verzia. Nepoužívať.
Elavult versio. Ne használja!
Wersja nieaktualna. Nie używać.

DEFINÍCIE POJMOV LATITUDE HL7

Všetky observácie v segmentoch OBX sú kódované na základe špecifických podmienok LATITUDE. V nasledujúcich tabuľkách nájdete kompletný zoznam pojmov OBX používaných v štyroch skupinách OBR. Všetky pojmy nie sú relevantné pre všetky zariadenia. V hláseniach teda nemusíte nutne nájsť všetky z nich.

POJMY OBX POUŽÍVANÉ V SKUPINE OBR-1 (ÚDAJE POSLEDNEJ INTEROGÁCIE)

Jednotlivé správy nemusia obsahovať všetky pojmy

Kód GDT	Názov pojmu	Popis	Typ údajov	Jednotka
GDT-00001	Result Source	Zdroj výsledku identifikuje zdroj údajov (napr. vzdialená interogácia)	ST	
GDT-00002	Device Manufacturer	Názov spoločnosti vyrábajúcej zariadenie	ST	
GDT-00003	Device Type	Typ zariadenia	ST	
GDT-00004	Device Name	Názov zariadenia zvolený výrobcom	ST	
GDT-00005	Device Model Name	Názov modelu zariadenia	ST	
GDT-00006	Device Model Number	Číslo modelu zariadenia	ST	
GDT-00007	Device Serial Number	Výrobné číslo zariadenia	ST	
GDT-00008	Battery Gauge	Percentuálny identifikátor označujúci životnosť batérie	NM	%
GDT-00009	Battery Status	Predstavuje výstrahu alebo upozornenie na aktuálny stav batérie	ST	
GDT-00010	Monitorovanie napätia	Meranie napätia batérie vykonávané implantovaným zariadením.	ST	V
GDT-00011	Charge Time	Čas nabitia posledného reformátovania kondenzátora.	NM	s
GDT-00012	Last Reform	Dátum posledného reformátovania kondenzátora v implantovanom zariadení.	DT	
GDT-00013	VF Episodes	Všetky epizódy komorovej fibrilácie: Počet epizód v najvyššej zóne tachy detegovaných od dátumu Počítadlá od.	ST	
GDT-00014	<ul style="list-style-type: none"> • VT Episodes • Tachy Episodes • VT Episodes (V>A) 	Epizódy VT: Arytmie zóny VT detegované od dátumu Počítadlá od	ST	
GDT-00015	VT-1 Episodes	Epizódy VT-1: Arytmie zóny VT-1 detegované od dátumu Počítadlá od. Názov pojmu bude v závislosti od implantovaného zariadenia uvedený ako epizódy VT alebo epizódy Tachy.	ST	
GDT-00016	<ul style="list-style-type: none"> • Non-Sustained Ventricular Episodes • Non-Sustained Episodes 	Všetky nepretrvávajúce epizódy komorovej tachykardie: Počet nepretrvávajúcich epizód VT detegovaných od dátumu Počítadlá od	ST	
GDT-00017	<ul style="list-style-type: none"> • Prepnutia režimu ATR • ATR Episodes 	Prepnutia režimu ATR: Počet prepnutí režimu detegovaných od dátumu Počítadlá od.	NM	
GDT-00018	Epizódy Afib	Epizódy fibrilácie predsiení: Epizódy fibrilácie predsiení detegované od dátumu Počítadlá od.	NM	

GDT-00019	<ul style="list-style-type: none"> SVT epizódy SVT epizódy (V≤A) 	Epizódy supraventrikulárnej tachykardie (predsieň): Epizódy SVT (AT) detegované od dátumu Počítadlá od.	NM	
GDT-00020	Atrial Percent Paced	Percento pravostrannej predsieňovej stimulácie: Percento pravostranných predsieňových udalostí detegovaných od dátumu Počítadlá od, u ktorých došlo k stimulácii.	NM	%
GDT-00021	RV Percent Paced	Percento pravostrannej komorovej stimulácie: Percento pravostranných komorových udalostí detegovaných od dátumu Počítadlá od, u ktorých došlo k stimulácii.	NM	%
GDT-00022	LV Percent Paced	Percento ľavokomorovej stimulácie: Percento ľavokomorových udalostí detegovaných od dátumu Počítadlá od, u ktorých došlo k stimulácii.	NM	%
GDT-00023	Right Atrial Lead Status	Aktuálny stav elektródy v pravej predsieni zistený zariadením na základe analýzy impedancie a amplitúdy elektródy.	ST	
GDT-00024	RA Intrinsic Amplitude	Vlastná amplitúda v pravej predsieni (vlna P) meraná v priebehu vnútorného testu amplitúdy.	ST	mV
GDT-00025	RA Pace Impedance	Impedancia elektródy v pravej predsieni meraná pri teste impedancie elektród.	ST	Ohmy
GDT-00026	Right Ventricular Lead Status	Aktuálny stav elektródy v pravej komore zistený zariadením na základe analýzy impedancie a amplitúdy elektródy.	ST	
GDT-00027	RV Intrinsic Amplitude	Vlastná amplitúda v pravej komore (vlna R) meraná v priebehu vnútorného testu amplitúdy.	ST	mV
GDT-00028	RV Pace Impedance	Impedancia elektródy v pravej komore meraná pri teste impedancie elektród.	ST	Ohmy
GDT-00029	<ul style="list-style-type: none"> Stav elektródy LV (LK) Left Ventricular Lead Status 	Aktuálny stav ľavokomorovej elektródy zistený zariadením na základe analýzy impedancie a amplitúdy elektródy.	ST	
GDT-00030	LV Intrinsic Amplitude	Vlastná amplitúda v ľavej komore (vlna R) meraná v priebehu vnútorného testu amplitúdy.	ST	mV
GDT-00031	LV Pace Impedance	Impedancia elektródy v ľavej komore meraná pri teste impedancie elektród.	ST	Ohmy
GDT-00032	<ul style="list-style-type: none"> Shock Vector Status Stav impedancie pólu elektródy 	Aktuálny stav vektora výboja zistený zariadením na základe analýzy impedancie.	ST	
GDT-00033	Shock Impedance	Denne meraná impedancia výboja	ST	Ohmy
GDT-00034	<ul style="list-style-type: none"> V-Tachy Mode Therapy 	Režim komorovej liečby	ST	
GDT-00035	A-Tachy Mode	Režim liečby predsieňovej Tachy.	ST	
GDT-00036	Brady Mode	Brady režim (napr. stimulačný režim): Spôsob, ktorým zariadenie poskytuje podporu frekvencie a rytmu.	ST	
GDT-00037	Lower Rate Limit	Spodný limit frekvencie (LRL) je frekvencia, pri ktorej implantované zariadenie stimuluje predsieň a/alebo komoru a nesníma vlastnú aktivitu.	NM	min ⁻¹
GDT-00038	Maximum Tracking Rate	Maximálna frekvencia sledovania: V režimoch DDI a I(R) je maximálna frekvencia sledovania (MTR) maximálna frekvencia, pri ktorej bude komorová stimulácia sledovať 1: 1 nerefraktrénne snímané predsieňové udalosti.	NM	min ⁻¹

GDT-00039	Maximum Sensor Rate	Najrýchlejšia frekvencia stimulácie riadená senzorom, ktorú je možné archivovať v stimulačnom systéme s frekvenčnou adaptáciou.	NM	min ⁻¹
GDT-00040	Sensitivity RA	Citlivosť pravej predsieni: Parameter Citlivosť predsieni označuje najmenší signál, ktorý bude nasnímaný v pravej predsieni. Hodnota môže byť numericky vyjadrená v mV, textový reťazec (nominálna, menšia, väčšia) alebo kombinácia oboch.	ST	mV
GDT-00041	Sensitivity RV	Citlivosť pravej komory: Parameter Citlivosť pravej komory označuje najmenší signál, ktorý bude nasnímaný v pravej komore. Hodnota môže byť numericky vyjadrená v mV, textový reťazec (nominálna, menšia, väčšia) alebo kombinácia oboch.	ST	mV
GDT-00042	Sensitivity LV	Citlivosť ľavej komory: Parameter Citlivosť ľavej komory označuje najmenší signál, ktorý bude nasnímaný v ľavej komore. Hodnota môže byť numericky vyjadrená v mV, textový reťazec (nominálna, menšia, väčšia) alebo kombinácia oboch.	ST	mV
GDT-00043	Paced AV Delay	Hodnota nastavenia oneskorenia AV.	ST	ms
GDT-00044	Sensed AV Offset	Snímaný odstup AV: Odstup AV je skrátený naprogramovaným snímaným odstupom AV po nasnímanej predsieňovej udalosti. Systémy COGNIS, TELIGEN a novšie zariadenia môžu hodnotu zobrazovať, aj keď nie je relevantná pre aktuálny režim programovania.	ST	ms
GDT-00045	AV Search Hysteresis Search Interval	Počet stimulovaných cyklov AV medzi hľadaniami frekvencie A-V	ST	cykly
GDT-00046	Vyhľadávanie hysterezy AV Nárast AV	Percentuálny nárast oneskorenia AV, ktoré bude použité pri ďalšom srdcovom cykle, keď bude aktívna funkcia AV Search. Táto hodnota bude odosiadaná u starších zariadení na výstup ako vhodná. Hodnota GDT-00218 bude odosiadaná u zariadení COGNIS, TELIGEN, PROGENY a INGENIO na výstup ako vhodná.	NM	%
GDT-00047	<ul style="list-style-type: none"> • A-Refractory (PVARP) • A-Refractory 	Pokomorová predsieňová refraktórna perióda (PVARP) je čas po komorovej udalosti (stimulovanej alebo snímanej), kedy aktivita v predsieni neresetuje srdcový cyklus ani nespustí komorový stimul.	ST	ms
GDT-00048	RV-Refractory (RVRP)	Pravokomorová refraktórna perióda je čas po pravostrannej komorovej udalosti (stimulovanej alebo snímanej), kedy snímaná elektrická aktivita v pravej komore neresetuje cykly načasovania.	ST	ms
GDT-00049	LV-Refractory (LVRP)	Ľavokomorová refraktórna perióda (LVRP) je čas po ľavokomorovej udalosti (stimulovanej alebo snímanej), kedy systém nepoužije vnútorné udalosti LV na resetovanie cyklov načasovania.	NM	ms
GDT-00050	LV Protection Period	Ľavokomorová ochranná perióda (LVPP): LVPP je perióda po ľavokomorovej udalosti (stimulovanej alebo snímanej), keď zariadenie nestimuluje ľavú komoru.	NM	ms
GDT-00051	Ventricular Pacing Chamber	Dutina stimulácie: Tento parameter určuje konfiguráciu komorovej stimulácie – ľavostrannú, pravostrannú alebo biventrikulárnu stimuláciu.	ST	
GDT-00052	Ventricular Pacing Chamber LV Offset	Posun medzi aplikáciou stimulačných pulzov RV (PK) a LV (LK). Dôjde k posunu stimulačného pulzu LV (LK) na základe časovania stimulačného pulzu RV (PK). Posun môže mať negatívnu alebo pozitívnu hodnotu.	NM	ms

GDT-00053	Pacing Output – RA	Kombinácia amplitúdy a šírky impulzu pravej predsene.	ST	
GDT-00054	Pacing Output – RV	Kombinácia amplitúdy a šírky impulzu pravej komory.	ST	
GDT-00055	Pacing Output – LV	Kombinácia amplitúdy a šírky impulzu ľavej komory.	ST	
GDT-00056	ATR Mode Switch Mode	Prepnutie režimu ATR: Stimulačný režim bez sledovania sa zmení, keď u pacienta dôjde k predsieňovej tachyarytmii.	ST	
GDT-00057	ATR Mode Switch Rate	Frekvenca reakcie predsieňovej Tachy je frekvencia stimulácie, na ktorú sa režim prepína v novom nastavení liečby.	ST	min ⁻¹
GDT-00058	Zóna AFib	Prah frekvencie AFib: Frekvencia, nad ktorú je interval A-A klasifikovaný v zóne AFib.	ST	min ⁻¹
GDT-00059	Typ ATP1 zóny AFib	Liečba ATP u prvej sady liečby	ST	
GDT-00060	Počet stimulačných dávok ATP1 zóny AFib	Naprogramovaný počet antitachykardických stimulačných dávok do predsieni aplikovaných v zóne AFib implantovaným zariadením v prvej naprogramovanej sade predsieňovej liečby.	ST	
GDT-00061	Typ ATP2 zóny AFib	Liečba ATP u druhej naprogramovanej sady liečby.	ST	
GDT-00062	Počet stimulačných dávok ATP2 zóny AFib	Naprogramovaný počet antitachykardických stimulačných dávok do predsieni aplikovaných v zóne AFib implantovaným zariadením v druhej naprogramovanej sade predsieňovej liečby.	ST	
GDT-00063	Energia 1 výboja zóny AFib	Energia 1 výboja AFib: Množstvo energie aplikovanej v prvom výboji zóny AFib.	ST	J
GDT-00064	Energia 2 výboja zóny AFib	Energia 2 výboja AFib: Množstvo energie aplikovanej v druhom výboji zóny AFib.	ST	J
GDT-00065	Energia 3 výboja zóny AFib	Energia 3 výboja AFib: Množstvo energie aplikovanej v treťom výboji zóny AFib.	ST	J
GDT-00066	Zóna SVT	Frekvenčný prah SVT (AT): Frekvencia, nad ktorú je interval A-A klasifikovaný v zóne SVT (tzn. zóna AT).	NM	min ⁻¹
GDT-00067	Typ ATP1 zóny SVT	Typ antitachykardických stimulačných dávok do predsieni aplikovaných v zóne SVT (tzn. zóna AT) implantovaným zariadením v prvej naprogramovanej sade predsieňovej liečby.	ST	
GDT-00068	Počet stimulačných dávok ATP1 zóny SVT	Počet antitachykardických stimulačných dávok do predsieni aplikovaných v zóne SVT (tzn. zóna AT) implantovaným zariadením v prvej naprogramovanej sade predsieňovej liečby.	ST	
GDT-00069	Typ ATP2 zóny SVT	Typ antitachykardických stimulačných dávok do predsieni aplikovaných v zóne SVT (tzn. zóna AT) implantovaným zariadením v druhej naprogramovanej sade predsieňovej liečby.	ST	
GDT-00070	Počet stimulačných dávok ATP2 zóny SVT	Počet antitachykardických stimulačných dávok do predsieni aplikovaných v zóne SVT (tzn. zóna AT) implantovaným zariadením v druhej naprogramovanej sade predsieňovej liečby.	ST	
GDT-00071	Energia 1 výboja zóny SVT	Energia 1 výboja SVT (AT): Množstvo energie aplikovanej v prvom výboji zóny SVT (tzn. zóna AT).	ST	J
GDT-00072	Energia 2 výboja zóny SVT	Energia 2 výboja SVT (AT): Množstvo energie aplikovanej v druhom výboji zóny SVT (tzn. zóna AT).	ST	J
GDT-00073	Energia 3 výboja zóny SVT	Energia 3 výboja SVT (AT): Množstvo energie aplikovanej v treťom výboji zóny SVT (tzn. zóna AT).	ST	J

GDT-00074	<ul style="list-style-type: none"> VF Zone Shock Zone 	Frekvenčný prah VF: Frekvencia, nad ktorú je interval R-R klasifikovaný v zóne VF.	NM	min ⁻¹
GDT-00075	<ul style="list-style-type: none"> VF Shock 1 Energy Shock Zone Shock Energy 	Energia 1 výboja VF: Množstvo energie aplikovanej v prvom výboji zóny VF.	NM	J
GDT-00076	VF Shock 2 Energy	Energia 2 výboja VF: Množstvo energie aplikovanej v druhom výboji zóny VF.	NM	J
GDT-00077	VF Max Shock Energy	Maximálna energia výboja VF: Množstvo energie aplikovanej v každom ďalšom výboji po druhom výboji zóny VF.	NM	J
GDT-00078	VF Number Of Additional Shocks	Počet ďalších výbojov VF: Počet ďalších výbojov s maximálnou energiou v zóne VF, ktorých aplikácia je naprogramovaná.	NM	
GDT-00079	<ul style="list-style-type: none"> VT Zone Tachy Detection Rate Conditional Shock Zone 	Frekvenčný prah VT: Frekvencia, nad ktorú je interval R-R klasifikovaný v zóne VT.	NM	min ⁻¹
GDT-00080	Typ ATP1 zóny VT	Typ antitachykardických stimulačných dávok do komôr aplikovaných v zóne VT implantovaným zariadením v prvej naprogramovanej sade komorovej liečby.	ST	
GDT-00081	Počet stimulačných dávok ATP1 zóny VT	Počet antitachykardických stimulačných dávok do komôr aplikovaných v zóne VT implantovaným zariadením v prvej naprogramovanej sade komorovej liečby.	ST	
GDT-00082	Typ ATP2 zóny VT	Typ antitachykardických stimulačných dávok do komôr aplikovaných v zóne VT implantovaným zariadením v druhej naprogramovanej sade komorovej liečby.	ST	
GDT-00083	Počet stimulačných dávok ATP2 zóny VT	Počet antitachykardických stimulačných dávok do komôr aplikovaných v zóne VT implantovaným zariadením v druhej naprogramovanej sade komorovej liečby.	ST	
GDT-00084	<ul style="list-style-type: none"> VT Shock 1 Energy Conditional Shock Zone Shock Energy 	Energia 1 výboja VT: Množstvo energie aplikovanej v prvom výboji zóny VT.	ST	J
GDT-00085	VT Shock 2 Energy	Energia 2 výboja VT: Množstvo energie aplikovanej v druhom výboji zóny VT.	ST	J
GDT-00086	VT Max Shock Energy	Maximálna energia výboja VT: Množstvo energie aplikovanej v každom ďalšom výboji po druhom výboji zóny VT.	ST	J
GDT-00087	VT Number Of Additional Max Energy Shocks	Počet ďalších výbojov VT: Počet ďalších výbojov s maximálnou energiou v zóne VT, ktorých aplikácia je naprogramovaná.	NM	
GDT-00088	VT-1 Zone	Frekvenčný prah VT-1: Frekvencia, nad ktorú je interval R-R klasifikovaný v zóne VT-1.	NM	min ⁻¹
GDT-00089	VT-1 ATP1 Type	Typ antitachykardických stimulačných dávok do komôr aplikovaných v zóne VT-1 implantovaným zariadením v prvej sade komorovej liečby.	ST	
GDT-00090	VT-1 ATP1 Number of Bursts	Počet antitachykardických stimulačných dávok do komôr aplikovaných v zóne VT-1 implantovaným zariadením v prvej sade komorovej liečby.	ST	

GDT-00091	VT-1 ATP2 Type	Typ antitachykardických stimulačných dávok do komôr aplikovaných v zóne VT-1 implantovaným zariadením v druhej sade komorovej liečby ATP.	ST	
GDT-00092	VT-1 ATP2 Number of Bursts	Počet antitachykardických stimulačných dávok do komôr aplikovaných v zóne VT-1 implantovaným zariadením v druhej sade komorovej liečby ATP.	ST	
GDT-00093	VT-1 Shock 1 Energy	Energia 1 výboja VT-1: Množstvo energie aplikovanej v prvom výboji zóny VT-1.	ST	J
GDT-00094	VT-1 Shock 2 Energy	Energia 2 výboja VT-1: Množstvo energie aplikovanej v druhom výboji zóny VT-1.	ST	J
GDT-00095	VT-1 Max Shock Energy	Maximálna energia výboja VT-1: Množstvo energie aplikovanej v každom ďalšom výboji po druhom výboji zóny VT-1.	ST	J
GDT-00096	VT-1 Number Of Additional Max Energy Shocks	Počet ďalších výbojov VT-1: Počet výbojov v zóne VT-1, ktorých aplikácia je naprogramovaná.	NM	
GDT-00097	Counters Since	Počiatočný dátum, od ktorého systém zaznamenáva hodnoty počítadiel.	ST	
GDT-00108	Device Implant Date	Dátum implantácie zariadenia <i>POZNÁMKA: Hodnota observácie bude vychádzať z formátu DT alebo bude uvedená ako „N/R“</i>	DT	
GDT-00119	RV Pace Threshold	Minimálna elektrická stimulácia (výstupný impulz kardio stimulátora), ktorá je potrebná, aby bolo možné konzistentne aktivovať depolarizáciu pravej komory (RV (PK)).	ST	
GDT-00190	<ul style="list-style-type: none"> Reverse Mode Switch RYTHMIQ™ 	Alternatívny spôsob, ktorým zariadenie poskytuje podporu frekvencie a rytmu.	ST	
GDT-00191	<ul style="list-style-type: none"> Konfigurácia elektródy RA (PP) Lead Configuration (Pace/Sense) - RA 	Konfigurácia elektródy RA (PP) slúžiacej na stimuláciu a snímanie.	ST	
GDT-00192	<ul style="list-style-type: none"> Konfigurácia elektród RV (PK) Lead Configuration (Pace/Sense) - RV 	Konfigurácia elektródy RV (PK) slúžiacej na stimuláciu a snímanie.	ST	
GDT-00193	<ul style="list-style-type: none"> Konfigurácia elektródy LV (LK) Lead Configuration (Pace/Sense) - LV 	Konfigurácia elektródy LV (LK) slúžiacej na stimuláciu a snímanie.	ST	
GDT-00196	Minimálne trvanie ATR	Minimálne trvanie odpovede na predsieňovú tachykardiu: Najkratšie trvanie epizód odpovede na predsieňovú tachykardiu od dátumu Counters Since.	ST	
GDT-00197	Maximálne trvanie ATR	Maximálne trvanie odpovede na predsieňovú tachykardiu: Maximálne trvanie epizód odpovede na predsieňovú tachykardiu od dátumu Counters Since.	ST	
GDT-00200	Magnet Rate	Očakávaná frekvencia, keď nad zariadenie priložíte magnet – indikátor zostávajúcej životnosti batérie.	NM	min ⁻¹

GDT-00201	Minute Ventilation	Tento parameter nastavuje režim senzora MV na stimuláciu s adaptívnou frekvenciou. Hodnoty môžu byť On, Off, Passive (zap, vyp, pasívna) alebo iba ATR.	ST	
GDT-00207	Accelerometer	Tento parameter nastavuje režim senzora XL na stimuláciu s adaptívnou frekvenciou. Hodnoty môžu byť On, Off, Passive (zap, vyp, pasívna) alebo iba ATR.	ST	
GDT-00212	MRI Protection Mode	Tento parameter informuje o počte spustení ochrany MRI od posledného resetovania implantovaného zariadenia.	NM	
GDT-00213	RA Pace Threshold	Minimálna elektrická stimulácia (výstupný impulz kardiostimulátora), ktorý je potrebný, aby bolo možné konzistentne aktivovať depolarizáciu pravej predsieň (RA (PP)).	ST	
GDT-00216	<ul style="list-style-type: none"> • Ventricular Tachy EGM Storage • Tachy EGM Storage 	Parameter určujúci, či je skladovanie tachy EGM zapnuté alebo vypnuté. Iba zariadenia Brady.	ST	
GDT-00217	VF Zone ATP	Určuje, či je liečba ATP v zóne VF povolená.	ST	
GDT-00218	AV Search Hysteresis AV Delay	Oneskorenie AV, ktoré bude použité pri prechode zariadenia do režimu AV search. Táto hodnota bude odosielaná u zariadení COGNIS, TELIGEN, PROGENTY a INGENIO na výstup ako vhodná. Hodnota GDT-00046 bude odosielaná u starších zariadení na výstup ako vhodná.	NM	ms
GDT-00219	LV Pace Threshold	Minimálna elektrická stimulácia (výstupný impulz kardiostimulátora), ktorá je potrebná, aby bolo možné konzistentne aktivovať depolarizáciu ľavej komory (LV (LK)).	ST	
GDT-00220	Treated Episodes Counter Since Implant	Celkový počet S-ICD liečených epizód od implantácie zariadenia.	NM	
GDT-00221	Treated Episodes Counter Since Last Reset	Celkový počet liečených epizód S-ICD od dátumu Počítadla od.	NM	
GDT-00222	Počítadlo neliečených epizód od implantácie	Celkový počet S-ICD neliečených epizód od implantácie zariadenia.	NM	
GDT-00223	Untreated Episodes Counter Since Last Reset	Celkový počet neliečených epizód S-ICD od dátumu Počítadla od.	NM	
GDT-00224	Počet výbojov aplikovaných od implantácie	Celkový počet výbojov aplikovaných S-ICD od implantácie zariadenia.	NM	
GDT-00225	Number of Shocks Delivered Since Last Reset	Celkový počet výbojov aplikovaných S-ICD od dátumu Počítadla od.	NM	
GDT-00226	Gain Setting	Nastavenia prírastku S-EKG S-ICD.	ST	
GDT-00227	Sensing Configuration	Nastavenia konfigurácie snímania S-ICD.	ST	
GDT-00228	Post Shock Pacing	Nastavenie S-ICD – stimulácia zapnutá/vypnutá po aplikácii výboja.	ST	
GDT-00229	Shock Polarity	Polarita výboja S-ICD.	ST	
GDT-00230	SMART Charge Duration	Trvanie pokročilého nabíjania S-ICD.	NM	s

GDT-00231	SMART Charge Intervals	Interval pokročilého nabíjania S-ICD.	NM	
GDT-01000	Presenting EGM Report	Prezentujúca správa EGM pre aktuálnu interogáciu vo formáte PDF.	ED	

POJMY OBX POUŽÍVANÉ V SKUPINE OBR-2 (DÁTUM IMPLANTÁCIE)

Jednotlivé správy nemusia obsahovať všetky pojmy

Kód GDT	Názov pojmu	Popis	Typ údajov	Jednotka
GDT-00001	Result Source	Zdroj výsledku identifikuje zdroj dátumu (napr. Implant).	ST	
GDT-00002	Device Manufacturer	Názov spoločnosti vyrábajúcej zariadenie.	ST	
GDT-00003	Device Type	Typ zariadenia.	ST	
GDT-00004	Device Name	Názov zariadenia zvolený výrobcom.	ST	
GDT-00005	Device Model Name	Názov modelu zariadenia.	ST	
GDT-00006	Device Model Number	Číslo modelu zariadenia.	ST	
GDT-00007	Device Serial Number	Výrobné číslo zariadenia	ST	
GDT-00098	RA Intrinsic Amplitude	Vlastná amplitúda v pravej predsieni (vlna P) meraná v priebehu vnútorného testu amplitúdy.	ST	mV
GDT-00099	RA Pace Impedance	Impedancia elektródy v pravej predsieni meraná pri teste impedancie elektród.	ST	Ohmy
GDT-00100	RA Pace Threshold	Minimálna elektrická stimulácia (výstupný impulz kardiostimulátora), ktorá je potrebná, aby bolo možné konzistentne aktivovať depolarizáciu pravej predsieni.	ST	
GDT-00101	RV Intrinsic Amplitude	Vlastná amplitúda v pravej komore (vlna R) meraná v priebehu vnútorného testu amplitúdy.	ST	mV
GDT-00102	RV Pace Impedance	Impedancia elektródy v pravej komore meraná pri teste impedancie elektród.	ST	Ohmy
GDT-00103	RV Pace Threshold	Minimálna elektrická stimulácia (stimulačný výstupný impulz), ktorá je potrebná, aby bolo možné konzistentne aktivovať depolarizáciu pravej komory.	ST	
GDT-00104	LV Intrinsic Amplitude	Vlastná amplitúda v ľavej komore (vlna R) meraná v priebehu vnútorného testu amplitúdy.	ST	mV
GDT-00105	LV Pace Impedance	Impedancia elektródy v ľavej komore meraná pri teste impedancie elektród.	ST	Ohmy
GDT-00106	LV Pace Threshold	Minimálna elektrická stimulácia (stimulačný výstupný impulz), ktorá je potrebná, aby bolo možné konzistentne aktivovať depolarizáciu ľavej komory.	ST	
GDT-00107	Shock Impedance	Impedancia elektródy pri poslednom aplikovanom komorovom výboji: Impedancia výboja pri poslednom aplikovanom komorovom výboji.	ST	Ohmy
GDT-00108	Device Implant Date	Dátum implantácie zariadenia <i>POZNÁMKA: Hodnota observácie bude vychádzať z formátu DT alebo bude uvedená ako „N/R“.</i>	DT	

POJMY OBX POUŽÍVANÉ V SKUPINE OBR-3 (ÚDAJE POSLEDNÉHO TESTU ELEKTRÓD V AMBULANCIÍ)

Jednotlivé správy nemusia obsahovať všetky pojmy

Kód GDT	Názov pojmu	Popis	Typ údajov	Jednotka
GDT-00001	Result Source	Zdroj výsledku identifikuje zdroj údajov (napr. test elektród: In-Office).	ST	
GDT-00002	Device Manufacturer	Názov spoločnosti vyrábajúcej zariadenie.	ST	
GDT-00003	Device Type	Typ zariadenia.	ST	
GDT-00004	Device Name	Názov zariadenia zvolený výrobcom.	ST	
GDT-00005	Device Model Name	Názov modelu zariadenia.	ST	
GDT-00006	Device Model Number	Číslo modelu zariadenia.	ST	
GDT-00007	Device Serial Number	Výrobné číslo zariadenia.	ST	
GDT-00108	Device Implant Date	Dátum implantácie zariadenia <i>POZNÁMKA: Hodnota observácie bude vychádzať z formátu DT alebo bude uvedená ako „N/R“.</i>	DT	
GDT-00109	RA Intrinsic Amplitude	Vlastná amplitúda v pravej predsieni (vlna P) meraná v priebehu vnútorného testu amplitúdy.	ST	mV
GDT-00110	RA Pace Impedance	Impedancia elektródy v pravej predsieni meraná pri teste impedancie elektród.	ST	Ohmy
GDT-00111	RA Pace Threshold	Minimálna elektrická stimulácia (výstupný impulz kardiostimulátora), ktorá je potrebná, aby bolo možné konzistentne aktivovať depolarizáciu pravej predsieni.	ST	
GDT-00112	RV Intrinsic Amplitude	Vlastná amplitúda v pravej komore (vlna R) meraná v priebehu vnútorného testu amplitúdy.	ST	mV
GDT-00113	RV Pace Impedance	Impedancia elektródy v pravej komore meraná pri teste impedancie elektród.	ST	Ohmy
GDT-00114	RV Pace Threshold	Minimálna elektrická stimulácia (stimulačný výstupný impulz), ktorá je potrebná, aby bolo možné konzistentne aktivovať depolarizáciu pravej komory.	ST	
GDT-00115	LV Intrinsic Amplitude	Vlastná amplitúda v ľavej komore (vlna R) meraná v priebehu vnútorného testu amplitúdy.	ST	mV
GDT-00116	LV Pace Impedance	Impedancia elektródy v ľavej komore meraná pri teste impedancie elektród.	ST	Ohmy
GDT-00117	LV Pace Threshold	Minimálna elektrická stimulácia (stimulačný výstupný impulz), ktorá je potrebná, aby bolo možné konzistentne aktivovať depolarizáciu ľavej komory.	ST	
GDT-00118	Shock Impedance	Impedancia elektródy pri poslednom aplikovanom komorovom výboji: Impedancia výboja pri poslednom aplikovanom komorovom výboji.	ST	Ohmy

POJMY OBX POUŽÍVANÉ V SKUPINE OBR-4 (INFORMÁCIE O ELEKTRÓDACH)

Jednotlivé správy nemusia obsahovať všetky pojmy

Kód GDT	Názov pojmu (Pozri poznámku a.)	Popis	Typ údajov	Jed- notka
GDT-00120	Elektróda 1: Implant Date	Dátum implantácie elektródy.	DT	
GDT-00121	Elektróda 1: Manufacturer	Výrobca elektródy.	ST	
GDT-00122	Elektróda 1: Model Number	Model elektródy.	ST	
GDT-00123	Elektróda 1: Serial Number	Výrobné číslo elektródy.	ST	
GDT-00124	Elektróda 1: Polarity	Polarita elektródy.	ST	
GDT-00125	Elektróda 1: Position	Pozícia elektródy.	ST	
GDT-00126	Elektróda 1: Status	Stav elektródy.	ST	
GDT-00130	Elektróda 2: Implant Date	Dátum implantácie elektródy.	DT	
GDT-00131	Elektróda 2: Manufacturer	Výrobca elektródy.	ST	
GDT-00132	Elektróda 2: Model Number	Model elektródy.	ST	
GDT-00133	Elektróda 2: Serial Number	Výrobné číslo elektródy.	ST	
GDT-00134	Elektróda 2: Polarity	Polarita elektródy.	ST	
GDT-00135	Elektróda 2: Position	Pozícia elektródy.	ST	
GDT-00136	Elektróda 2: Status	Stav elektródy.	ST	
GDT-00140	Elektróda 3: Implant Date	Dátum implantácie elektródy.	DT	
GDT-00141	Elektróda 3: Manufacturer	Výrobca elektródy.	ST	
GDT-00142	Elektróda 3: Model Number	Model elektródy.	ST	
GDT-00143	Elektróda 3: Serial Number	Výrobné číslo elektródy.	ST	
GDT-00144	Elektróda 3: Polarity	Polarita elektródy.	ST	
GDT-00145	Elektróda 3: Position	Pozícia elektródy.	ST	
GDT-00146	Elektróda 3: Status	Stav elektródy.	ST	
GDT-00150	Elektróda 4: Implant Date	Dátum implantácie elektródy.	DT	
GDT-00151	Elektróda 4: Manufacturer	Výrobca elektródy.	ST	
GDT-00152	Elektróda 4: Model Number	Model elektródy.	ST	
GDT-00153	Elektróda 4: Serial Number	Výrobné číslo elektródy.	ST	
GDT-00154	Elektróda 4: Polarity	Polarita elektródy.	ST	
GDT-00155	Elektróda 4: Position	Pozícia elektródy.	ST	
GDT-00156	Elektróda 4: Status	Stav elektródy.	ST	
GDT-00160	Elektróda 5: Implant Date	Dátum implantácie elektródy.	DT	
GDT-00161	Elektróda 5: Manufacturer	Výrobca elektródy.	ST	
GDT-00162	Elektróda 5: Model Number	Model elektródy.	ST	

GDT-00163	Elektróda 5: Serial Number	Výrobné číslo elektródy.	ST	
GDT-00164	Elektróda 5: Polarity	Polarita elektródy.	ST	
GDT-00165	Elektróda 5: Position	Pozícia elektródy.	ST	
GDT-00166	Elektróda 5: Status	Stav elektródy.	ST	
GDT-00170	Elektróda 6: Implant Date	Dátum implantácie elektródy.	DT	
GDT-00171	Elektróda 6: Manufacturer	Výrobca elektródy.	ST	
GDT-00172	Elektróda 6: Model Number	Model elektródy.	ST	
GDT-00173	Elektróda 6: Serial Number	Výrobné číslo elektródy.	ST	
GDT-00174	Elektróda 6: Polarity	Polarita elektródy.	ST	
GDT-00175	Elektróda 6: Position	Pozícia elektródy.	ST	
GDT-00176	Elektróda 6: Status	Stav elektródy.	ST	
GDT-00180	Elektróda 7: Implant Date	Dátum implantácie elektródy.	DT	
GDT-00181	Elektróda 7: Manufacturer	Výrobca elektródy.	ST	
GDT-00182	Elektróda 7: Model Number	Model elektródy.	ST	
GDT-00183	Elektróda 7: Serial Number	Výrobné číslo elektródy.	ST	
GDT-00184	Elektróda 7: Polarity	Polarita elektródy.	ST	
GDT-00185	Elektróda 7: Position	Pozícia elektródy.	ST	
GDT-00186	Elektróda 7: Status	Stav elektródy.	ST	

a. Prehľadanie elektródy.x môže a nemusí byť povolené, závisí to od verzie systému.

PRÍKLAD SÚBORU HL7

KAPITOLA 8

Táto kapitola obsahuje nasledujúce témy:

- “Príklad súboru HL7” na strane 8-2
- “Ukážkové Hlásenie 1 – Zariadenie S S-ICD” na strane 8-2
- “Ukážkové Hlásenie 2 – Iné Zariadenia (Bez S-ICD)” na strane 8-3

Outdated version. Do not use.
Version überholt. Nicht verwenden.
Version obsolete. Ne pas utiliser.
Versión obsoleta. No utilizar.
Versione obsoleta. Non utilizzate.
Verouderde versie. Niet gebruiken.
Föråldrad version. Använd ej.
Παλιά έκδοση. Μην την χρησιμοποιείτε.
Versão obsoleta. Não utilize.
Forældet version. Må ikke anvendes.
Zastaralá verzia. Nepoužívať.
Utdatert versjon. Skal ikke brukes.
Zastaraná verzia. Nepoužívať.
Elavult verzió. Ne használja!
Wersja nieaktualna. Nie używać.

PRÍKLAD SÚBORU HL7

Nasledujúce príklady súboru HL7 ukazujú, ako by mohlo vyzerat' hlásenie LATITUDE HL7. Uvádžeme iba dva príklady, možných výsledkov je veľa. Údaje v týchto ukázkových hláseniach sú hypotetické. Neobsahuje všetky pojmy LATITUDE HL7.

UKÁŽKOVÉ HLÁSENIE 1 – ZARIADENIE S S-ICD

```
MSH|^~\&|LATITUDE|BOSTON SCIENTIFIC||Test Clinic|20150209214153+0000||
ORU^R01|1000000138|P|2.3.1|||NE|||UNICODE/1|en^English^ISO639
PID|1|1000000009|1000000009~PID_001||Smith^Joe||20150101|U
NTE|1|LATITUDE|.br\My Alerts.br\-----\br\Jan 26, 2015
10:07 CST - Yellow Alert - Untreated episode.\br\Jan 26, 2015 10:04 CST -
Yellow Alert - Shock therapy delivered to convert arrhythmia (treated episode).
NTE|3|LATITUDE|.br\Jan 26, 2015 10:07 CST Untreated.br\Jan 26, 2015 10:04 CST
Treated, Shock Impedance: 77 Ohms.br\
PV1||R
PV2|||||Test Clinic group^^1
OBR|1||1000000013|BostonScientific-LastInterrogation^Last Interrogation||
201501261012-0600|201501261012-0600|||DR|||201501261012-0600||F
OBX|1|ST|GDT-00001^Result Source^GDT-LATITUDE||Remote Interrogation|||F
OBX|2|ST|GDT-00002^Device Manufacturer^GDT-LATITUDE||BOSTON SCIENTIFIC|||F
OBX|3|ST|GDT-00003^Device Type^GDT-LATITUDE||S-ICD|||F
OBX|4|ST|GDT-00004^Device Name^GDT-LATITUDE|||F
OBX|5|ST|GDT-00005^Device Model Name^GDT-LATITUDE||EMBLEM S-ICD|||F
OBX|6|ST|GDT-00006^Device Model Number^GDT-LATITUDE||A209|||F
OBX|7|ST|GDT-00007^Device Serial Number^GDT-LATITUDE||100564|||F
OBX|8|DT|GDT-00108^Device Implant Date^GDT-LATITUDE||20150126|||F
OBX|9|ED|GDT-01000^Presenting S-ECG Report^GDT-LATITUDE||Application^PDF^^Base64^
{encoded PDF here}|||F||201501261012-0600
OBX|10|ST|GDT-00009^Battery Status^GDT-LATITUDE||OK|||F
OBX|11|NM|GDT-00008^Battery Gauge^GDT-LATITUDE||98|||F
OBX|12|ST|GDT-00034^Therapy^GDT-LATITUDE||ON|||F
OBX|13|NM|GDT-00074^Shock Zone^GDT-LATITUDE||220|bpm|||F
OBX|14|NM|GDT-00075^Shock Zone Shock Energy^GDT-LATITUDE||80|J|||F
OBX|15|NM|GDT-00079^Conditional Shock Zone^GDT-LATITUDE||200|bpm|||F
OBX|16|NM|GDT-00084^Conditional Shock Zone Shock Energy^GDT-LATITUDE||80|J|||F
OBX|17|ST|GDT-00229^Shock Polarity^GDT-LATITUDE||REV|||F
OBX|18|NM|GDT-00230^SMART Charge Duration^GDT-LATITUDE||204.69|s|||F
OBX|19|NM|GDT-00231^SMART Charge Intervals^GDT-LATITUDE||133|||F
OBX|20|ST|GDT-00226^Gain Setting^GDT-LATITUDE||1X|||F
OBX|21|ST|GDT-00227^Sensing Configuration^GDT-LATITUDE||Alternate|||F
OBX|22|ST|GDT-00228^Post Shock Pacing^GDT-LATITUDE||ON|||F
OBX|23|ST|GDT-00097^Counters Since^GDT-LATITUDE||20150126|||F
OBX|24|NM|GDT-00220^Treated Episodes Counter Since Implant^GDT-LATITUDE||1|||F
OBX|25|NM|GDT-00221^Treated Episodes Counter Since Last Reset^GDT-LATITUDE||1|||F
OBX|26|NM|GDT-00222^Untreated Episodes Counter Since Implant^GDT-LATITUDE||1|||F
OBX|27|NM|GDT-00223^Untreated Episodes Counter Since Last Reset^GDT-LATITUDE||1|||F
OBX|28|NM|GDT-00224^Number of Shocks Delivered Since Implant^GDT-LATITUDE||1|||F
OBX|29|NM|GDT-00225^Number of Shocks Delivered Since Last Reset^GDT-LATITUDE||1|||F
OBX|30|ST|GDT-00032^Electrode Impedance Status^GDT-LATITUDE||OK|||F
OBR|4||1000000013|BostonScientific-Leads^Lead Information|||201501261012-0600|
201501261012-0600|||DR|||201501261012-0600||F
OBX|1|ST|GDT-00121^Manufacturer^GDT-LATITUDE||BOSTON SCIENTIFIC|||F
OBX|2|ST|GDT-00122^Model Number^GDT-LATITUDE||1030|||F
OBX|3|ST|GDT-00123^Serial Number^GDT-LATITUDE||A123456|||F
ZU1|https://www.was1.bostonscientific.com/clinic/emr/patient?id=123456789
ZU2|Device Summary Report Version 6
```


UKÁŽKOVÉ HLÁSENIE 2 – INÉ ZARIADENIA (BEZ S-ICD)

```

MSH|^~\&|LATITUDE|BOSTON SCIENTIFIC||Lakeview Drive No 2
Clinic|20100507203115+0000||ORU^R01|2500021|P|2.3.1|||NE|||UNICODE|EN^English^ISO639|
PID|1|7066374|7066374~CCa9972||Carroll^Carter_1^^||19490329|M|||^^^0BT19|||
NTE|1|LATITUDE|\br\My Alerts\br\-----\br\05 May 2010-Device
parameter error. Print Device Settings report and review parameters. Contact LATITUDE
Customer Support.\br\05 May 2010-High atrial pacing lead impedance detected. Schedule
in-office follow-up to evaluate atrial pacing lead.\br\
NTE|2|LATITUDE|Dismissed from Review List in LATITUDE by Terrill, Clementina_uk (CTe4276)
on 07 May 2010 at 22:31 CEST|
NTE|3|LATITUDE|\br\Events Since Last Follow-up(06 Jan 2010)\br\-----
----\br\
PV1|1|R|||CTe4276^Terrill^Clementina_uk^^|
OBR|1||2500092|BostonScientific-LastInterrogation^Last
Interrogation|||20100505084709+0000|20100505084709+0000|||CTe4276|DR|||20100505
084709+0000||F|
OBX|1|ST|GDT-00001^Result Source^GDT-LATITUDE||Remote Interrogation|||F||
OBX|2|ST|GDT-00002^Device Manufacturer^GDT-LATITUDE||BOSTON SCIENTIFIC|||F||
OBX|3|ST|GDT-00003^Device Type^GDT-LATITUDE||CRT-D|||F||
OBX|4|ST|GDT-00004^Device Name^GDT-LATITUDE|||F||
OBX|5|ST|GDT-00005^Device Model Name^GDT-LATITUDE||COGNIS_100-D|||F||
OBX|6|ST|GDT-00006^Device Model Number^GDT-LATITUDE||P106|||F||
OBX|7|ST|GDT-00007^Device Serial Number^GDT-LATITUDE||715154|||F||
OBX|8|DT|GDT-00108^Device Implant Date^GDT-LATITUDE||20090505|||F||
OBX|9|NM|GDT-00008^Battery Gauge^GDT-LATITUDE||0%|||F||
OBX|10|ST|GDT-00009^Battery Status^GDT-LATITUDE||OK Approximate time to explant: N/
R|||F||
OBX|11|NM|GDT-00011^Charge Time^GDT-LATITUDE||N/R/s|||F||
OBX|12|DT|GDT-00012^Last Capacitor Re-form^GDT-LATITUDE||N/R|||F||
OBX|13|ST|GDT-00097^Counters Since^GDT-LATITUDE||20100106|||F||
OBX|14|ST|GDT-00013^VF Episodes^GDT-LATITUDE||0|||F||
OBX|15|ST|GDT-00014^VT Episodes^GDT-LATITUDE||0|||F||
OBX|16|ST|GDT-00015^VT-1 Episodes^GDT-LATITUDE||0|||F||
OBX|17|ST|GDT-00016^Non-Sustained Ventricular Episodes^GDT-LATITUDE||0|||F||
OBX|18|NM|GDT-00020^Atrial Percent Paced^GDT-LATITUDE||0%|||F||
OBX|19|NM|GDT-00021^RV Percent Paced^GDT-LATITUDE||0%|||F||
OBX|20|NM|GDT-00022^LV Percent Paced^GDT-LATITUDE||0%|||F||
OBX|21|ST|GDT-00023^Right Atrial Lead Status^GDT-LATITUDE||OK|||F||
OBX|22|ST|GDT-00024^RA Intrinsic Amplitude^GDT-LATITUDE||mV|||F||
OBX|23|ST|GDT-00025^RA Pace Impedance^GDT-LATITUDE||Ohms|||F||
OBX|24|ST|GDT-00026^Right Ventricular Lead Status^GDT-LATITUDE||OK|||F||
OBX|25|ST|GDT-00027^RV Intrinsic Amplitude^GDT-LATITUDE||mV|||F||
OBX|26|ST|GDT-00028^RV Pace Impedance^GDT-LATITUDE||Ohms|||F||
OBX|27|ST|GDT-00029^LV Lead Status^GDT-LATITUDE||OK|||F||
OBX|28|ST|GDT-00030^LV Intrinsic Amplitude^GDT-LATITUDE||mV|||F||
OBX|29|ST|GDT-00031^LV Pace Impedance^GDT-LATITUDE||Ohms|||F||
OBX|30|ST|GDT-00032^Shock Vector Status^GDT-LATITUDE||OK|||F||
OBX|31|ST|GDT-00033^Shock Impedance^GDT-LATITUDE||Ohms|||F||
OBX|32|ST|GDT-00034^V-Tachy Mode^GDT-LATITUDE||Monitor + Therapy|||F||
OBX|33|ST|GDT-00036^Brady Mode^GDT-LATITUDE||DDDR|||F||
OBX|34|NM|GDT-00037^Lower Rate Limit^GDT-LATITUDE||100|min-1|||F||
OBX|35|NM|GDT-00038^Maximum Tracking Rate^GDT-LATITUDE||110|min-1|||F||
OBX|36|NM|GDT-00039^Maximum Sensor Rate^GDT-LATITUDE||110|min-1|||F||
OBX|37|ST|GDT-00040^Sensitivity RA^GDT-LATITUDE||AGC 0.25|mV|||F||
OBX|38|ST|GDT-00041^Sensitivity RV^GDT-LATITUDE||AGC 0.6|mV|||F||
OBX|39|ST|GDT-00042^Sensitivity LV^GDT-LATITUDE||AGC 1.0|mV|||F||
OBX|40|ST|GDT-00043^Paced AV Delay^GDT-LATITUDE||30 - 300|ms|||F||
OBX|41|ST|GDT-00044^Sensed AV Offset^GDT-LATITUDE||-60|ms|||F||
    
```

```

OBX|42|ST|GDT-00047^A-Refractory (PVARP)^GDT-LATITUDE||150 - 450|ms||||F||
OBX|43|ST|GDT-00048^RV-Refractory (RVRP)^GDT-LATITUDE||150 - 450|ms||||F||
OBX|44|NM|GDT-00049^LV-Refractory (LVRP)^GDT-LATITUDE||250|ms||||F||
OBX|45|NM|GDT-00050^LV Protection Period^GDT-LATITUDE||400|ms||||F||
OBX|46|ST|GDT-00051^Ventricular Pacing Chamber^GDT-LATITUDE||BiV||||F||
OBX|47|NM|GDT-00052^Ventricular Pacing Chamber LV Offset^GDT-LATITUDE||0|ms||||F||
OBX|48|ST|GDT-00053^Pacing Output - RA^GDT-LATITUDE||3.5 V @ 0.4 ms||||F||
OBX|49|ST|GDT-00054^Pacing Output - RV^GDT-LATITUDE||3.5 V @ 0.4 ms||||F||
OBX|50|ST|GDT-00055^Pacing Output - LV^GDT-LATITUDE||3.5 V @ 0.4 ms||||F||
OBX|51|ST|GDT-00191^Lead Configuration (Pace/Sense) - RA^GDT-LATITUDE||Bipolar||||F||
OBX|52|ST|GDT-00192^Lead Configuration (Pace/Sense) - RV^GDT-LATITUDE||Bipolar||||F||
OBX|53|ST|GDT-00193^Lead Configuration (Pace/Sense) - LV^GDT-LATITUDE||||F||
OBX|54|ST|GDT-00056^ATR Mode Switch Mode^GDT-LATITUDE||DDI||||F||
OBX|55|ST|GDT-00057^ATR Mode Switch Rate^GDT-LATITUDE||170|min-1||||F||
OBX|56|NM|GDT-00074^VF Zone^GDT-LATITUDE||180|min-1||||F||
OBX|57|NM|GDT-00075^VF Shock 1 Energy^GDT-LATITUDE||41|J||||F||
OBX|58|NM|GDT-00076^VF Shock 2 Energy^GDT-LATITUDE||41|J||||F||
OBX|59|NM|GDT-00077^VF Max Shock Energy^GDT-LATITUDE||41|J||||F||
OBX|60|NM|GDT-00078^VF Number Of Additional Shocks^GDT-LATITUDE||6||||F||
OBX|61|NM|GDT-00079^VT Zone^GDT-LATITUDE||160|min-1||||F||
OBX|62|ST|GDT-00080^VT Zone ATP1 Type^GDT-LATITUDE||Off||||F||
OBX|63|ST|GDT-00081^VT Zone ATP1 Number of Bursts^GDT-LATITUDE||Off||||F||
OBX|64|ST|GDT-00082^VT Zone ATP2 Type^GDT-LATITUDE||Off||||F||
OBX|65|ST|GDT-00083^VT Zone ATP2 Number of Bursts^GDT-LATITUDE||Off||||F||
OBX|66|ST|GDT-00084^VT Shock 1 Energy^GDT-LATITUDE||0.1|J||||F||
OBX|67|ST|GDT-00085^VT Shock 2 Energy^GDT-LATITUDE||0.1|J||||F||
OBX|68|ST|GDT-00086^VT Max Shock Energy^GDT-LATITUDE||J||||F||
OBX|69|NM|GDT-00088^VT-1 Zone^GDT-LATITUDE||140|min-1||||F||
OBX|70|ST|GDT-00089^VT-1 ATP1 Type^GDT-LATITUDE||Off||||F||
OBX|71|ST|GDT-00090^VT-1 ATP1 Number of Bursts^GDT-LATITUDE||Off||||F||
OBX|72|ST|GDT-00091^VT-1 ATP2 Type^GDT-LATITUDE||Off||||F||
OBX|73|ST|GDT-00092^VT-1 ATP2 Number of Bursts^GDT-LATITUDE||Off||||F||
OBX|74|ST|GDT-00093^VT-1 Shock 1 Energy^GDT-LATITUDE||0.1|J||||F||
OBX|75|ST|GDT-00094^VT-1 Shock 2 Energy^GDT-LATITUDE||0.1|J||||F||
OBX|76|ST|GDT-00095^VT-1 Max Shock Energy^GDT-LATITUDE||Off|J||||F||
OBX|77|NM|GDT-00096^VT-1 Number Of Additional Max Energy Shocks^GDT-LATITUDE||3||||F||
OBR|2||2500092|BostonScientific-
Implant^Implant||20090505|20090505|||||CTe4276||DR||20090505||F|
OBX|1|ST|GDT-00001^Result Source^GDT-LATITUDE||Implant||||F||
OBX|2|ST|GDT-00002^Device Manufacturer^GDT-LATITUDE||BOSTON SCIENTIFIC||||F||
OBX|3|ST|GDT-00003^Device Type^GDT-LATITUDE||CRT-D||||F||
OBX|4|ST|GDT-00004^Device Name^GDT-LATITUDE||||F||
OBX|5|ST|GDT-00005^Device Model Name^GDT-LATITUDE||COGNIS 100-D||||F||
OBX|6|ST|GDT-00006^Device Model Number^GDT-LATITUDE||P106||||F||
OBX|7|ST|GDT-00007^Device Serial Number^GDT-LATITUDE||715154||||F||
OBX|8|DT|GDT-00108^Device Implant Date^GDT-LATITUDE||20090505||||F||
OBX|9|ST|GDT-00098^RA Intrinsic Amplitude^GDT-LATITUDE||mV||||F||
OBX|10|ST|GDT-00099^RA Pace Impedance^GDT-LATITUDE||Ohms||||F||
OBX|11|ST|GDT-00100^RA Pace Threshold^GDT-LATITUDE||V @ ms||||F||
OBX|12|ST|GDT-00101^RV Intrinsic Amplitude^GDT-LATITUDE||mV||||F||
OBX|13|ST|GDT-00102^RV Pace Impedance^GDT-LATITUDE||Ohms||||F||
OBX|14|ST|GDT-00103^RV Pace Threshold^GDT-LATITUDE||V @ ms||||F||
OBX|15|ST|GDT-00104^LV Intrinsic Amplitude^GDT-LATITUDE||mV||||F||
OBX|16|ST|GDT-00105^LV Pace Impedance^GDT-LATITUDE||Ohms||||F||
OBX|17|ST|GDT-00106^LV Pace Threshold^GDT-LATITUDE||V @ ms||||F||
OBX|18|ST|GDT-00107^Shock Impedance^GDT-LATITUDE||Ohms||||F||
OBR|3||2500092|BostonScientific-LastInOffice^Lead Test: In-
Office|||||CTe4276||DR||||F|
OBX|1|ST|GDT-00001^Result Source^GDT-LATITUDE||Lead Test: In-Office||||F||

```

```

OBX|2|ST|GDT-00002^Device Manufacturer^GDT-LATITUDE||BOSTON SCIENTIFIC|||||F||
OBX|3|ST|GDT-00003^Device Type^GDT-LATITUDE||CRT-D|||||F||
OBX|4|ST|GDT-00004^Device Name^GDT-LATITUDE|||||||F||
OBX|5|ST|GDT-00005^Device Model Name^GDT-LATITUDE||COGNIS 100-D|||||F||
OBX|6|ST|GDT-00006^Device Model Number^GDT-LATITUDE||P106|||||F||
OBX|7|ST|GDT-00007^Device Serial Number^GDT-LATITUDE||715154|||||F||
OBX|8|DT|GDT-00108^Device Implant Date^GDT-LATITUDE||20090505|||||F||
OBX|9|ST|GDT-00109^RA Intrinsic Amplitude^GDT-LATITUDE||<0.1|mV|||||F||||
OBX|10|ST|GDT-00110^RA Pace Impedance^GDT-LATITUDE||<200|Ohms|||||F||||
OBX|11|ST|GDT-00111^RA Pace Threshold^GDT-LATITUDE||N/R|||||F||||
OBX|12|ST|GDT-00112^RV Intrinsic Amplitude^GDT-LATITUDE||<0.1|mV|||||F||||
OBX|13|ST|GDT-00113^RV Pace Impedance^GDT-LATITUDE||<200|Ohms|||||F||||
OBX|14|ST|GDT-00114^RV Pace Threshold^GDT-LATITUDE||N/R|||||F||||
OBX|15|ST|GDT-00115^LV Intrinsic Amplitude^GDT-LATITUDE||<0.1|mV|||||F||||
OBX|16|ST|GDT-00116^LV Pace Impedance^GDT-LATITUDE||<200|Ohms|||||F||||
OBX|17|ST|GDT-00117^LV Pace Threshold^GDT-LATITUDE||N/R|||||F||||
OBX|18|ST|GDT-00118^Shock Impedance^GDT-LATITUDE||<20|Ohms|||||F||||
OBR|4||2500092|BostonScientific-Leads^Lead
Information||||20100507203115+0000|20100507203115+0000|||||||CTe4276||DR||||2010050720
3115+0000||||F|
ZU1|https://www.was1.bostonscientific.com:558/access/physician/patientDetails?id=7066374|
ZU2|Device Summary Report Version 3|




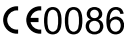
```

Outdated version. Do not use.
 Version überholt. Nicht verwenden.
 Version obsolete. Ne pas utiliser.
 Versión obsoleta. No utilizar.
 Versiões obsoletas. Não utilizar.
 Verouderde versie. Niet gebruiken.
 Föråldrad version. Använd ej.
 Παλιά έκδοση. Μην την χρησιμοποιείτε.
 Versão obsoleta. Não utilize.
 Forældet version. Skal ikke anvendes.
 Zastaralá verze. Nepoužívat.
 Utdatert versjon. Skal ikke brukes.
 Zastaraná verzia. Nepoužívať.
 Elavult verzió. Ne használja!
 Wersja nieaktualna. Nie używać.

Outdated version. Do not use.
Version überholt. Nicht verwenden.
Version obsolète. Ne pas utiliser.
Versión obsoleta. No utilizar.
Versione obsoleta. Non utilizzare.
Verouderde versie. Niet gebruiken.
Föråldrad version. Använd ej.
Παλιά έκδοση. Μην την χρησιμοποιείτε.
Versão obsoleta. Não utilize.
Forældet version. Må ikke anvendes.
Zastaralá verzia. Nepoužívať.
Utdatert versjon. Skal ikke brukes.
Zastaraná verzia. Nepoužívať.
Elavult verzió. Ne használja!
Wersja nieaktualna. Nie używać.

SYMBOLY NA ŠTÍTKOCH

PRÍLOHA A

Symbol	Význam
	Výrobca
	Splnomocnený zástupca v Európskom spoločenstve
	Adresa sponzora pre Austráliu
	Značka CE zhody s identifikáciou príslušného úradu, ktorý schvaľuje používanie značky

Outdated version. Do not use.
 Version überholt. Nicht verwenden.
 Version obsolète. Ne pas utiliser.
 Versión obsoleta. No utilizar.
 Versiões obsoletas. Não utilizar.
 Verouderde versie. Niet gebruiken.
 Förlärdrad version. Använd ej.
 Παλιά έκδοση. Μην την χρησιμοποιείτε.
 Versão obsoleta. Não utilize.
 Forældet version. Må ikke anvendes.
 Zastaralá verze. Nepoužívat.
 Utdatert versjon. Skal ikke brukes.
 Zastaraná verzia. Nepoužívať.
 Elavult verzió. Ne használja!
 Wersja nieaktualna. Nie używać.

Outdated version. Do not use.
Version überholt. Nicht verwenden.
Version obsolète. Ne pas utiliser.
Versión obsoleta. No utilizar.
Versione obsoleta. Non utilizzare.
Verouderde versie. Niet gebruiken.
Föråldrad version. Använd ej.
Παλιά έκδοση. Μην την χρησιμοποιείτε.
Versão obsoleta. Não utilize.
Forældet version. Må ikke anvendes.
Zastaralá verze. Nepoužívat.
Utdatert versjon. Skal ikke brukes.
Zastaraná verzia. Nepoužívať.
Elavult verzió. Ne használja!
Wersja nieaktualna. Nie używać.

Outdated version. Do not use.
Version überholt. Nicht verwenden.
Version obsolète. Ne pas utiliser.
Versión obsoleta. No utilizar.
Versione obsoleta. Non utilizzare.
Verouderde versie. Niet gebruiken.
Föråldrad version. Använd ej.
Παλιά έκδοση. Μην την χρησιμοποιείτε.
Versão obsoleta. Não utilize.
Forældet version. Må ikke anvendes.
Zastaralá verze. Nepoužívat.
Utdatert versjon. Skal ikke brukes.
Zastaraná verzia. Nepoužívať.
Elavult verzió. Ne használja!
Wersja nieaktualna. Nie używać.

**Manufacturer**

Boston Scientific Corporation
4100 Hamline Avenue North
St. Paul, MN 55112-5798 USA

EC REP**Authorized representative in the European Community**

Guidant Europe NV/SA; Boston Scientific
Green Square, Lambroekstraat 5D
1831 Diegem, Belgium

AUS**Australian sponsor address**

Boston Scientific (Australia) Pty Ltd
PO Box 332
BOTANY NSW 1455 Australia
Free Phone 1 800 676 133
Free Fax 1 800 836 666

Cardiac Pacemakers Incorporated
4100 Hamline Avenue North
St. Paul, MN 55112-5798 USA

Manufactured at: Cardiac Pacemakers Incorporated
4100 Hamline Avenue North
St. Paul, MN 55112-5798 USA

www.bostonscientific.com

1.800.CARDIAC (227.3422)

+1.651.582.4000

© 2015 Boston Scientific Corporation or its affiliates.

All rights reserved.
359483-008 SK Europe 2015-10

C E0086